(19) **日本国特許庁(JP)**

(12) 公 開 特 許 公 報(A)

(11)特許出願公開番号

特開2007-332150 (P2007-332150A)

(43) 公開日 平成19年12月27日(2007.12.27)

 $\mathbf{F} \mathbf{J}$ テーマコード (参考) (51) Int.C1.

A 6 1 K 39/395 (2006, 01) A61K 39/395 ZNAN 4B024 A61P 37/06 (2006.01) A 6 1 P 37/06 4CO85

C 1 2 N 15/09 (2006, 01) C 1 2 N 15/00 Α

> 審査請求 有 請求項の数 9 〇L (全 102 頁)

(21) 出願番号 特願2007-191591 (P2007-191591)

(22) 出願日 平成19年7月24日 (2007.7.24)

(62) 分割の表示 特願2005-223497 (P2005-223497)

の分割

原出願日 平成4年11月16日 (1992.11.16)

(31) 優先権主張番号 792,728

平成3年11月15日(1991.11.15) (32) 優先日

(33) 優先権主張国 米国(US) (71) 出願人 592104782

ザ・トラスティーズ・オブ・コランビア・ ユニバーシティー・イン・ザ・シティー・

オブ・ニューヨーク

THE TRUSTEES OF COL UMBIA UNIVERSITY IN THE CITY OF NEW YO

アメリカ合衆国、ニューヨーク州 100 27、ニューヨーク、ウエスト・ワンハン ドレッドシックスティーンス・ストリート ・アンド・ブロードウエイ (番地無し)

(74)代理人 100058479

弁理士 鈴江 武彦

最終頁に続く

(54) 【発明の名称】モノクローナル抗体5 c 8 が特異的に結合するタンパク質

(57)【要約】 (修正有)

【課題】ATCC受付番号HB10916のハイブリドーマによって産生されるモノクロ ーナル抗体を提供する。

【解決手段】ATCC受付番号HB10916のハイブリドーマによって産生されるモノ クローナル抗体 5 c 8 により特異的に認識されるタンパク質に結合することが可能なモノ クローナル抗体。 A T C C 受付番号 H B 1 0 9 1 6 のハイブリドーマによって産生される モノクローナル抗体5c8により特異的に認識される単離タンパク質。ATCC受付番号 HB10916のハイブリドーマによって産生されるモノクローナル抗体 5 c 8 により特 異的に認識されるタンパク質をコードする単離核酸分子。この発明はまたB細胞に接触依 存性ヘルパー機能を本質的に付与し得るD1.1と呼ばれるATCC受付番号CRL10 9 1 5 のヒト C D 4 T 細胞白血病細胞。

【選択図】なし

【特許請求の範囲】

【請求項1】

活性化されたT細胞の表面に位置する5c8抗原と特異的に結合し複合体を形成するモノクローナル抗体、この5c8抗原はATCC受付番号HB10916を有するハイブリドーマによって産生するモノクローナル抗体5c8が特異的に結合し及びATCC受付番号CRL10915を有するJurkat D 1.1細胞株によって発現され得るものであり、及び薬学的に許容できる担体を、動物におけるB細胞活性化抑制用薬学的組成物の製造に使用する方法。

【請求項2】

活性化されたT細胞の表面に位置する5c8抗原と特異的に結合し複合体を形成するモノクローナル抗体、この5c8抗原はATCC受付番号HB10916を有するハイブリドーマによって産生するモノクローナル抗体5c8が特異的に結合し及びATCC受付番号CRL10915を有するJurkatD1.1細胞株によって発現され得るものであり、及び薬学的に許容できる担体を、

動物における体液性免疫応答抑制用薬学的組成物の製造に使用する方法。

【請求項3】

前記B細胞が休止B細胞である請求項1又は2に記載の方法。

【請求項4】

前記B細胞が感作B細胞である請求項1又は2に記載の方法。

【請求項5】

該活性化 T 細胞が T 細胞ヘルパー機能を有する C D 4 + T 細胞である請求項 1 又は 2 に記載の方法。

【請求項6】

前記モノクローナル抗体が該複合体を形成することによってB細胞のT細胞活性化を阻害する請求項1又は2に記載の方法。

【請求項7】

前記モノクローナル抗体が治療剤と結合している請求項1又は2に記載の方法。

【請求項8】

前記治療剤が放射性同位体、毒素、トキソイド又は化学療法剤である請求項7に記載の方法。

【請求項9】

活性化されたT細胞の表面に位置する5c8抗原と特異的に結合し複合体を形成するモノクローナル抗体、この5c8抗原はATCC受付番号HB10916を有するハイブリドーマによって産生するモノクローナル抗体5c8が特異的に結合し及びATCC受付番号CRL10915を有するJurkat D 1.1細胞株によって発現され得るものであり、及び薬学的に許容できる担体を包含する動物における体液性免疫応答抑制用薬学的組成物。

【発明の詳細な説明】

【発明の詳細な説明】

[0001]

[発明の属する技術分野]

ここで開示される発明は、国立衛生研究所からの助成金第P01-AI-26886、R0-1-AI-1496 9、R0-1-CA-55713、及び免疫学養成助成金(Immunology Training Grant)AI-07132による研究でなされたものである。従って、合衆国政府は、この発明に一定の権利を有する。

【従来の技術】

[0002]

[本発明の背景]

この出願の全体を通じて、種々の報告が、括弧内の著者の名字及びこれに続く報告年によって参照されている。これらの報告に対する全参照文献は、明細書の最後、即ち請求の範囲のすぐ前にある。本出願で開示され、クレームされた本発明の期日における当分野の状態をより完全に説明するために、これらの報告の開示内容は、参照文献によって本出願

10

20

30

40

中に含まれる。

[0003]

「背景技術]

「 T 細胞ヘルパー機能」といわれる接触依存性プロセスにおいて、 C D 4 [†] T リンパ球は、 B 細胞を活性化及び分化させ、これによって抗体分子の特異性、分泌及びアイソタイプエンコード機能を調節することにより体液性免疫応答を認識している(Mitcheら , 1968; Michison , 1971; Whiteら , 1978; Reinherzら , 1979; Janewayら , 1988; O'Brienら , 1988; Rahemtullaら , 1991; 及びGrusbyら , 1991)。 T 細胞ヘルパー機能の接触依存性要素を媒介する T 細胞表面分子はまだ完全にはわかっていない(Noelleら , 1991)。

[0004]

T細胞がB細胞を補助し、分化させるプロセスは、2つの異なったフェーズ、即ち誘導 フェーズ及びエフェクターフェーズに分けられる(Vitettaら, 1989; Noelleら, 1990) 。誘導フェーズにおいて、増殖していないT細胞は、抗原感作されたB細胞に接触し、こ の結合は、クローン型のT細胞レセプター(TCR) - CD4複合体をB細胞上のIa/ A g 複合体と相互作用させる(Janewayら,1988;Kaizら,1973;Zinkernagel,1976;Sp rent , 1978a ; Sprent , 1978b ; Jones 5 , 1981 ; Julius 5 , 1982 ; Chestnut 5 , 1981 ; Rog ozinskiら, 1984)。 I a / A g の T C R / C D 4 認識は、安定な T - B 連結相互作用対 (cognate pairs)の形成並びに両方向のT及びB細胞活性化で起こる(Sandersら,1986 ; Snowら , 1983 ; Krusemeierら , 1988 ; Noelleら , 1989 ; Bartlettら , 1989 ; Kupferら , 1987)。エフェクターフェーズにおいて、活性化されたT細胞は、リンフォカインを分 泌することによって(Noelleら,1983;Thompsonら,1985)、及び接触依存性の刺激によ って(Noelleら , 1989 ; Clementら , 1984 ; Crowら , 1986 ; Brianら , 1988 ; Hirohataら , 1988; Joverら, 1989; Whalenら, 1988; Pollokら, 1991; Bartlettら, 1990) B細胞を 分化させる。これらは両方とも、T細胞が小さな増殖していないB細胞を最終的にIg分 泌細胞に分化させるのに必要である(Clementら,1984;Martinezら,1981;Anderssonら , 1980)

T細胞が補助する誘導フェーズはAg-依存性及びMHC-制限性であるが(Janewayら、1988; Katzら、1973; Zinkernagle、1978a; Sprent、1978a; Jonesら、1981; Juliusら、1982; Chestnutら、1981; Anderssonら、1980) T細胞ヘルパー機能のエフェクターフェーズは、Ag-独立性及びMHC-非制限性であり得る(Clementら、1984; Hirohataら、1988; Whalenら、1988; Anderssonら、1980; DeFrancoら、1984; Juliusら、1988a; Juliusら、1988b; Riedelら、1988; Owens、1988; Cambierら、1988; Tohmaら、1991; Lohoffら、1977)。追加の対照的な性質は、T細胞が補助する誘導フェーズが、しばしばCD4分子を必要とし、抗・CD4 mAbによって阻害されることである(Rogozinskyら、1984)。これに対して、ヘルパーエフェクター機能は、CD4分子を必要とせず(Friedmanら、1986)、抗・CD4 mAbによって阻害されない(Brian、1988; Hirohataら、1988; Whalenら、1988; Tohmaら、1991)。非特異的なヘルパーエフェクター機能は、抗原特異的な連結相互作用対を伴ったT・B細胞相互作用の局剤化する性質によって、特異的なB細胞標的上に集められると信じられている(Bartlettら、1989; Kupferら、1987; Pooら、1988)。

[0005]

B細胞分化の終末は、接触及びリンフォカインの両方で媒介されたT細胞からの刺激を必要とするが、B細胞分化の中間段階は、分泌されるファクターを欠いた状態で活性化されたT細胞表面によって誘導されうる(Crowら、1986; Brianら、1988; Sekitaら、1988; Hodgkinら、1990; Noelleら、1991; Kubotaら、1991)。B細胞に関するこれらの中間体効果には、表面CD23発現の誘導(Crowら、Joverら、1989; Crowら、1989)、細胞分裂の進行に伴った酵素の誘導(Pollokら、1991)及びリンフォカインに対する応答性の誘導(Noelleら、1989; Pollokら、1991; Tphmaら、Hodgkinら、1990; Noelleら、1991; Kubotaら、1991)が含まれる。B細胞を活性化させる活性化誘導T細胞表面分子は同定されていないが、機能性の研究は、これらの誘導及び生化学の幾つかの特徴を示している

10

20

30

。第一に、T細胞は、B細胞を4~8時間刺激し、ついで活性化する能力を身につけている(Bartlettら,1990;Tohmaら,1991)。第二に、活性化されたT細胞の表面に関連づけられるB細胞刺激活性は、パラホルムアルデヒド固定細胞上(Noelleら,1989;Crowら,1986;Pollokら,1991;Tohmaら,1991;Kubotaら,1991)、及び精製された膜フラグメント上(Hodgkinら,1990;Martinezら,1981)で保持される。第三に、B細胞刺激活性は、プロテアーゼ処理に対して敏感である(Noelleら,1989;Sekitaら,1988;Hodgkinら,1990)。第四に、これらの表面活性構造を取得し、次いでT細胞活性化を起こすプロセスは、シクロヘキサミドによって阻害される(Tohmaら,1991;Hodgkinら,1990)。これらの研究は、B細胞に接触依存性刺激を伝達する活性化誘導T細胞表面タンパク質の存在を強く示唆しているが、このような構造の分子の同一性は、まだ不明のままである

[0006]

表面CD23分子を発現し、レクチンの存在下でB細胞の終末分化を補助するようにB細胞を活性化するというユニークで機能的な可能性を有するCD4・1 Jurkatサブクローン(D1.1)の単離は、以前に報告されている(Yeilinら,1991)。Jurkat D1.1は、多数の関連のないドナーからのB細胞を活性化し、このD1.1の効果が、Ag独立性であり、MHC非制限性であることを示唆した。Jurkat D1.1で媒介されるB細胞のどれのメカニズムは、細胞・細胞接触か、又は細胞がかなり近接することに依存するアクターを分泌しないものが、B細胞CD23を誘導する能力を有しているためである。加えてのB1.1の効果は、抗・IL4抗体によって阻害されない。更に、B細胞上のD1.1の効果は、抗・IL4抗体によって阻害されない。更に、B細胞上のD1.1の効果は、「L・4の効果から明瞭である。これは、D1.12ではなく、「L・4からB細胞表面IgM(sIgM)の上方調節を誘導するからである(Yellinら,1991;Shieldsら,1989)。まとめて考えると、これらのデータは、Jurkat D1.1及び活性化されたCD4・T細胞が、T細胞によって補助される接触依存性要素をB細胞に与える表面構造を分担していることを示唆している。

【発明の開示】

【発明が解決しようとする課題】

[0007]

本出願において、ネズミIgG2a 2 m A b (5 c 8)が生成され、これは、D 1 . 1 で媒介された B 細胞活性化を阻害し、及び D 1 . 1 の表面からの、新規な 3 0 キロダルトン(k D)の非スルフィド結合性タンパク質をイムノプレシピテーションさせる。通常のT細胞では、5 c 8 抗原は、活性化された C D 4 $^+$ T 細胞上で、m R N A 及びタンパク質合成に要求されるよりも幾分過渡的に発現される。機能性の研究では、m A b 5 c 8 は B 細胞の活性化及び終末分化を媒介する T 細胞の能力を阻害する。まとめて考えると、これらのデータは、5 c 8 A g が、 B 細胞分化のための接触依存性刺激を媒介する活性化誘導 T 細胞表面構造の重要な成分であることを示している。

【課題を解決するための手段】

[0008]

〔本発明の概要〕

本発明は、ハイブリドーマ(ATCCアクセス番号HB10916)から生産されるモノクローナル抗体 5 c 8 によって特異的に認識されるタンパク質に結合することができるモノクローナル抗体を提供する。本発明は、またハイブリドーマ(ATCCアクセス番号HB10916)によって生産されるモノクローナル抗体 5 c 8 も提供する。

[0009]

本発明は、D1.1(ATCCアクセス番号HBCRL10915)と称されるヒトCD4 T細胞白血病細胞株であって、接触依存性ヘルパー機能を構造的にB細胞に与えるものを提供する。本発明はまた、活性化されたT表面から単離されたタンパク質も提供する。ここで、該タンパク質は、T細胞がB細胞を活性化するために必要なものである。本発明は、更に活性化されたT細胞表面から単離された安定なタンパク質を提供する。ここで、該タンパク質

10

20

30

は、T細胞がB細胞を活性化するために必要なものである。

[0010]

本発明は、更にハイブリドーマ(ATCCアクセス番号HB10916)から生産されるモノクローナル抗体 5 c 8 によって特異的に認識されるタンパク質をエンコーディングする単離された核酸分子を提供する。このハイブリドーマについてのATCCアクセス番号HB10916及びD1.1についてのATCCアクセス番号HBCRL10915は、いずれもブダペスト条約に基づくATCCへの国際寄託の受託番号である。

【発明の実施の形態】

[0011]

〔図面の説明〕

図 1 . C D 4 $^{-}$ Jurkat D 1 . 1 .の細胞表面の表現型。 C D 4 $^{-}$ Jurkat D 1 . 1 .と C D 4 $^{+}$ B 2 . 7 の蛍光ヒストグラム(F A C S)分析の結果を示した。 Y 軸は細胞数を、 X 軸は相対蛍光強度を表す。使用した m A b は: O K T 3 (抗 C D 3)、 O K T 4 (抗 C D 4)、 W 6/32 (抗 M H C I) である。 " コントロール " は一次 m A b 非存在下でのバックグラウンド染色(強度)を示す。

[0012]

図 2 . Jurkat D 1 . 1 は休止 B リンパ球上で C E 23の発現を誘導する。単独で、あるいは C D 4 ⁻ Jurkat (D 1 . 1) 、もしくは C D 4 ⁺ Jurkat (B 2.7) と共に24時間培養した後の、粘性を失った高密度 B 細胞の 2 色 F A C S 分析の結果を示す。分析には抗 I g M - F I T C もしくは抗 C D 20 (Leu-16) - F I T C (X 軸上) と抗 C D 23 - P E (Y 軸上) (Becton-Dickinson)を用いた。各ヒストグラムの右上に示した数値は、両分子を発現するゲートされた(gated)全細胞の割合を表す。Jurkat D 1 . 1 で培養した B 細胞ポピュレーションは、B 2.7 (16%の I g M ⁺ 細胞と16%の C D 20 ⁺ 細胞)で培養した B 細胞と比較して I g M ⁺ 細胞の66%、C D 20 ⁺ 細胞の69%で C D 23を発現した。本実験では、単色 F A C S は、C D 3 (O K T 3) ⁺ 2%、 I g M ⁺ 84%、 C R 2 (H B -5) ⁺ 84% および C D (Leu-16) ⁺ 87% となる小さな高密度 B 細胞のポピュレーションを示した。

[0 0 1 3]

図 3 . D 1 . 1 に誘導された C D 23発現の投与応答。種々の割合の D 1 . 1 、 B 2 . 7細胞または細胞上清と共に24時間培養した後に、 C D 23を発現する I g M $^+$ 細胞の割合を示す。実験の条件と 2 色 F A C S 分析は、図 2 に示す通りである。凡例では、 2×10^5 細胞に添加される Jurkatsの比率を図示するように変化させたことを除いた。上清は、 1×10^5 D 1. 1 もしくは B 2 . 7細胞を Iscove 's 改良 Dulbecco 培地 / 10% F C S 1m L 中で培養し、48時間後に採取した。またその後 B 細胞へ添加する前に 0.2m μ のフィルターを通した。 I g M $^+$ 細胞の C D 23発現のバックグラウンドの値(B 細胞のみ)は、12% であった。 B 細胞ポピュレーションは、本実験では I g M $^+$ が65% であった。

[0014]

図4.この図は、PHA存在下でJurkat D1.1がB細胞の増殖を誘導することを示す。 rIL-2(25U/mL)、rIL-4(25U/mL)、PHA(5ug/mL)またはコントロール培地の指示された組み合わせの存在下で、マイトマイシン・C処理されたJurk at細胞と共に培養したB細胞の[H³]チミジンの取り込みを示す。エラーバーは、3回の培養の平均値の標準偏差を示す。

[0015]

図 5 . Jurkat D 1 . 1 は、 I g 分泌細胞への B 細胞の分化を誘導する。 A . P W M 欠乏下で、 B 細胞に対して指示された割合の Jurkat D 1 . 1 もしくは B 2.7 により誘導される B 細胞 10^5 個当りのプラーク形成コロニーの数。 B . 1 A)と同様の実験から得られた上清中の I g G 。 E ⁻ 細胞は、 E ロセッタ(roset te)がなく、 粘着性がない高密度のパーコールポピュレーションであり、それは優勢な B 細胞である。 E ⁺ 細胞は、 E ロセッタがポジティブで、マイトマイシン C 処理した休止 T 細胞である。 I g の測定は定量サンドイッチ E L I S A 法により行った。エラーバーはは標準曲線を基に計算された標準偏差を表す。 【 0 0 1 6 】

10

20

30

20

30

40

50

図 6 . D 1 . 1 ではなく r I L -4が B 細胞のsigM発現を増加させた。図 3 と同様の実験の結果得られた 2 色 F A C S 分析を示す。示された抗 I L -4の濃度は1.25 μ g / m L であり、 r I L -4は50 U / m L である。 I g M のメジアンチャンネル蛍光 (median channel fluorescence) は右のカラムで示す。

[0017]

図 7 . m A b 5 c 8 のJurkat D 1 . 1 細胞への結合。 C D 4 Jurkat D 1 . 1 と C D 4 Jurkat B 2.7細胞の蛍光ヒストグラム分析(F A C S)を示す。 Y 軸は細胞数を示し、 X 軸は相対蛍光強度を示す。用いたm A b は: O K T 3 (抗 C D 3)、 O K T 4 (抗 C D 4)、 O K T 8 (抗 C D 8)、 W 6/32 (抗 M H C I) およびm A b 5 c 8 である。 F I T C はコントロールm A b とマッチしたアイソタイプのバックグラウンド染色(強度)を表す。 【 0 0 1 8 】

図8. m A b 5 c 8 は、B リンパ球により C D 23の発現を誘導するJurkat D 1 . 1 を阻害する。培地のみ、B 2.7 もしくは D 1 . 1 Jurkat クローンを加えた培地を 2 4 時間培養し、粘性を失った高密度 B 細胞の 2 色 F A C S 分析を示す。そしてここでは、抗 I g M - F I T C (X 軸)または抗 C D 23 - P E (Y 軸)を用いた。F A C S トレーシング (tracing)の右上の数値は、C D 23を発現する I g M $^+$ 細胞の割合を表す。m A b W 6/32は 1 μ g / m L 存在 し、m A b 5 c 8 はハイブリドーマの上清を200 倍希釈したものである。ネズミの I g G 2 a m A b W 6/32は、クラス I M H C 分子上の同一構造決定基(monomorphic determinant)を認識する。

[0019]

図 9 . m A b 5 c 8 とコントロール m A b により免疫沈降した表面蛋白の S D S / P A G E 分析。 2 - M E の存在下(還元基、R)または非存在下(非還元基、N R)において 12 . 5% のポリアクリルアミドにて分離された、表面をヨウ素処理した Jurkat D 1 . 1、 Jurk at B 2 . 7細胞の細胞溶解物由来の m A b 5 c 8 またはコントロールの m A b との免疫沈降物のオートラジオグラムを示す。示された m A b は、抗 C D 28 (K O L T - 4) と抗 M H C クラス I (W 6/32) である。分子量マーカーは、ラベル処理前のスタンダードの移動度を表す。 N M S : 正常マウス血清。

[0020]

図 1 0 . T細胞の活性化と活性化された T細胞の抗原 5 c 8 の発現における代謝的阻害因子の影響。示されているようにm A b 5 c 8 もしくは抗 C D 69を用い、休止状態または活性化状態の T 細胞の F A C S ヒストグラムを表す。 T 細胞の活性は、アクチノマイシン D (10 μ M) もしくはシクロヘキサミド(100 μ M) 存在下に 5 時間放置後、 P M A (10 n g / m L)、 P H A (10 μ g / m L) により測定した。

[0021]

図 1 1 . 単離された C D 4 $^{+}$ 、 C D 8 $^{+}$ T 細胞サブセット上での 5 c 8 の発現のカイネティクス。直前に精製調製した T 細胞サブセットを P H A ($10\,\mu$ g / m L) 、 P M A ($10\,\mu$ g / m L) で活性化した後の、 C D 4 $^{+}$ 細胞 (a , b , c) または C D 8 $^{+}$ 細胞 (d , e , f) の示された時間毎蛍光ヒストグラムを示す。実線:5 c 8 の結合;破線: I g G 2 a コントロール; 点線:抗 C D 69。

[0022]

図 1 2 . D 1 . 1 は、 B 細胞上での表面 C D 23の発現を誘導し、 R A M O S 266 でも幾分か発現を誘導する。それは m A b 5 c 8 (抗 T - B A M) または m A b G 28-5 (抗 C D 40) により阻害される。図示されるようにJurkat クローン D 1 . 1 もしくは B 2.7 との培養後の、 B 細胞(左のカラム)もしくは R A M O S 266 (右のカラム)の Y 軸上の抗 C D 2 3 P E と X 軸上の抗 I g M F I T C の 2 色の F A C S ヒストグラムを示す。右上の数値は、 B 細胞を含む実験における表面 C D 23を発現する I g M B 細胞の割合、または R A M O S 266 実験における R A M O S 266 上での C D 23のメジアン蛍光強度(測定)を示す

[0023]

図 1 3 . 扁桃の B 細胞に対する D 1 . 1 の影響。 2 色 F A C S 分析による C D 23を発現

[0024]

図 1 4 . D 1 . 1 - B 細胞活性化におけるT-BAMとCD40の役割。Jurkatクローン D 1 . 1 もしくはB2.7 と共に、あるいは図示されるリンホカインの存在下で18時間培養した後の、表面CD23を発現するIg M^+ B細胞の割合(左側 Y軸、縞模様バー)とRAMOS266のCD23メジアン蛍光強度(右側 Y軸、網目模様バー)を示す 2 色 FACSの棒グラフを示す。(a.) r I L 4 と r I K - 2は10ユニット / m L、抗 I L - 4と抗 G M - CSF("CSF")は10 μ g / m L 存在する。(b.)示されたm A b は飽和濃度まで 培養開始時に添加された。

[0025]

図15.末梢性B細胞のD1.1活性化に対する抗CD40mAbの影響。図示されたmAbの存在下で18時間、D1.1細胞と培養したIgM⁺ B細胞の2色FACS分析の結果を示す。

[0026]

図16.B細胞CD23発現に対する抗CD40のCD32⁺ L細胞へ及ぼす影響。図示されたmAbもしくはコントロール培地存在下で、I-A⁺ L細胞(L細胞)もしくはFcRg II ⁺ L細胞(CD32⁺ L細胞)の単層と共に18時間培養を行なった後の、(a.)末梢性B細胞またはRAMOS266 、および(b.)扁桃と脾臓のB細胞の2色FACS分析の結果を示す。(a.)では左側のY軸はCD23を発現するIgM⁺ B細胞の割合を示し、右側のY軸はRAMOS上でのCD23のMFIを示す(図1で凡例に示されてる)。(b.)では"コントロール"とは扁桃を用いた実験の抗LFAIa および脾臓を用いた実験の抗CR2(THB-5)を意味する。

[0027]

図 1 7 . ヒト正常リンパ球組織でのT-BAM発現。T-BAM発現は、(A.、B.)正常な扁桃(A.×25、B.×40)と(c.)正常なリンパ節(×25)並びに正常な脾臓(D.×25;E.×63)の凍結した組織断片で評価した。ここではmAb 5 c 8 と改変ABC技術(材料と方法参照)を用いた。T-BAM陽性は、膜の染色として現われる。

[0028]

図18.T-B分子の相互作用モデル。

[0029]

図19.慢性関節リューマチの滑膜パンヌスにおけるCD4⁺ Tリンパ球上でのT-BAMの発現。活性型、細胞性の慢性関節リューマチの患者に由来する滑膜パンヌスでの1つのリンパ小節における免疫化学的な染色区分を示す。(a,b)抗CD3 ジアミノベンジジン(DAB)染色(a.ローパワー、b.ハイパワー)。(c)抗CD4(ブルーフシン、APAP染色)と抗T-BAM(mAb 5 c 8 、褐色、DAB)による二重染色。(d)抗CD8(ブルーフシン、APAP染色)および抗T-BAM(mAb 5 c 8 、褐色、DAB)。これらの標本は全て、慢性関節リューマチの滑膜の炎症に関わるCD4⁺T細胞上でT-BAMが発現すること示す。

[0030]

図20A.浸潤性乾癬損傷のTリンパ球でのT-BAMの発現。乾癬損傷由来皮膚生検標本の免疫化学的な染色(a.ローパワー)、(b.ハイパワー)-皮膚でのT細胞の浸潤を示す。T-BAM発現は、mAb 5 c 8 とジアミノベンジジン(DAB)(褐色)により検出された。

[0031]

図 2 1.非ホジキンリンパ腫細胞でのT-BAMの発現。T-BAM[†]T細胞(褐色、DAB)を示す非ホジキンリンパ腫を保持する患者 2 人のリンパ節に由来する免疫化学的な標本を示す($a.630 \times$ および $b.400 \times$)。

20

30

30

40

50

[0032]

〔発明の詳細な説明〕

この発明は、ATCC受付番号HB 10916のハイブリドーマによって産生されるモノクローナル抗体 5 c 8 によって特異的に認識されるタンパク質と結合可能なモノクローナル抗体を提供する。

[0033]

この発明は、活性化T細胞の表面に位置するタンパク質を特異的に認識し、かつこのタンパク質と複合体を形成し、それによりB細胞のT細胞活性化を阻害するモノクローナル抗体を提供する。活性化T細胞は、通常、動物のリンパ節の胚中心にのみ見出される。しかしながら、活性化T細胞は、T細胞腫瘍、例えば、T細胞白血病およびリンパ腫に罹患した動物の末梢血または慢性間接リウマチおよび乾癬のような疾患の浸潤組織に見出される。

[0034]

ここに記載され、請求されるモノクローナル抗体は、リンパ節の胚中心においてB細胞と相互作用するT細胞に結合し、健常個体の他のT細胞には結合しない。T細胞表面上のタンパク質を特異的に認識し、かつこのタンパク質と結合して、それによりB細胞の活性化を阻害することが当業者に知られているモノクローナル抗体、例えば、抗CD28モノクローナル抗体および抗LFA-1モノクローナル抗体は、活性化T細胞を区別しない。

[0035]

この発明の目的のためには、"活性化T細胞"は、休止B細胞にT細胞へルパー機能を付与し得るT細胞である。この発明の目的のためには、"リンパ節の胚中心"は、T細胞がB細胞にT細胞ヘルパー機能を付与するリンパ節の領域である。

[0036]

この発明に目的のためには、"モノクローナル抗体"は、ハイブリドーマ細胞によって産生される抗体である。モノクローナル抗体合成ハイブリドーマ細胞の作製方法は当業者に公知であり、例えば、抗体産生Bリンパ球と不死化Bリンパ球細胞株との融合による。

[0037]

この発明の一態様においては、B細胞は休止B細胞である。この発明の他の態様においては、B細胞は感作B細胞である。この発明の目的のためには、"休止"B細胞は、非活性化B細胞、すなわち抗体分子を合成しない未文化B細胞である。この発明の目的のためには、"感作"B細胞は、抗原と接触し、それにより部分的に活性化してはいるが、いまだ抗体分子を合成しないB細胞である。

[0038]

この発明の一態様においては、モノクローナル抗体はネズミモノクローナル抗体である。この発明の他の態様においては、モノクローナル抗体はキメラモノクローナル抗体である。この発明のさらに別の態様においては、モノクローナル抗体はヒト化モノクローナル抗体である。しかしながら、この発明の好ましい態様においては、モノクローナル抗体はヒトモノクローナル抗体である。

[0039]

この発明の目的のためには、"キメラ"モノクローナル抗体は、異なる動物からの定常領域フラグメント(F。)を有するネズミモノクローナル抗体である。この発明の好ましい態様においては、キメラモノクローナル抗体はヒトF。およびネズミFabを有する。この発明の目的のためには、"ヒト化"モノクローナル抗体は、軽鎖および重鎖両者のネズミ相補性決定領域(CDR)を除いて全てのネズミタンパク質配列がヒトタンパク質配列に置き換えられているネズミモノクローナル抗体である。

[0040]

この発明の一態様においては、モノクローナル抗体は、ATCC受付番号HB 10916のハイブリドーマによって産生されるモノクローナル抗体 5 c 8 により特異的に認識されるエピトープに向けられている。この発明のさらに別の態様においては、モノクローナル抗体はモノクローナル抗体 5 c 8 である。

[0041]

この発明は、さらに、ATCC受付番号HB 10916のハイブリドーマによって産生されるモノクローナル抗体 5 c 8 により特異的に認識されるタンパク質に結合することができるモノクローナル抗体を産生するハイブリドーマ細胞を提供する。この発明の目的のためには、"ハイブリドーマ細胞"は、不死化細胞と抗体産生細胞とを融合し、それによりモノクローナル抗体を産生する細胞を形成することにより作製された細胞である。一態様においては、ハイブリドーマ細胞は、特許手続上の微生物の寄託の国際的承認に関するブダペスト条約の規定に基づき、1991年11月14日にアメリカン・タイプ・カルチャー・コレクション(ATCC)、12301 Parklawn Drive、Rockville、Maryland 20852、U.S.S. に寄託されたATCC受付番号HB 10916に一致した。

[0042]

この発明の1つにおいて、モノクローナル抗体は検出可能なマーカー、例えば放射性同位体、酵素、染料またはビオチンで標識されている。この発明の他の態様においては、モノクローナル抗体は治療剤、例えば放射性同位体、トキシン、トキソイドまたは化学療法剤に結合している。この発明のさらに別の態様においては、モノクローナル抗体は画像形成剤(imaging agent)、例えば放射性同位体に結合している。

[0043]

この発明は、このモノクローナル抗体と薬剤学的に許容し得る担体を含有する医薬組成物を提供する。この発明の目的のためには、"薬剤学的に許容し得る担体"は標準的な医薬担体のいかなるものをも意味する。適切な担体の例はこの分野において公知であり、標準的な医薬担体、例えばリン酸緩衝生理食塩水、ポリソルブ(Polysorb)80を含有するリン酸緩衝生理食塩水、水、油/水エマルジョンのようなエマルジョン、および種々のタイプの湿潤剤を含み得るが、これに限定されるものではない。

[0044]

典型的には、このような担体は賦形剤、例えばスターチ、ミルク、砂糖、特定のタイプのクレイ、ゼラチン、ステアリン酸もしくはそれらの塩、ステアリン酸マグネシウムもしくはカルシウム、タルク、植物性脂肪もしくは油、ゴム、グリコールまたは他の公知の賦形剤を含有する。このような担体はフレーバーおよび着色添加物または他の成分を含有してもよい。このような担体を含有する組成物は、よく知られた通常の方法により処方される。

[0045]

このような担体はこの分野において公知であり、標準的な医薬担体、例えばリン酸緩衝生理食塩水、水、油 / 水エマルジョンのようなエマルジョン、および種々のタイプ湿潤剤のいかなるものをも含み得るが、これらに限定されるものではない。他の担体には、無菌溶液、錠剤、コート錠、およびカプセルが含まれ得る。

[0046]

ここに記述され、請求されるモノクローナル抗体は、このモノクローナル抗体が結合するタンパク質の単離に有用である。このモノクローナル抗体はまた、新規かつ有用な;動物における免疫応答の阻害方法;自己免疫疾患のような免疫不全またはライム病、梅毒、結核およびHIV感染のような自己免疫発現を伴う感染症により特徴付けられる疾患における免疫応答の緩和方法;動物における腫瘍もしくは新生物の像形成方法;動物における腫瘍もしくは新生物の存在を検出する方法;動物が腫瘍細胞を宿しているかどうかを決定する方法であって、T細胞ガンに罹患した動物におけるT細胞腫瘍細胞の増殖を阻害することを含む方法;および動物T細胞のウイルス感染を阻害する方法においても有益である

[0047]

この発明は、このモノクローナル抗体の軽鎖タンパク質をコードする単離核酸分子を提供する。この発明の一態様においては、この核酸分子はDNA分子である。好ましくは、このDNA分子はCDNA分子である。

[0048]

10

20

30

30

40

50

(10)

この出願を通して、特定のヌクレオチドに対する言及は核酸のコード鎖上に存在するヌクレオチドに対するものである。この明細書を通して、特定のヌクレオチドを示すために、以下の標準的な略語が用いられる:

C = シトシン A = アデニン

T = チミジン G = グアノシン

この発明のDNA分子は、1以上のアミノ酸残基の同一性および位置が天然の形態とは異なり(タンパク質について特定される全ての残基よりも少ない残基を有する欠損アナログ、特定される残基の1以上が他の残基によって置換されている置換アナログおよび1以上のアミノ酸残基がポリペプチドの末端もしくは中間部に追加されている付加アナログ)、かつ天然型の性質の幾つかもしくは全てを共有する、抗原性ポリペプチドのポリペプチド・アナログ、断片または誘導体をも含む。これらには、選択された非哺乳動物ホストによる発現に好ましいコドンの組み込み;制限エンドヌクレアーゼ酵素による開裂のための部位の提供;および容易に発現するベクターの構築を容易にする、さらなる先頭、末端もしくは中間DNA配列を提供することが含まれる。

[0049]

ここに記述され、請求される核酸は、以下に記載する新規ウイルスもしくは環状プラスミドベクターの産生に有用である。この核酸分子はまた、遺伝子治療の新規かつ有用な方法、すなわち動物から単離した細胞を核酸分子で安定に形質転換し、次いで安定に形質転換した細胞を動物に再投与することによる方法に有益でもある。細胞を単離する方法には、動物から細胞を抜き取るいかなる標準法もが含まれる。適切な単離細胞には骨髄細胞が含まれるが、これに限定されるものではない。細胞の再投与方法には、動物に細胞を再投与するいかなる標準法もが含まれる。

[0050]

この発明は、RNA転写のプロモーターに作働可能に連結する、モノクローナル抗体の軽鎖タンパク質をコードする核酸分子を含む遺伝子運搬ベクター、例えばプラスミドもしくはウイルスベクターを提供する。この発明はまた、RNA転写のプロモーターに作働可能に連結する、モノクローナル抗体の重鎖タンパク質をコードする核酸分子を含む遺伝子運搬ベクター、例えばプラスミドもしくはウイルスベクターをも提供する。

[0051]

ここに記載され、請求される遺伝子運搬ベクターは、安定に形質転換された真核ホスト細胞の産生に有用であり、それ故にそのようなホスト細胞をタンパク質産生に適した条件下で増殖させる新規かつ有用な方法において有益な生成物としての価値を有する。

[0052]

この発明は、ここに記載され、請求される遺伝子運搬ベクターを適切なホスト細胞中に有するホストベクター系を提供する。この発明の一態様においては、適切なホスト細胞は、安定に形質転換された真核細胞、例えば安定に形質転換された酵母もしくは哺乳動物細胞である。この発明の好ましい態様においては、安定に形質転換された真核細胞は、安定に形質転換された哺乳動物細胞である。

[0 0 5 3]

ここに記載され、請求されるホストベクター系は、このホストベクター系をモノクローナル抗体の産生に適した条件下で増殖させることを包含する、モノクローナル抗体の新規かつ有用な合成方法に有益である。

[0 0 5 4]

この発明は、B細胞に接触依存性ヘルパー機能を本質的に付与することが可能な、D1.1と呼ばれるATCC受付番号CRL 10915のCD4 セトT細胞白血病細胞株を提供する。このD1.1細胞は、特許手続上の微生物の寄託の国際的承認に関するブダペスト条約の規定に基づき、1991年11月14日にアメリカン・タイプ・カルチャー・コレクション(ATCC)、12301 Parklawn Drive, Rockville, Maryland 20852, U.S.S. に寄託された。この発明の一態様においては、このB細胞は休止B細胞である。この発明の他の態様においては、このB細胞は感作B細胞である。

20

30

40

50

[0055]

ここに記載され、請求される細胞株は、ATCC受付番号 10916のハイブリドーマによって産生されるモノクローナル抗体 5 c 8 により特異的に認識される単離タンパク質の源として有益である。この単離タンパク質は、それ自身をコードするヌクレオチド配列に関する事項を提供する情報にとって有益である。この核酸配列は、ここに記載され、請求される可溶性活性化T細胞表面タンパク質の新規かつ有用な産生方法に有益である。この細胞株はまた、タンパク質抗原に対して動物を免疫する新規かつ有用な方法、および医薬化合物をB細胞のT細胞活性化を阻害するそれらの能力についてスクリーニングする新規かつ有用な方法に有益である。

[0056]

この発明は、ATCC受付番号HB 10916のハイブリドーマによって産生されるモノクローナル抗体 5c8 により特異的に認識される単離タンパク質を提供する。

[0057]

この発明はさらに、ATCC受付番号 10916のハイブリドーマによって産生されるモノクローナル抗体 5 c 8 により特異的に認識される単離タンパク質を提供する。ここで、この単離タンパク質は、活性化T細胞の表面からのものであり、B細胞最終分化のT細胞誘発に必要なものである。この出願において、"最終分化(terminal differntiation)"はその細胞の特定のIg分泌が明らかにされていることを意味し、この用語は当業者には公知である。

[0058]

この発明の一態様においては、 B 細胞は休止 B 細胞である。この発明の他の態様においては、 B 細胞は感作 B 細胞である。

[0059]

この発明はまた、ATCC受付番号 HB 10916のハイブリドーマによって産生されるモノクローナル抗体 5 c 8 により特異的に認識され、N末端に配列 Xaa-Ile-Glu-Xaa-Tyr-Asn-Gln-Xaa-Ser-Pro-(配列番号11)を有する単離タンパク質を提供する。この出願においては、"Xaa"はいかなるアミノ酸残基でもよい。

[0060]

この発明は、T細胞表面タンパク質をコードする単離核酸分子を提供する。この発明の一態様においては、核酸分子はDNA分子である。好ましくは、このDNA分子はcDNA分子である。この核酸分子は、以下に記載の新規ウイルスまたは環状プラスミドベクターを生成するための生成物として有益である。この核酸分子はまた、遺伝子治療の新規かつ有用な方法、すなわち、動物から単離した細胞をこの核酸分子で安定に形質転換し、次いで安定に形質転換した細胞を動物に再投与することによる方法に有益である。細胞の単離方法には、動物から細胞を取り出すいかなる標準法もが含まれる。適切な単離細胞には骨髄細胞が含まれるが、これに限定されるものではない。細胞の再投与方法には、動物に細胞を再投与するいかなる標準法もが含まれる。

[0061]

この発明はまた、活性化T細胞表面タンパク質をコードする単離核酸分子を含む遺伝子 運搬ベクター、例えばプラスミドまたはウイルスベクターを提供する。

[0 0 6 2]

ここに記載され、請求される遺伝子運搬ベクターは、安定に形質転換された真核ホスト細胞を産生し、それ故にそのホスト細胞をタンパク質の産生に適した条件下で増殖させる 新規かつ有用な方法に有益な生成物として価値がある。

[0063]

この発明は、さらに、適切なホスト細胞中に遺伝子運搬ベクターを含むホストベクター系を提供する。この発明の一態様においては、この適切なホスト細胞は、細菌細胞、昆虫細胞、酵母細胞または哺乳動物細胞である。

[0064]

このホストベクター系は、このホストベクター系をタンパク質の産生に適した条件下で

増殖させることによる活性化T細胞表面タンパク質の大規模合成に有用な生成物として有益である。したがって、活性化T細胞表面タンパク質の産生方法もまた提供される。この発明は、さらに、この方法により産生されたタンパク質を提供する。

[0065]

この発明は、B細胞のT細胞活性化に必要な、活性化T細胞の表面から単離された可溶性タンパク質を提供する。この発明の一態様においては、このB細胞は休止B細胞である。この発明の他の態様においては、B細胞は感作B細胞である。

[0066]

この発明の目的のためには、"可溶性タンパク質"は、細胞膜および他の細胞成分を含有しないタンパク質である。好ましくは、この可溶性タンパク質は、ATCC受付番号HB 10916のハイブリドーマによって産生されるモノクローナル抗体 5 c 8 により特異的に認識されるタンパク質である。この発明の一態様においては、この可溶性タンパク質は検出可能なマーカー、例えば、放射性同位体、酵素、染料またはビオチンで標識されている。この可溶性タンパク質は、新規かつ有用な医薬組成物を作製するための生成物として有益である。

[0067]

したがって、この可溶性タンパク質および薬剤学的に許容し得る担体を含有する医薬組成物もまた提供される。"薬剤学的に許容し得る担体"は標準的な薬剤学的に許容し得る担体のいかなるものをも意味する。例として、リン酸緩衝生理食塩水、生理食塩水、水および油/水エマルジョンのようなエマルジョンを挙げることができるが、これらに限定されるものではない。

[0068]

この発明は、この可溶性タンパク質をコードする単離核酸分子を提供する。この発明の一態様においては、核酸分枝はDNA分子である。好ましくは、このDNA分子は c DNA分子である。

[0069]

ここに記載され、請求される核酸配列は、以下に記載される新規ウイルスおよび環状プラスミドベクターの産生に有用である。この核酸分子はまた、遺伝子治療の新規かつ有用な方法、すなわち、動物から単離した細胞をこの核酸分子で安定に形質転換し、次いで安定に形質転換された細胞を動物に再投与することによる方法に有益である。細胞を単離する方法には、動物から細胞を取り出す標準法のいかなるものも含まれる。適切な単離細胞には骨髄細胞が含まれるが、これに限定されるものではない。細胞の再投与方法には、動物に細胞を再投与する標準法のいかなるものも含まれる。

[0070]

この発明はまた、RNA転写プロモーターに作働可能に連結した単離核酸分子を有する遺伝子運搬ベクター、例えばプラスミドベクターまたはウイルスベクターをも提供する。ここに記載され、請求される遺伝子運搬ベクターは、安定に形質転換された真核ホスト細胞を生成し、それ故にそのようなホスト細胞をタンパク質産生に適した条件下で増殖させる新規かつ有用な方法に有益な生成物として価値がある。

[0071]

この発明は、さらに、適切なホスト細胞中にこの遺伝子運搬ベクターを有するホストベクター系を提供する。この発明の一態様においては、適切なホスト細胞は安定に形質転化された真核細胞、例えば、安定に形質転換された真核酵母もしくは哺乳動物細胞である。好ましくは、安定に形質転換された細胞は、哺乳動物細胞である。

[0072]

このホストベクター系は、このホストベクター系をタンパク質の産生に適した条件下で増殖させ、産生されたタンパク質を回収することによる、可溶性活性T細胞表面タンパク質の大規模合成に有用な生成物として有益である。したがって、この可溶性タンパク質の産生方法もまた提供される。この発明は、さらに、この方法により産生された可溶性タンパク質を提供する。

20

10

30

[0073]

この発明は、活性 T 細胞表面タンパク質を特異的に認識するモノクローナル抗体および薬剤学的に許容し得る担体を含有する医薬組成物の有効阻害量を動物に投与することを具備する、動物において B 細胞活性化を阻害する方法を提供する。この発明の目的のためには、医薬組成物の "有効阻害量"は、活性 T 細胞表面上のタンパク質に結合し、それにより B 細胞の T 細胞活性化を阻害するに有効な医薬組成物の量である。この有効阻害量は、この分野において公知の実験を用いて、当業者が容易に決定することができる。そのような実験的アプローチの 1 つはタイトレーションによるものである。この発明の一態様においては、 B 細胞は体止 B 細胞である。

[0074]

"有効阻害量"を決定する方法は当業者には公知であり、関連する動物のタイプおよび動物の体重(これらに限られるものではないが)を含む因子に依存するであろう。この発明の一態様においては、動物は哺乳動物、例えばマウスまたはヒトである。好ましくは、哺乳動物はヒトである。

[0075]

この発明の目的のためには、"投与"は当業者に公知の医薬組成物の標準投与方法のいかなるものをも意味する。例として、静脈内、腹腔内または筋肉内投与を挙げることができるが、これらに限定されるものではない。

[0076]

B細胞活性化を阻害する方法は、動物の免疫応答を阻害する新規かつ有用な方法に有益である。この発明の一態様においては、動物は哺乳動物、例えば、マウスまたはヒトである。好ましくは、哺乳動物はヒトである。

[0077]

この発明の一態様においては、動物の免疫応答の阻害は、動物による移植臓器、例えば 、心臓、腎臓または肝臓の拒絶を阻害する方法として有益である。

[0078]

この発明の他の態様においては、動物の免疫応答の阻害は、突発性自己免疫疾患に罹患している動物における自己免疫応答を阻害する方法として有益である。突発性自己免疫疾患の例には、乾癬、慢性関節リューマチ、重症筋無力症、全身性エリテマトーデス、グレーブス病、突発性血小板減少紫斑病、溶血性貧血、IgE増加症候群(hyper IgE syndrome)、真性糖尿病および薬物誘発自己免疫疾患、例えば薬物誘発ループスが含まれるが、これらに限定されるものではない。

[0079]

他の態様においては、この発明は、感染症の自己免疫発現に罹患しているヒトにおける自己免疫応答を阻害する方法を提供する。自己免疫発現は、ライター症候群、脊椎関節炎(spondyloarthritis)、ライム病、HIV感染、梅毒または結核に由来することがある

[0800]

この発明のさらに別の態様においては、動物における免疫応答の阻害は、動物における アレルギー応答、例えば、枯草熱またはペニシリンに対するアレルギーを阻害する方法と して有益である。

[0081]

この発明は、ATCC受付番号 10916のハイブリドーマによって産生されるモノクローナル抗体 5 c 8 により特異的に認識されるタンパク質を発現する腫瘍細胞または新生物細胞の像を形成する方法であって、(i)抗体が像形成剤と結合している、モノクローナル抗体 5 c 8 の医薬組成物の有効量を、モノクローナル抗体とタンパク質との複合体の形成を許容する条件下で患者に投与し、かつ (ii)形成されるモノクローナル抗体 / タンパク質複合体の像を形成し、それにより患者における腫瘍細胞または新生物細胞の像を形成することを具備する方法を提供する。

10

20

30

40

30

40

50

[0082]

このような腫瘍細胞または新生物細胞は、T細胞腫瘍、例えば、T細胞白血病またはリンパ腫由来であってもよい。好ましくは、患者はヒト患者である。

[0083]

"投与"は、当業者に公知の医薬組成物投与の標準法のいかなるものをも意味する。例として、筋肉内または腹腔内投与を挙げることができるが、これらに限定されるものではない。モノクローナル抗体 / タンパク質複合体の形成を検出する方法、例えば X 線フィルムの露光による方法は、当業者には公知である。

[0084]

医薬組成物の"有効像形成量"は、複合体の像を形成し得るように、モノクローナル抗体と細胞表面タンパク質との複合体を形成するに有効な量である。"有効像形成量"を決定する方法は当業者に公知であり、関係する動物のタイプ、動物の大きさおよび用いられる像形成剤を含む(これらに限られるものではない)要素に依存する。そして、正確な有効像形成量は、当業者に公知の、タイタレーションのような実際の実験により決定することができる。この発明の一態様においては、像形成剤は放射性同位体である。

[0085]

この発明は、動物において、ATCC受付番号 10916のハイブリドーマによって産生されるモノクローナル抗体 5 c 8 により特異的に認識されるタンパク質を発現する腫瘍細胞または新生物細胞の存在を検出する方法であって、検出し得るマーカーに結合したモノクローナル抗体を含有する医薬組成物の、腫瘍細胞または新生物細胞の表面上のタンパク質に結合するに有効な量を、モノクローナル抗体とタンパク質との複合体の形成を許容する条件下で動物に投与し;未結合の像形成剤を動物から除去し;および形成されるモノクローナル抗体 / タンパク質複合体の存在を検出することを具備する方法を提供する。複合体の存在は、動物における腫瘍細胞または新生物細胞の存在を示す。この腫瘍細胞は、T細胞白血病またはリンパ腫由来であってもよい。好ましい態様においては、この腫瘍は非ホジキンリンパ腫である。この発明の一態様においては、動物は哺乳動物、例えば、マウスまたはヒトである。好ましくは、動物はヒトである。

[0086]

"投与"は、当業者に公知の、医薬組成物のあらゆる標準投与方法を意味する。例として、静脈内、筋肉内または腹腔内投与を挙げることができるが、これらに限定されるものではない。例えば X 線フィルムの露光または顕微鏡下での試験により、モノクローナル抗体 / タンパク質複合体の形成を検出する方法は当業者に公知である。

[0087]

医薬組成物の"有効量"は、動物において腫瘍細胞または新生物細胞の存在を検出するに有効な医薬組成物の量である。"有効量"を決定する方法は当業者に公知であり、関連する動物のタイプ、接触する血液試料のサイズおよび用いる検出可能なマーカーを含む(これらに限られるものではない)多くの要素に依存する。この発明の一態様において、検出可能なマーカーは、放射性同位体、酵素、染料またはビオチンである。

[0088]

この発明は、ATCC受付番号 10916のハイブリドーマによって産生されるモノクローナル抗体 5 c 8 により特異的に認識されるタンパク質を発現する腫瘍細胞または新生物細胞を動物が有しているかどうかを決定する方法であって、動物から血液試料を単離し;この試料を、可溶性タンパク質に結合するに有効な量の、検出可能なマーカーで標識されたモノクローナル抗体を含有する医薬組成物と、モノクローナル抗体とタンパク質との複合体の形成を許容する条件下で接触させ;および形成されるモノクローナル抗体/タンパク質複合体の存在を検出する(このような複合体の存在は、患者における腫瘍細胞または新生物細胞の存在を示す)ことを具備する方法を提供する。

[0089]

一態様において、腫瘍細胞はT細胞腫瘍、例えば、T細胞白血病またはリンパ腫に由来する。好ましい態様において、T細胞リンパ腫は非ホジキンリンパ腫である。

[0090]

この発明によって提供される方法は、腫瘍細胞それ自身の存在が検出され得る前に、動物の血液中のT細胞腫瘍細胞の存在を検出する新規かつ有用な方法として有益である。この発明によって提供される方法はまた、抗T細胞腫瘍剤を用いる動物の治療の有効性を決定する新規かつ有用な方法、すなわち、動物の血液中の可溶性タンパク質のレベル(そのようなレベルは治療の有効性を示す)を決定することによる方法として有益である。

[0091]

T細胞腫瘍に罹患している患者の血液がT細胞腫瘍細胞表面から脱落した可溶性タンパク質、例えばtac 抗原、を含むことは当業者には公知である。したがって、動物の血液中における可溶性T細胞表面タンパク質の存在は、動物におけるT細胞腫瘍の存在を示している。

[0092]

この発明の目的のためには、"可溶性タンパク質"は、細胞膜および他の細胞成分を含有しないタンパク質である。この発明の好ましい態様においては、可溶性タンパク質は、ATCC受付番号HB 10916のハイブリドーマによって産生されるモノクローナル抗体 5c8 により特異的に認識されるタンパク質である。

[0093]

動物からの血液の"単離"は、血液を抜き取り、この血液を、抗凝集剤、例えばヘパリン、EDTAまたはクエン酸塩を入れた容器に直ちに収容する、一般的に許容し得るあらゆる方法を意味する。モノクローナル抗体/タンパク質複合体の検出方法は当業者には公知である。例としてX線フィルムの露光およびELISAを挙げることができるが、これらに限定されるものではない。

[0094]

医薬組成物の"有効量"は、動物の血液中において可溶性タンパク質の存在を検出するに有効な医薬組成物の量である。"有効量"を決定する方法は当業者には公知であり、関連する動物のタイプ、接触する血液試料のサイズおよび用いられる検出可能なマーカーを含む(これらに限られるものではない)多くの要素に依存する。

[0095]

この発明の一態様においては、動物は哺乳動物、例えばマウスまたはヒトである。好ま しくは、哺乳動物はヒトである。

[0096]

この発明は、腫瘍または新生物、例えば、T細胞白血病またはリンパ腫に罹患している動物において、ATCC受付番号HB 10916のハイブリドーマによって産生されるモノクローナル抗体 5 c 8 により特異的に認識されるタンパク質を発現する腫瘍細胞または新生物細胞の増殖を阻害する方法であって、ATCC受付番号HB 10916のハイブリドーマによって産生されるモノクローナル抗体 5 c 8 により特異的に認識されるタンパク質を発現する腫瘍細胞または新生物細胞の増殖を阻害するに有効な量の、治療剤と結合した、もしくは結合していないモノクローナル抗体を含有する医薬組成物を患者に投与することを具備する方法を提供する。この発明の一態様においては、動物は哺乳動物、例えばマウスまたはヒトである。好ましくは、哺乳動物はヒトである。

[0097]

"投与"は、医薬組成物を投与する、当業者に公知のあらゆる標準法を意味する。例として、筋肉内または腹腔内投与を挙げることができるが、これらに限定されるものではない。

[0098]

医薬組成物の"有効量"は、ATCC受付番号HB 10916のハイブリドーマによって産生されるモノクローナル抗体 5 c 8 により特異的に認識されるタンパク質を発現する腫瘍細胞または新生物細胞の増殖を阻害するに有効な医薬組成物の量である。"有効量"を決定する方法は当業者には公知であり、関連する動物のタイプ、動物の大きさおよび用いられる治療剤を含む(これらに限られるものでない)要素に依存する。この発明の一態様に

10

20

30

40

20

30

40

50

おいては、治療剤は放射性同位体、毒素、トキソイドまたは化学療法剤である。

[0099]

この発明は、HTLV Iウイルスによる動物 T 細胞のウイルス感染を阻害する方法であって、HTLV Iウイルスによる T 細胞の感染を阻害するに有効な量の、活性 T 細胞表面のタンパク質を特異的に認識するモノクローナル抗体を含有する医薬組成物を動物に投与することを具備する方法を提供する。この発明の一態様においては、動物は哺乳動物、例えば、マウスまたはヒトである。好ましくは哺乳動物はヒトである。

[0100]

HTLV Iウイルスが結合する細胞性タンパク質が CD4 タンパクであることは当業者には公知である。このように、HTLV Iウイルスは、CD8 $^+$ ではなくCD4 $^+$ T細胞に優先的に感染する。この発明は、モノクローナル抗体 5 c 8 が結合し、またCD4 $^+$ T細胞に特異的なタンパク質を提供する。

[0101]

この発明は、医薬化合物、例えば、シクロスポリン、シクロホスファミドまたはアゾチオプリンを、そのT細胞ヘルパー機能を阻害する能力についてスクリーニングする方法であって:動物から血液試料を単離し;この試料を、そこに含まれるB細胞の活性化を許容する条件下で培養し;試料を、B細胞を活性化するに有効な量のD1.1細胞株またはATCC受付番号HB 10916のハイブリドーマによって産生されるモノクローナル抗体 5 c 8 により特異的に認識される単離タンパク質を発現する細胞と接触させ;医薬化合物がT細胞活性化を阻害することが可能であるならば、B細胞の最終分化のT細胞誘発を阻害するに有効な量の医薬化合物と試料を接触させ;および医薬化合物の存在下において、T細胞株がB細胞を活性化するかどうかを決定することを具備する方法を提供する。

[0102]

この発明の一態様においては、 B 細胞は休止 B 細胞である。この発明の他の態様においては、 B 細胞は感作 B 細胞である。

[0103]

この発明の一態様においては、血液は哺乳動物、例えば、マウスまたはヒトから単離される。

[0104]

動物からの血液の"単離"は、血液を抜き取り、この血液を、抗凝集剤、例えば、ヘパリン、EDTAまたはクエン酸塩を入れた容器に直ちに収容する、一般に許容可能なあらゆる方法を意味する。"B細胞の活性化を許容する条件下"でのB細胞の培養には、リンホカイン類の存在下でのB細胞の培養が含まれる。D1.1細胞株"の有効活性化量"は、培養物中におけるこの細胞の、培養物中のB細胞を活性化するに有効な濃度である。"有効活性化量"を決定する方法は、当業者に公知である。

[0105]

タンパク質抗原に対して動物を免疫する方法であって:動物から休止Bリンパ球を含有する血液試料を単離し;この試料から休止B細胞を回収し;この休止B細胞を、B細胞を刺激して分化させる量の細胞株D1.1またはATCC受付番号HB 10916のハイブリドーマによって産生されるモノクローナル抗体 5 c 8 により特異的に認識される単離タンパク質を発現する細胞と共に、B細胞の分化を許容する条件下で共培養(coculturing)し;この分化B細胞を、分化B細胞にタンパク質抗原を認識する抗体を産生させるに有効な量のタンパク質抗原と接触させ;およびこの抗体産生Bリンパ球を、血液試料を単離した動物に投与することを具備する方法。

[0106]

この発明の目的のためには、"休止B細胞"は、未分化の非抗体合成B細胞または記憶B細胞のいずれかである。

[0107]

動物からの血液の"分離"は、血液を抜き取り、この血液を、抗凝集剤、例えば、ヘパリン、EDTAまたはクエン酸塩を入れた容器に直ちに収容する、一般に許容可能なあら

ゆる方法を意味する。" B 細胞の活性化を許容する条件下 "での B 細胞の培養には、リン ホカイン類の存在下での B 細胞の培養が含まれる。 B リンパ球を動物に投与する方法には 、 細 胞 を 動 物 に 投 与 す る 、 一 般 に 許 容 可 能 な あ ら ゆ る 方 法 が 含 ま れ る 。

[0108]

D 1 . 1 細胞株または可溶性活性 T 細胞表面タンパク質の"有効量"は、細胞株または 可溶性タンパク質の、B細胞の分化を誘発するに有効な量である。"有効量"を決定する 方法は当業者には公知である。

[0109]

タンパク質抗原の " 有効分化量 " は、抗原の、分化 B 細胞に抗原を特異的に認識する抗 体を産生させるに有効な量である。

[0110]

この発明の一態様においては、動物は哺乳動物、例えば、マウスまたはヒトである。好 ましくは、哺乳動物はヒトである。

[0111]

こ の 発 明 の 一 態 様 に お い て は 、 抗 原 は ウ イ ル ス 性 タ ン パ ク 質 抗 原 、 例 え ば 、 B 型 肝 炎 ウ イ ル ス タ ン パ ク 質 抗 原 、 ヒ ト T 細 胞 白 血 病 ウ イ ル ス タ ン パ ク 質 抗 原 ま た は ヒ ト 免 疫 不 全 症 ウイルスタンパク質抗原である。この発明の他の態様においては、抗原は自己抗原または 腫瘍抗原である。当業者に公知のRo、La、RNPおよびリューマチ様因子(IgG) は、そのような自己抗原の例である。

[0112]

この発明は、さらに、抗体産生細胞のイソタイプの切替えを誘発する方法であって、(i)抗体産生細胞を、 B 細胞の分化を許容する条件下で、イソタイプの切替えを誘発するに 有効な量の細胞株 D 1 . 1 または A T C C 受付番号 H B 10916のハイブリドーマによって 産生されるモノクローナル抗体 5 c 8 により特異的に認識される単離タンパク質を発現す る細胞と接触させ;および (ii)抗体産生細胞のイソタイプを検出することを具備する方 法 を 提 供 す る 。 一 態 様 に お い て は 、 抗 体 産 生 細 胞 は ハ イ ブ リ ド ー マ 細 胞 で あ る 。 他 の 態 様 においては、抗体産生細胞はEBV形質転換細胞株である。

[0113]

この発明はまた、抗体産生細胞によって産生される抗体の親和性を増大する方法であっ て、抗体産生細胞を、細胞の接触を許容する条件下で、有効量の細胞株D1.1あるいは ATCC受付番号HB 10916のハイブリドーマによって産生されるモノクローナル抗体 5 c 8 により特異的に認識される単離タンパク質を発現する細胞と接触させ;および抗体産 生細胞によって産生される抗体の結合親和性を決定することを具備する方法を提供する。

[0 1 1 4]

こ の 発 明 は 、 低 ガ ン マ グ ロ ブ リ ン 血 症 に 罹 患 し た 患 者 を 治 療 す る 方 法 で あ っ て 、 低 ガ ン マグロブリン血症について患者を治療するに有効な量の可溶性活性T細胞表面タンパク質 を患者に投与することを具備する方法を提供する。"有効量"を決定する方法は当業者に 公知である。タイトレーションによる方法は、そのような方法の一例である。

[0115]

この発明は、以下の実験の詳細を参照することによりさらに理解されるであろう。しか しながら、詳細に述べられる特定の実験は単に説明に過ぎず、ここに記載され、その後に 続く請求の範囲によって定義されるこの発明を限定することを意味するものではないこと は、当業者には容易に理解されるであろう。

[0116]

実験の第1シリーズ

材料および方法

5C8モノクローナル抗体の産生および特徴 5匹のBalb/cマウスは、生理食塩 水中で2x10゚のD1.1細胞で静脈内免疫感作し、次ぎに腹腔内で約2週間間隔での 5回のブーストがなされた。これらのマウスの血清は、 B 2 . 7細胞に対してジャーカッ トD1.1に優先的に結合する抗体が存在するかどうかについてテストするために、FA 20

10

30

40

20

30

40

50

CSによって滴定された。最も差異のある滴定を示した一匹のマウスは、融合する三日前に、静脈下、 2×10^6 の D 1 . 1 細胞のブーストを受けた。該マウス由来の脾蔵細胞は、前記記載(Kirchevsky et al., 1988)のように、 7×10^7 のマウスS P 2 / 0 骨髄融合パートナー細胞と融合させた。融合産生物を8-mmの360 ウエルに播種する前に、細胞混合物は、 15% F C S を含む Dulbecco's Modified Eagle's 培地(D M E M) 中で一晩培養された。 220 ウエルに出現したコロニーおよびすべてについて、 D 1 . 1 および B 2 . 7 細胞を識別して結合するかどうかを、 F A C S によってスクリーニングした。 5c8 と名付けられた m A b が D 1 . 1 細胞と結合し、 B 2 . 7 細胞には結合しないことがわかった。 5c8 クローンは、モノクローナル性が達成されるまで何回もサブクローンされた。 5c8 m A b は、エリサ法(Hyclone, Logan, UT)で I g G 2 a であることがわかった。 【 0117】

モノクローナル抗体:下記のm A b s: OKT 11(抗-CD2), OKT 10(抗-38), OKT 8(anti-CD8), OKT 6(抗-CD1a), OKT 4(anti-CD4), OKT 3(抗-CD3), OKT 1(抗 -CD5), 3A1(抗-CD7),tac(抗-CD25), T-HB5(抗-CD21, CR2), W6/32 (抗-MHC class I), AB2.06(抗-MHCclass II),L243 (抗-MHC class II), 93F10(抗-MHC class II), TS1/22.1.13(抗-LFA-1a), TS1/ 18.1.2.11.4(抗-LFA-1), TS2/9.1.4.3 (抗-LFA-3),および 187.1(抗-human Ig(Fab))は 、American Type Culture Collection (Rockville,MD)から入手可能なハイブリドーマに よって製造された。これらのmAbは、飽和濃度のハイブリドーマ上澄液で使用されるか 、またはタンパク A カラム (Biorad, Rockville Center, NY)で腹腔液から精製されるかの いづれかであった。抗-ジャーカットTCR Clonotypic mAb (抗-v 8)mAb 16G8および抗-T CR mAbのような他のパネルは、Diversi-T, T cell Science (Cambridge, MA)から購入し た。 mAb OKT4A は、Ortho Pharmaceutical (Raritan, NJ) から購入し、TCR ichael Brenner,ハーバード医学学校(Boston, MA)からの贈呈された。M241(anti-CD1c)は Dr. Cox Terhorst of ハーバード医科大学からの贈呈であった。FITC標識抗-CD23-PE mAb および無標識の抗-CD69 は、Becton Dickinson (Mountainview, CA)より購入した。FITC 標識抗 I gM は Tago (Bur lingame, CA)より購入した。Kolt -4 (抗 - CD28)、および抗 - CD27は Accurate Scientific(Westbury,NY) から購入した。

[0118]

組換蛋白rIL-4はGenzyme(Cambridge, MA)より購入した。rIL-2はHoffmann-LaRoche(Nutley,N.J.)の贈呈であった。

[0119]

<u>細胞フルオログラフィー分析</u> 約10 5 細胞を、表示のmAbsの飽和濃度により、45分間4 で、80μg/mLの熱凝集したヒトIgG(International Enzyme, Fallbrook, CA)の存在下でインキュベートした。細胞は、洗浄されて未結合のmAbを除去した後、蛍光体(Cappel, Cochranville, PA)と結合されたヤギ抗-マウスIg二次抗体でインキュベーションされた。

[0120]

二色分析のため、細胞を表示のように直接連結されたFITCまたはmAbに接合し、45分4 で、凝集ヒトIgG存在下で、フィコエリスリン(PE)と反応させた。分析に先立ち、細胞を洗浄し、PBS中に再懸濁した。蛍光強度は、consort-30 ソフトウエアー(Becton-Dickinson, Mountainview, CA)付きFACSCAN細胞フルオグラフィーで測定した。B細胞とジャーカットクローンとの共培養に関する実験では、弱い前方および側方の光分散によって異種細胞集団をゲーチングすることによって、ジャーカット細胞をB細胞蛍光分析から除外した。PMAおよびPHA活性化細胞による実験においては、死細胞は、ヨウ化プロピリディウムおよび電子FACSゲーテイングによる処理によって分析から除外された。

[0121]

<u>細胞系</u> 下記の細胞系:HPB-ALL, Jurkat, CEM, PEER, MOLT-IV, K562, Ramos, Raji, およびU937は、American Type Culture Collection (Rockville, MD)から入手できる。 B A は以前報告されている(Bank, et al., 1986)ようにEpstein Barr ウイルスで形質転換

30

40

50

された B 細胞系である。 H 9 は、HIV Repository (Rockville, MD)から入手できる。 H L A の分類は、コロンビア大学 (One Lambda, Los Angeles, CA)の病理課 Dr. Elaine Reedによって行われた。ジャーカット D 1 . 1 および B 2 . 7 は、Mycotect キット (GIBCO, Grand Island, NY) および D N A ハイブリデイゼーション法 (Genprobe, La Jolla, CA)ではマイコプラズマに対して陰性であった。

[0122]

<u>細胞集団の単離</u> 末梢血液リンパ球は、健康な志願者より取り出された新鮮な血液を、Ficoll-Hypaque (Sigma, St. Louis, MO)またはLeukoprep (Becton-Dickson)で遠心分離することで得られた。 T 細胞は、ノイラミニダーゼ処理されたヒツジ赤血球によって実質的に選別された。 C D 4 $^+$ C D 8 $^-$ および C D 4 $^-$ C D 8 $^+$ 細胞のサブセットが、それぞれ抗 C D 8 または抗 C D 4 m A b 処理によって単離された後、以前 (Rogozinksi, et al., 1984)に記載されているように、補体の仲介によって溶菌された。 B 細胞は、ノイラミニダーゼ処理ヒツジ赤血球によるロゼット形成を二回行った後、Ficoll-Hypaque遠心分離ではペレット化されなかった細胞集団から得られた。

[0123]

[0124]

<u>S D S ポリアクリルアミドゲル電気泳動</u> ジャーカットクローンは、ラクトペルオキシダーゼ法でヨウ素化し、1%のN P 4 0 ,ヨードアセトアミドを含む 2 5 m M トリスで緩衝化された P B S および 1 0 μ m P M S F 中に溶解された。細胞溶解物を、m A b 1 8 7 . 1 (抗ヒトF (ab) I g) と約 1 0 μ g の表示 m A b で被覆された蛋白 A - 4 B セファロースビーズ (Pharmacia, Uppsula, Sweden)と反応させた。ビーズを洗浄して非特異的に結合した蛋白を除去後、沈殿した蛋白を S D S 中で 2 - M E 存在下または無存在下で、熱変性させた。変性蛋白および予め染色してある分子量マーカー (Biorad, Rockville Center, NY)を、12 c m のゲル中で 12% ポリアクリルアミドを通して電気泳動にかけ、乾燥ゲルを使用して X 線フィルム (Kodak, Rochester, NY)を感光させた。

[0125]

マイトマイシン C およびパラフォルムアルデヒド処理 ジャーカット細胞 (1 0 ¹) を、5 0 μg / m L のマイトマイシン - C (Sigma, St. Louis, MO)で、6 0 分 3 7 で処理した。マイトマイシン処理されたジャーカット細胞を二回洗浄し、無マイトマイシン培地に再懸濁してから、4 5 - 6 0 分 3 7 で培養した。該細胞を更に二回洗浄してからB細胞培養中に添加した。固定化実験では、T細胞を新たに作成した 0 . 5 %のパラフォルムアルデヒドで 5 - 1 0 分処理し、 0 . 2 M の L - リジンで抑制し、5 回洗浄しB細胞培養中に添加した。

[0126]

<u>T細胞活性化</u> 5 c 8 A g の発現を研究する実験では、静止T細胞を、 1 0 μ g / m L のホルボールミリステートアセテート(P M A)(Sigma, St. Louis, MO)および 1 0 μ g / m L の P H A (Sigma)の存在下または無存在下で培養した。 5 c 8 A g 発現の代謝要求を研究する実験では、T細胞が 1 0 0 μ m シクロヘキサアミド(Sigma)または 1 0

μg/mLのアクチノマイシン D (Sigma)の存在下で活性化された。

[0127]

活性化したT細胞によって高密度のB細胞でのCD23の発現の誘発を研究する実験では、10μg/mLのmAbをPBS中で1時間培養することで、mAbsOKT3またはOKT4を24ウエル培養プレートの表面に固定化した。対照のウエルは、mAbを含まないPBS中で培養した。未結合mAbを洗浄した後、10ng/mLのホルボールジブチレート(PDB)(Sigma)の存在下、6時間で2×10⁶細胞/ウエルでプレートが被覆された。細胞を激しいピペット操作で除去し、洗浄し、培養前に、細胞と2×10⁵の高密度で、パーコールで単離された静止B細胞との割合を1:1にして、0.5%のパラフォルムアルデヒドで上記記載通りに固定化した。B細胞CD23の発現が上記記載のように2色FACSで測定された。

[0128]

<u>B 細胞活性化および分化</u> B 細胞表面 C D 2 3 の発現誘発を測定する実験では、 2 \times 1 0 5 高密度細胞を、 2 0 0 μ L σ Isocove's Modified Dulbecco培地(I M D M) 1 0 % F C S 丸底マイクロタイターウエル(Nunc)中の表示数のジャーカット細胞または T 細胞に添加し、 1 8 - 2 4 時間たって C D 2 3 の発現について分析した。ミリポア (Bedford, MA) からの 4 5 μ m 培養プレート挿入物によって 1 \times 1 0 6 細胞から分離された 1 \times 1 0 6 の B 細胞の存在下または無存在下で、 1 \times 1 0 6 ジャーカット細胞による二つのチェンバー実験が行なわれた。

[0129]

B 細胞増殖は、平底マイクロタイターウエル(NUNC)中で、 P H A ($5 \mu g / m L$) の存在下または無存在下で、 $1 0^5 B$ 細胞と、マイトマイシン - C - で処理した同数の E^+ 細胞またはジャーカットクローンを共に培養することによって測定された。培養物は、 6 0時間後に、 $1 \mu C I (H^3)$ チミン (New England Nuclear, Boston, MA) でパルス標識され、 1 6 時間後にグラスファイバーフィルターペーパー (Cambridge Technology Watertown, MA)上で採取された。ベータシンチレーション C p mをベータ計測器 (LKB Rackbeta counter、1209型) で測定した。

[0130]

プラーク形成体 (P F C) は、イエルネ溶血プラーク分析の改変法で測定された (Rogoz inski, et al., 1984)。つまり、 2.5×10^5 B 細胞をマイトシン C 処理された様々な数のジャーカット細胞と共に培養するか、または未処理の新たに単離された自己に由来する T 細胞と共に、 6 日間 1 : 400 の希釈率の P W M (Gibco, Grand Island, NY) の存在下あるいは無存在下で培養した。細胞を二回洗浄し、ハンクス平衡塩類溶液中に再懸濁した。適宜希釈から、培養された細胞懸濁液の 50μ L を、塩化第二クロムによってラビット抗ヒト I g で被覆された S R B C の 11%溶液 10μ L 、希釈されたラビット抗ヒト I g 10μ L、およびギアナピッグ補体 10μ L と混合した。これらの混合物を二つ対になったガラス室に入れ、2 時間 37 で培養した。プラークを解剖用顕微鏡を使用して計測し、プラーク形成コロニー (P F C) 10^6 B 細胞として表示した。

[0131]

I g アイソトープ定量のためのエリサ法が、炭酸緩衝液、 p H 9 . 6 中で、ポリスチレン 9 6 ウエル (immunion II, Dynatech Laboratories, Chantilly, VA9)を、ヤギ抗ヒトI g A , I g G , または I g M (Tago, Burligname, CA) の希釈物で、 1 8 時間 4 で被覆することで行なわれた。そのプレートを P B S 中 0 . 0 5 % トウイーンで洗浄し、 1 % の B S A - P B S で 2 時間のインキュベーションすることで非特異的部位を封鎖した。洗浄後、 5 0 μ L の細胞培養上澄液または I g アイソトープ標準液 (Rockland, Gilbertsville, PA)を該ウエルに添加し、 2 時間結合させた。次ぎに、結合したヒト I g を検出するために、アルカリフォスファターゼ (Tago) と結合したヤギ抗ヒト I g を添加した。 2 時間後、ウエルを洗浄し、 p - ニトロフェニルフォスフェートを添加した。 Molecular Devices VMAX器 (Palo Alto, CA)で 4 0 5 n m における吸光度を測定した。サンプルは 3 回分析した。エラーバーは曲線当てはめ法および内挿法 (Delta-Soft, BioMetallics, Inc. Prin

10

20

30

40

ceton, NJ)から計算された標準偏差を示す。

[0132]

T細胞の作用におけるCD4の役割

T細胞の作用におけるCD4の役割を研究するために、CD4゚ジャーカットクローン (D 1 . 1)を C D 4 のサブ細胞集団自然発生させた培養液から単離し、 F A C S 分析 でのマイナスピークで確認した。CD4の表面発現が見られなかったことは、ジャーカッ ト D 1 . 1 細 胞 表 面 の 表 現 型 が 、 多 く の m A b 類 の 結 合 に つ い て の C D 4 [†] ク ロ ー ン 、 す なわちジャーカットB2.7(図1、および表1)と同様であった事が、比較的特異的で あった。CD4の異なる発現は、これらのサブクローン間での定量的差異に過ぎないけれ ども、研究された他の分子構造はのうち幾つかは、定量的に異なるレベルで発現された。 例えばジャーカット D 1 . 1 は、ジャーカット B 2 . 7 よりも C D 2 および M H C クラス (H L A) の分子を多く発現した。しかしながら、ジャーカット D 1 . 1 はジャーカット B 2 . 7 よりも C D 2 8 分子、およびTCR - / (V 8) / CD3 複合体の発現が少なか った(図1、および表1)。これらのclonotypic 抗-TCR mAbとの反応性が共通している のに加えて、ジャーカット D 1 . 1 および B 2 . 7 は H L A と同一(A 3 , 3 4 、 2 、 1 6) であり、無関連 T 細胞白血病系、 H P B - A L L (A 9) とははっきり相違していた 。これらのデータをまとめると、ジャーカットD1.1はジャーカットのCD4゚サブク ローンであり、CD4分子がないことは表面表現型における比較的特異的な変化であるこ とが実証された。

【表1】

【表1】

表 1 ジャーカットクローンD 1.1 およびB 2.7 の細胞表面表現型

			平均党	光张度a	10
CD No.	方子_	<u>mAb</u>	<u>D1.1</u>	<u> 32.7</u>	
	TCRa/B	BMA-031	10	40	
	TCRVB8	16G8	30	70	
	TCR-VB5	W112	0	0	
	MHC-クラス I	W6/32	190	70	
	MHC-クラス II	2.06	0	0	
CD1a	T6	OKT5	10	10	
CD1c		M241	10	10	00
CD2	T11	OKT11	100	10	20
CD3	TCR 復合体	OKT3	30	80	
CD4	T4	OKT4	٥	130	
CD5	T1	OKTI	20	90	
CD7		3A1	200	190	
CD8	T8	OKT8	0	O	
CDlla	LFA-1a	TS1/			
		22.1.13	40	100	
CD14		My2	0	0	
CD16	FCERII	3G8	20	20	
CD18	LFA-18	TS1/			
		18.1.2.11.4	30	80	30
CD21	CR2	HB-5	0	0	
CD23	FcyRII	leu20	0	0	
CD25	tac. IL-2Ra	tac	0	٥	
CD26	DPPIV	taq-1	0	0	
CD28	9.3. gp44	KOLT-4	30	70	
CD29		4B4	140	110	
CD38	T10	OKTIO	40	30	
CDw32	FcyRII	32.2	0	0	
CD45RA	T200. LCA	2H4	30	40	
CD45RO	T200. LCA	UCHL1	10	20	
CDw49	VLA-1	1B.3	0	0	40
CD58	LFA-III	TS2/9.1.4.3	40	60	
CD64	FCYRI	IV 3	0	0	

[0 1 3 3]

^a数字は,FACS平均で測定した蛍光強度(任意単位)を示す。バックグラウンドはマイナスされ、数字は約10単位で四捨五入されている。

[0 1 3 4]

作用性研究では、CD4 * (B2.7) および(D1.1) ジャーカット細胞が静止B細胞を誘発してCD23を発現させる能力、B細胞活性化のマーカーを比較した(Crow, et al., 1986; Jover, et al., 1989; Crow, et al., 1989)。驚いたことに、B細胞と、CD4*ジャーカット細胞(B2.7)ではなくCD4^{*}ジャーカット(D1.1)と共培養すると、CD23の発現が、60%を越えるB細胞で誘導された。(図2)。ジャーカットD1.1によるB細胞表面のCD23発現の誘導は、D1.1とB細胞との比率が1:1では、20-24時間で最大となった(図3)。反対に、B2.7ジャーカットサゴクローンは、高比率のB細胞、または長期間共培養(最高48時間、表示せず)したB細胞を活性化しなかった(図3)。更に、ジャーカットD1.1は他のT細胞(H9,HPB-ALL,MOLT-IV,CEM)および非T細胞(U937)白血病系(表示せず)と比較すると、該能力に特異性をもっていた。ジャーカットD1.1は、IgM(図2)、CD20(図2)またはクラスIMHC等の他のB細胞表面分子の量が影響を受けないので、B細胞のCD23の発現を選択的に誘発した。B細胞活性化におけるジャーカットD1.1の効果は、25以上の関連性のない提供者由来のB細胞に一定に観察された。これは、該影響がAgにもMHCにも制限されない事を示唆する。

[0135]

B細胞CD23は、Igの分泌細胞に至る最終B細胞分化において、初期、および、もしかすると中間の段階で発現される。活性化されたT細胞表面に与えられる刺激とは別の刺激が、実質的なB細胞の増殖および分化を行うには必要である。B細胞増殖または分化を測定するには、数日の培養が必要であるので、ジャーカットクローンの増殖を、マイトシンCによる前処理で阻害した。マイトシンCは、B細胞を活性化する能力を奪うことはしない(表2)。

【表2】

<u>表 2</u>
<u>マイトマイシンCおよびILー4に対する抗体の、</u>
ジャーカットD1. 1細胞に誘発されるB細胞CD23発現への効果

ジャーカットクローン B細胞 C rIL-4 rIL-2 B2.7 D1.1/MD1.1 B2.7/M プラス 14 64 17 81 16 57 14 抗 IL-4 ND 28 ND 84 ND 64 ND 抗 IL-2 ND 60 ND 86 ND 60 ND

[0136]

二色FACS分析によって、抗CD20(1eu-16)-FITCおよび抗-CD23 PEで測定されたCD23を発現するCD20(Leu-16) + B細胞のパーセンテージを示す。高密度のパーコールで分画されたB細胞(2x10 5)は単独で培養されるか、または同数のジャーカットB2.7またはD1.1細胞と共に、表示されたように20時間培養された。表示のように、精製されたポリクローナルラビットの抗IL-4または抗IL-2Igは、実験開始時に最終濃度1・25μg/mLになるまで添加された。表示のように、rIL-2またはrIL-4は、最終濃度25 U /mLになるまで表示された培養液に添加された。分析された細胞は、前方および側方の光分散によって該分析からゲートされ、大きなD1.1またはB2.7細胞(もしあれば)が除かれた。C:対照;D1.1/M:マイトシンCで処理されたD1.1細胞;B2.7/M:マイトシンCで処理されたB2.7;ND:測定せず。

[0137]

50

40

20

20

30

50

マイトマイシン C 処理された C D 4 $^{+}$ ジャーカット D 1 . 1 および C D 4 $^{+}$ ジャーカット B 2 . 7 は、その B 細胞増殖または I g 分泌細胞へ至る最終 B 細胞分化へ誘導する能力について調査された。 T 細胞依存 B 細胞マイトジェン (Doech,et al., 1980)の存在下、ジャーカット B 2 . 7 ではなく、ジャーカット D 1 . 1 に誘導された B 細胞の増殖は、 D N A 分析(図 4)によって測定され、 I g 分泌細胞の分化は、逆溶血プラーク分析(図 5 A)によって測定された。 更に、 分泌された抗体のアイソタイプは定量エリサ法で定性された。 ジャーカット B 2 . 7 ではなく、 ジャーカット D 1 . 1 は、 培養上澄液中へ I g G および少量ではあるが I g M の分泌を誘発した (図 5 B および C)。 これらのデータは、まとめると、 ジャーカット B 2 . 7 ではなく、 ジャーカット D 1 . 1 が B 細胞の分化および I g M および I g G の分泌を援助する機能的能力を活性化 T 細胞と共有していることを示す。

[0138]

B細胞活性化の汎用要素の役割

D1.1上澄液はB細胞CD23の発現を誘発しなかった(図3)。静止B細胞を、B細胞存在下、無存在下で、D1.1細胞の培養培地を含むリンフォカインまたは培養液と、浸透膜によって分離されたチェンバーで培養する二室実験が行われた。ある実験では、B細胞(66%IgM)が0.45mμ膜の付いたチェンバー中で培養された。二色FACS分析によると、rIL-4(25U/mL)が、IgM⁺B細胞の28%でCD23の発現を誘発した。反対に、もう一つのチェンバーでは、D1.1細胞がCD23(バックグランド4.0%に対してD1.1は4.7%)を発現するためのB細胞を活性化しなかった。更に、D1.1細胞とB細胞を一つのチェンバーで共培養したものは、もうった。のチェンバー中のCd23(4.9%)を発現するためのB細胞を活性化しなかった。しながら、B細胞と直接接触を達成できれば、D1.1細胞は、B細胞によるCD23の発現を誘発することができた(B2.7細胞に対して76%体8.4%)。まとめると、これらのデータによって、B細胞におけるD1.1の効果を生じる汎用要素としての役割を裏づける事はできなかった。

[0 1 3 9]

r I L - 4 は、C D 2 3 を発現する B 細胞を活性化する事が知られていた(Rabin, et al., 1985)ので、この効果を果たす際のIL-4の潜在的役割を、B細胞でのCD23発 現 誘 発 の 役 割 と は 別 に 、 更 に 調 査 し た 。 r I L は B 細 胞 s I g M ⁺ の 発 現 の ア ッ プ レ ギ ュ レーションをすることが知られていた(Shields, et al., 1989)。rIL‐4は、CD2 3 の 発 現 お よ び s I g M ⁺ の ア ッ プ レ ギ ュ レ ー シ ョ ン を 投 与 量 に 依 存 し た か た ち で 誘 発 し たけれども、D1.1細胞はCD23の発現を誘発したが、B細胞sIgMのアップレギ ュレーションはしなかった(図6)。 B 細胞の増殖における D 1 . 1 細胞の効果もまた、 r I L - 4 (図4)効果とは異なっていた。r I L - 4 ではなく D 1 . 1 細胞は、 P H A 存在下でB細胞増殖を誘発した。おもしろいことに、rIL-4およびD1.1細胞は共 同して、PHA無存在下ではB細胞増殖を誘発し、PHA存在下ではD1.1に誘発され た増殖を増大させた。これらのデータは、まとめると、 B 細胞における D 1 . 1 細胞の効 果が、IL-4によって誘発される効果とははっきりと異なる事を示唆している。しかし ながら、B細胞に対するD1.1細胞の影響におけるI1-4の役割を直接調べるために 、I1-4に対する中和抗体を使用した。rIL-4(図6)によって行われる抗CD2 3 の誘発および s I g M のアップレギュレーションの両方を阻害する抗 I L - 4 抗体の濃 度では、D1.1が介在するB細胞CD23発現は阻害されなかった(表II)。これらの データにより、 I L - 4 単独では D 1 . 1 の B 細胞における効果が説明できない事が実証 された。これらの結果を、まとめると、分泌要素ではなく、細胞・細胞接触がB細胞活性 化におけるD1.1の効果を説明することが示唆された。

[0140]

細胞 - 細胞接触がB細胞におけるD1.1効果を生じるというアイデアを実証するために、ジャーカットD1.1および対照のB2.7細胞を1%のパラフォルムアルデヒドで固定化した。パラフォルムアルデヒド固定化は、ジャーカットD1.1のB細胞を活性化

する能力を低下させたけれども、固定化されたD1.1細胞は、B細胞CD23の発現を誘発する能力を残していた。しかしながら固定化されたB2.7細胞は、CD23の発現をバックグランドレベルから変えはしなかった。固定化されたD1.1細胞:B細胞の割合が5:1の時、無固定化D1.1細胞では80%であったのに比べて、63%のB細胞が誘発されてCD23を発現した。これらのデータは、まとめると、ジャーカットD1.1上の表面構造が、B細胞の活性化を誘発するには十分であることを示唆している。【0141】

ヘルパーエフェクター作用を与える活性化された C D 4 ⁺ T 細胞の細胞表面蛋白の特徴 ヘルパーエフェクター作用を与える活性化された C D 4 ⁺ T 細胞の細胞表面蛋白の特徴付けを行うために、マウスを接触依存性ヘルパーエフェクター作用を有するジャーカット D 1 . 1 クローンで免疫感作した (Yellin et al., 1991)。モノクローナル抗体(m A b)が産生され、 D 1 . 1 クローンおよび非ヘルパージャーカットクローン B 2 . 7 に識別して結合するかどうかに対して、ハイブリドーマ上澄液をスクリーニングする。

非ヘルパーB2.7細胞の表面ではなく、D1.1細胞表面に特異的に結合した5c8と名付けられたマウスIgG2amAbが確認された(図7)。mAb 5c8は、他の様々な細胞系:T細胞白血病系、CEM,H9,Molt-4,およびPeer;B細胞由来細胞系、BA,Raji,またはRamos;骨髄単球細胞系、U937;または赤血球細胞系、K562とは結合しなかった(下記表3参照)。

<u>表 3</u> 細胞集団および細胞系での5c8 Agの発現

静止	活性化
+	+
_	
_	ND
_	-
_	-
****	ND
	ND
—	ND
	_
	ND
	+

 細胞集団
 静止
 活性化

 T細胞
 +

 B細胞

 単球

20

40

30

[0142]

【表3】

30

40

50

これらのデータは、表示細胞系または細胞集団に結合しているmAb 5 c 8 の F A C S 分析から得られた。mAb 5 c 8 の結合は、各々の細胞系または細胞集団に対する適切な陽性および陰性対照mAbsのFACS染色と比較して決定された。ND:測定されなかった。

[0144]

m A b 5 c 8 がジャーカットクローン D 1 . 1 のヘルパー能力と作用的に関連のある分子と反応するかどうかを評価するために、m A b 5 c 8 の効果を、 B 細胞での D 1 . 1 に誘発される C D 2 3 発現の分析で調査した。m A b 5 c 8 はジャーカット D 1 . 1 誘発細胞活性化(図8)を阻害した可能性がある。反対に、アイソタイプの対照 m A b、W 6 / 3 2 は、D 1 . 1 が介在する B 細胞活性化を阻止しなかった。ここに提示したデータにより、 5 c 8 A g が D 1 . 1 細胞のヘルパーエフェクター作用に重要な役割を果たしていることが示唆される。

[0145]

m A b 5 c 8 によって認識される抗原の生化学的特質

m A b 5 c 8 によって認識される抗原を生化学的に特質化するために、免疫沈殿を,m A b 5 c 8 または対照 m A b s によっておこなわれる。対照 m A b s は、表面ヨウ素化されたジャーカット D 1 . 1 細胞および対照、つまり表面 m A b 5 c 8 結合を欠く非ヘルパージャーカット B 2 . 7 細胞の細胞溶融物上のクラス I M H C (W 6 / 3 2)または C D 2 8 (k o 1 t - 4)抗原を認識する。 m A b 5 c 8 は、対照の B 2 . 7 溶融物からでなく、ヘルパークローン D 1 . 1 の溶融物から、 S D S / P A G E 上の 3 0 k D a に移動する蛋白を免疫沈殿した(図 9)。

[0146]

mAb 5 c 8 によって免疫沈殿された蛋白種は、2 - メルカプトエタノール(2 - ME)による還元による影響は受けなかった。これは、3 0 k D a のバンドが、ホモダイマーに連結した二硫化物でも、ヨウ素化が容易にできない他の蛋白に連結した二硫化物でもないことを示唆している。反対に、対照、抗 - C D 2 8 m A b 、 K O L T - 4 は、2 - M E が存在しない場合は8 8 k D a バンドを、2 - M E が存在する場合は4 4 k D a バンドを免疫沈殿した(図9)。これは公開のレポート(Martin, et al., 1986)およびこの構造が二硫化物が結合したホモダイマーであるという解釈と一致する。対照のm A b W 6 / 3 2 は、4 3 と 1 2 k D a M W の蛋白の非硫化物が結合したヘテロダイマーを沈殿させた(図9)。これらのデータにより、m A b 5 c 8 が、3 0 k D a M W の非硫化物に結合した蛋白種を、D 1 . 1 細胞の表面から認識したことが示唆された。

[0147]

通常リンパ細胞による5 c 8 A g 発現の特徴

m A b 5 c 8 または様々な対照 m A b s の結合について、新たに単離されたTおよび B リンパ球、単球、および、P M A および P H A に刺激されたT細胞についてのFACSによって調査される。静止TまたはB リンパ球または単球は、5 c 8 A g を発現しなかった(上記表3、および図10参照)けれドンも、活性化されたT細胞のサブセットは、P M A および P H A で活性化された後5時間して、5 c 8 A g を発現した事がわかった(図10)。

[0148]

5 c 8 A g の発現のカイネチクスおよび細胞分布を特徴づけるために、m A b 5 c 8 の T 細胞への結合が、 T 細胞活性化後、様々な間隔をおいて F A C S で調査された。 T 細胞活性化後、実質的に全ての T 細胞に上に急速に誘導される事が知られている (Bjorndahl, et al., 1988)ので、 3 2 / 3 8 K D a の二硫化物結合ヘテロダイマーである C D 6 9 分子を、対照として選択した。 5 c 8 が静止 T 細胞には無く、活性化後 T 細胞のサブセット上で発現されるけれども、対照的に、低レベルの C D 6 9 発現が静止 T 細胞上でみられ、高レベルの C D 6 9 の発現が全 T 細胞集団の活性化によって誘導された (図 1 0)。 m A b 5 c 8 の結合が活性化後 3 時間 (Bjorndahl, et al., 1988)に著じるしく、 2 4 時間(図 1 1)を越えて持続したので、発現のカイネテクスにより、さらに C D 6 9 と 5 c 8

20

30

Agは区別された。ここに示されたデータによって、CD69と5c8 Agが、それらの発現の細胞分布によっても、それらの活性化後のアップレギュレーションのカイネテクスによっても識別されることが提示された。

[0149]

mRNAまたは蛋白の合成が、5c8 Ag発現に必要とされるかどうかを決定するために、アクチノマイシンDまたはシクロヘキサアミドの存在または非存在下で、T細胞をPMAおよびPHAで刺激し、5c8およびCD69の発現を比較した。5c8の発現は、アクチノマイシンDまたはシクロヘキサミドのいづれかの処理によって阻害された(図10)。反対に、CD69は、アクチノマイシンDまたはシクロヘキサミドのいづれかの存在下にもかかわらず、活性化によって、以前に報告されている(Bjourndahl, et al., 1988)ようにアップレギュレーションされた(図11)。これらのデータにより、T細胞活性化後に5c8の抗原の発現が、mRNAの転写および蛋白の新生(de novo)合成に依存している事が示唆された。

[0150]

活性化後に5c8 Agを発現するT細胞サブセットの特徴

[0151]

通常T細胞の介在するTヘルパー機能における5 c 8 A g の役割の評価

通常T細胞の介在するTヘルパー機能における5c8 Agの役割の評価するために、表面CD23分子と発現するための小量の静止B細胞を誘発する活性化T細胞の能力におけるmAb 5c8の効果を調査した。ホルボールジプチレート(PBD)の存在下、抗-CD3(OKT3)または対照の抗-CD4(OKT4)mAbsで被覆された表面で、T細胞を培養しそしてパラフォルムアルデヒドで固定化した。これらの固定化されたT細胞の、溶解性mAb 5c8またはOTK4の存在下でのB細胞活性化能力について調査した。OTK4は、T細胞表面CD4分子と反応するが、T-B細胞相互作用と阻害しない(Rogozinksi, et al., 1984)から、mAb OTK4は、これらの実験でアイソタイプと適合した対照として選択された。OTK4ではなくmAb 5c8は、活性化されたT細胞のB細胞CD23発現を誘導する能力を阻害した(下記表4参照)。

【表4】

表 4パラフォルムアルデヒドに固定化された活性化T細胞が介在するB細胞表面CD23誘導におけるmAb 5c8処理の効果

	培地	mAb 5c8	OKT4
無T細胞	6.8	ND	ND
ジャーカットD1.1	93.8	9.8	96.1
PDB 活性化T細胞	29.8	ND	ND
PDB/OKT4 活性化T細胞	26	ND	ND
PDB/OKT3 活性化T細胞	52.7	30.4	56.1

[0152]

表示したように、 B 細胞を単独で培養した後、または同数のジャーカット d 1 . 1 細胞存在下で培養した後、二色 F A C S 分析によって C D 2 3 を発現する I g M $^+$ B 細胞のパーセンテージ、あるいは P B D 単独で刺激されたか、または固定化された抗 - C D 3 (O K T 3) または抗 - C D 4 (O K T 4) m A b のいづれかの存在下で刺激されたパラフォルムアルデヒドで固定化された T 細胞のパーセンテージを示す。 I g G 2 a m A b s 、 5 c 8 、および O K T 4 は、並行の用量 - 反応実験において、 9 0 %の C D 2 3 誘導を阻害したm A b 5 c 8 の濃度の二倍の 5 0 0 n g / m L あった。 N D : 測定せず。

[0153]

次に、mAb 5 c 8 および O K T 4 の、通常のヒト T 細胞によって起こされる最終 B 細胞分化を阻害する能力にたいする効果を比較した。これらの実験では、C D 4 $^+$ T 細胞を P W M の存在下、自己由来の、カラム単離 B 細胞と共に培養し、 I g を分泌する B 細胞プラーク形成コロニー(P F C S)の数を逆溶血プラーク分析によって測定した。 O K T 4 ではなく、mAb 5 c 8 が、C D 4 $^+$ 細胞起動 P F C 反応を阻害した(表 5 参照)。これらのデータをまとめると、 5 c 8 A g が活性化された C D 4 $^+$ T 細胞のヘルパーエフェクター機能の接触依存性面に関わっている事が実証される。

10

20

【表5】

<u>表 5</u> <u>抗体形成細胞の誘導におけるmAb 5C8処理の効果</u>

					<u>PFC</u>	
T 細胞	B細胞	PWM	mAb	実験1	実験2	実験3
	В			120	240	600
	В	PWM		240	600	4,800
CD4 ⁺ T				240	120	180
CD4 ⁺ T	В			2,580	780	ND
CD4 ⁺ T		PWM		3,840	240	60
CD4 ⁺ T	В	PWM		149,760	85,200	25,800
CD4 ⁺ T	В	PWM	5c8	58,000	4,680	9,000
CD4 ⁺ T	В	PWM	OKT4	143,520	103,200	30,960

[0154]

CD4 [†] T細胞を、PWMの存在下または無存在下で、自己由来の、抗 I g カラム単離 B 細胞との比率 0 . 6 : 1 で培養した、無関連のドナーについての 3 つの別個の実験の結果を示す。 1 0 6 B 細胞につきプラーク形成コロニー(PFC)の数を逆溶血プラーク分析によって測定した。 OKT 4 が 1 μ g / m L である実験 1 以外では、m A b s 5 c 8 および OKT 4 は、 5 0 0 n g / m L であった。 N D : 測定せず。

[0155]

考察

ジャーカットD1.1クローンは、関連のない種々の患者由来のB細胞に対して、表面CD23分子(B細胞活性化のマーカー)の発現を誘導し、またT依存性B細胞マイトジェンの存在下で増殖およびISCへの最終分化を誘導する点において、CD4⁺ジャーカット細胞ライン及び他の種々の白血病T細胞ラインとは機能的に異なっている。B細胞活性化に対するこのD1.1の作用は、親密な細胞接触を必要とし、分泌された因子(または特にIL-4)によっては説明できなかった。

[0156]

ジャーカット D 1 . 1 が接触依存性 B 細胞の活性化および分化を誘導できるという事実は、ジャーカット D 1 . 1 が、補助 (help)の接触依存性エフェクター相を媒介する活性化 T 細胞と共通した、表面構造を有していることを示唆している。

[0157]

活性化されたT細胞と、Tヘルパー機能のエフェクター相を媒介するB細胞との間の分子的相互作用は複雑であり、殆ど理解されていない。Tヘルパー・エフェクター機能の機構を詳細に吟味するために、幾つかの研究によってB細胞分化の初期現象が測定された。第一に、細胞サイクル過程に関連したRNA、DNAおよび酵素のB細胞合成が、活性化された休止していないT細胞によって誘導される(O'Brien, et al., 1988; Grusby, et al., 1991; Noelle, et al, 1990; Zinkernagle, 1977; Sprent, 1978; Sprent, 1978; Jones, et al., 1981; Julius, et al., 1982; Chestnut et al., 1981)。第二に、B細胞表面CD23の誘導により測定されるB細胞の活性化が

30

50

、活性化された休止していないT細胞によって誘導される(Zinkernagle, 1976)。第三 に、B細胞の活性化および増殖が、パラホルムアルデヒドで固定された活性化T細胞によ って誘導され得る(Zinkernagle, 1977; Julius, et al., 1982)。第四に、B細胞の増 殖が、活性化された休止していないT細胞由来の膜プレパレーションによって誘導される (Noelle, et al,.1991; Katz, et al., 1973; Brian, 1988)。最後に、活性化T細胞 ま た は 活 性 化 T 細 胞 膜 が B 細 胞 の 活 性 化 ま た は 増 殖 を 誘 導 す る 能 力 は 、 プ ロ テ ア ー ゼ 処 理 によって喪失される (Katz, et al., 1973; Jones, et al., 1981)。総合すると、これ ら所見は、T細胞の活性化が、B細胞と相互作用する表面構造の誘導に付随し、B細胞の 活性化および増殖のための接触依存性信号を提供するするという思想に合致している。活 性化T細胞と同様であるが、他の白血病細胞ラインとは異なり、ジャーカットD1.1は 、細胞/細胞の接触に依存するがリンホカイン、Ag特異性またはMHC制限には依存せ ずに、 B 細 胞 C D 23の 発現 を 誘 導 す る 能 力 を 有 し て い る 。 B 細 胞 表 面 C D 23の 発 現 の 誘 導 は、T指令されたB細胞のIg分泌細胞への分化(固定された活性化T細胞の表面によっ て駆動され得る)の初期段階または中間段階で生じると思われる(Zinkernagle, 1976; Sprent, 1978)。 B 細胞 C D 23の発現の誘導に加えて、ジャーカット D 1 . 1 は、 P W M の存在下でのD1.1に誘導された最終B細胞分化において、CD4⁺ジャーカットクロ ーンとは機能的に異なっている。これらの点において、ジャーカットD1.1は活性化さ れたT細胞と共通した、B細胞を刺激する後天的な表面特性を有していると思われる。 [0158]

ヘルパー機能を説明するジャーカットD1.1の表面構造の性質は、今回の研究においては同定されなかった。T細胞上のCD28分子はB細胞リガンドを結合するから(Hiroha ta, et al.,)、特に興味深いのは、ヘルパーD1.1およびB2.7クローン上のCD28の発現を比較することである。しかし、ジャーカットD1.1およびB2.7がCD28分子を発現したという事実によって、CD28だけではジャーカットD1.1の独特の機能的性質を説明できないことが示された。更に、CD2、CD3、CD5、CE38、LFA-1a、LFA-1bおよびLFA-3に特異的なmAbを用いたmAb阻害研究においては、何れのmAbも、D1.1に媒介されたB細胞の活性化を阻害するものとして同定され得なかった。ヘルパーエフェクター機能を媒介するD1.1の異なった細胞表面特性を同定するために、D1.1と反応し、D1.1のB細胞を補助する能力を阻害するmAbを創製する試みが開始された。

[0159]

ヘルパー機能を媒介する表面構造は同定されていないが、D1.1系は、ヘルパーエフ ェクター機能におけるCD4分子の役割を暗示している。CD4゚であるものとして単離 されたジャーカットサブクローンが、ヘルパー機能(通常はCD4分子を発現するT細胞 のサブセットに付随する)を有していたことは奇妙なことである。幾つかの系統の研究に よって、CD4分子はヘルパーエフェクター機能において直接の役割を果たさないことが 示唆されている(Mitchison, 1971; Gusby, et al., 1991; Noelle, et al., 1991; V itetta, et al., 1989; Katz, et al., 1973; Zinkernagle, 1976)。TCRおよびC D 4 の両者がM H C クラスIIの分子(I a)と相互作用するという事実 (Whalen, et al. , 1988)は、 Ia分子のライゲーションがヘルパーエフェクター機能のモデルになり得る ことを示唆している。加えて、 B 細胞上の I a 分子のライゲーションが B 細胞に信号を発 するという所見は、このモデルによって更に支持される(Pollok, et al., 1991; Bartl ett, et al., 1990; Martinez, et al., 1981)。ジャーカットD1.1はヘルパー機能 を有するがCD4゚ではないという事実は、CD4分子がヘルパー機能のエフェクター相 には必要とされないことを強力に示唆する。これとは対称的に、ジャーカットのCD4[・] クローンが後天的なヘルパー機能を有することは、CD4分子がCD4゚ジャーカット細 胞のヘルパーエフェクター機能を阻害し得ることを示唆する。ジャーカットD1.1がD C4分子を欠失していることと、その独特のヘルパー機能との間の関係を直接測定するた めに、異種プロモータによって駆動されるCD4・cDNA構築物の電気穿孔法によって 、D1.1の安定なCD4⁺形質導入体が創製された。

30

20

50

30

40

50

[0160]

最近、ネズミ系において、活性化されているが休止していないTリンパ球から誘導された膜プレパレーションが、B細胞の増殖を誘導するがIg分泌を誘導しないことが示された(Noelle, et al., 1991; Katz, et al., 1973; Brian, 1988)。これら研究のD1.1系に対する関係は現在は明らかでないが、D1.1細胞から単離された膜が、B細胞に対してCD23の発現、増殖および最終分化を誘導するか否かを決定することは興味深いことである。何れにしても、ジャーカットD1.1は、接触依存性ヘルパー機能の媒介において重要な表面分子の同定および特徴付けを行なうために有用であるらしい。

[0161]

接触依存性ヘルパー機能をもった機能的に独特なジャーカット白血病ライン(D1.1)が、D1.1に誘導されたB細胞の活性化を阻害するネズミ抗体(5c8と命名)を創製するために用いられた。抗体5c8は、D1.1表面の独特な蛋白種(ジスルフィド結合されておらず、SDS/PAGE上では30kDaの分子量で移動する)を認識した。正常なリンパ球においては、5c8・Agの発現は活性化後のT細胞サブセットに限定されていた。T細胞上における5c8・Agの該活性化に誘導された発現は、mRNAの転写よびノボタンパク (novo protein)合成を必要とした。該5c8・Agは活性化されたT細胞表面に一時的に発現されるが、この発現は6時間でピークに達し、24時間で消失する。正常T細胞表面での機能的研究において、mAb・5c8は、固定化された活性化T細胞のB細胞CD23の発現を誘導する能力を阻害した。加えて、mAb・5c8は、正常T細胞のB細胞分化を指令する能力を阻害した。総合すると、これらのデータは、5c8・Agが活性化CD4⁺T細胞(Tヘルパー機能の接触依存性因子を媒介することを示している。【0162】

5 c 8 · A g の組織分布、発現の速度論、誘導のための代謝要求性および生化学によって、5 c 8 · A g は、 T 細胞活性化によって誘導される他の公知の表面タンパクから区別される。第一に、他の公知の T 細胞活性化マーカーは全て、 C D 4 [†] で且つ C D 8 [†] の T 細胞によって発現されるのに対して、5 c 8 · A g は専ら C D 4 [†] T 細胞によって発現される。第二に、 T 細胞の活性化に続く5 c 8 · A g 発現の速度論は、他の T 細胞活性化分子とは異なっていた。5 c 8 · A g は活性化後 6 時間で最大に発現され、2 4 時間で消失するのに対し、 C D 25 (Doech, et al., 1980)、 I a (Rabin, et al., 1985) および C D 28の 32 kD形は、活性化後 1 8 時間以上誘導される。加えて、 C D 69は5 c 8 · A g よりも迅速に発現され、また(5 c 8 · A g とは異なって)2 4 時間以上持続する。第三に、5 c 8 · A g 発現の誘導はm R N A 転写およびタンパク合成に依存したが、 C D 69は依存しなかったので、5 c 8 · A g は、その誘導の代謝要求性によって C D 69から区別された。第四に、5 c 8 · A g は、その誘導の代謝要求性によって C D 69から区別されたのが、第四に、5 c 8 · A g は、その誘導の代謝要求性によって C D 69から区別されたのが、第四に、5 c 8 · A g は、その誘導の代謝要求性によって C D 69から区別されたのがので、 3 c 8 · A g は、その誘導の代謝要求性によって C D 69から区別されたのがので、 3 c 8 · A g は、その誘導の代謝要求性によって C D 69から区別されたのがので、 5 c 8 · A g は、その誘導の代謝要求性によって C D 69から区別されたのである C D 69は、 28/32 kDのジスルフィド結合されたへテロダイマーである (Bjorndahl, et al., 1988)。総合すると、これらのデータは、5 c 8 · A g が他の公知の T 細胞活性化分子とは異なっていることを示唆している。

[0163]

また、5 c 8 · A g は、その組織分布および生化学の幾つかの側面によって、T-B相互作用において役割を果たすことが知られている他のT細胞表面分子からも区別された。第一に、5 c 8 · A g はT細胞活性化によって誘導されたが、休止細胞出は発現されなかった。これに対して、B細胞表面リガンドと相互作用するCD4,CD2,CD5 ,CD28,LFA-1,ICAM-1,CD45RO及び6C2(Doyle, et al., 1987; Van de Velde, 1991; Tohma, et al., 1991; Sanders, et al., 1991; Linsley, et al., 1990; Stamenkovic, et al., 1991; Rothlein, et al., 1986; Tanimoto et al., 1991) は、休止T細胞表面に発現する(Rothlein, et al., 1986; Tanimoto et al., 1991; Sanchez Madrid, et al., 1982; Smith, et al., 1986; Yamada et al., 1985)。第二に、5 c 8 · A g は活性化Tリンパ球に特異的に発現され、B細胞、単球または細胞ラインのパネル(表1)には発現されないことによって、5 c 8 · A g は、B細胞または一

定の細胞ライン(例示せず)にも発現されるICAM-1,CD4,CD5,IFA-1,CD2および6C2分子から区別される。第三に、CD2,CD5,CD28,LFA-1,ICAM-1,CD45RO及び6C2は、CD4[†]T細胞と同様にCD8[†]にも発現される(Rothlein,et al.,1986; Tanimoto et al.,1991; Sanchez Madrid,et al.,1982; Smith,et al.,1986; Yamada et al.,1985)のに対して、5 c 8 ・Agの発現はCD4[†]T細胞に限定されていた。第四に、m A b ・5 c 8 で沈殿された30 kD タンパクは、これら他のタンパク(Rothlein,et al.,1986; Tanimoto et al.,1991; Sanch ez Madrid,et al.,1982; Smith,et al.,1986; Yamada et al.,1985)の何れとも似ていなかった)。最後に、m A b ・5 c 8 はジャーカットD1.1に媒介されるヘルパーエフェクター機能を阻害する能力によって同定されたから、5 c 8 ・Agはこれら他の分子とは異なっていた。

[0164]

m A b ・ 5 c 8 はジャーカット D 1 . 1 および固定された活性化 T リンパ球の接触依存性ヘルパー作用を阻害するから、 5 c 8 ・ A g は、 B 細胞表面のリガンド(または「カウンターレセプター」)と相互作用することによってプターとの相互作用は、 T ・ B 対に機能を媒介の力を提供すること、 B 細胞原形質への刺激信号を変換することまたはこれら機能・ A g の一時的な発現は、 非特異的な B 細胞活性化を制限するための分子的な解決を提供時のる。抗原特異的な B 細胞活性化を制限するための分子のな解決を提供時のる。抗原特異的な B 細胞活性化を制限するための分子のな解決を提供時の表現は、 5 c 8 ・ A g の抗原 / M H C に制限されない活性化機能を、 適切な B 細胞標的の発現は、 5 c 8 ・ A g の発現およいに活性化機能を、 適切な B 細胞標的の発現は、 5 c 8 ・ A g の発現およいに活性化機能を、 向皮細胞に 1 (Bevilacqua to 1 n 1987)と共通している。 5 c 8 ・ A g の発現が、 5 c 8 ・ A g の発現を生じた 細胞間相互作用を生じされた 1 1987)と共通している。 5 c 8 ・ A g 、 E L A M ・ 1 (Bevilacqua to 1 n 1987)と共通している。 5 c 8 ・ A g 、 E L A M ・ 1 、並びに可能性の表面分子によって共有され得ることを示し得るかも知れない。

[0165]

CD4分子は、ヘルパー機能をもったT細胞前駆体を包含するT細胞ポピュレーションを同定する(Reinherz、et al., 1979)。しかし、CD4 $^+$ サブセットは機能的に不均一であり、またヘルパー細胞に加えて、細胞毒性のサプレッサー細胞を含んでいる(Krensky、et al., 1982; Thomas, et al., 1981)。5 c8 · Agがヘルパー機能に含まれるという事実は、5 c8 · Agが、CD4発現よりも密接にヘルパー発現型と関連し得ることを示唆している。活性化CD4 $^+$ 細胞における5 c8発現の不均一な分布は、CD4 $^+$ T細胞の機能的サブセット類が、その5 c8発現レベルによって区別される得るかもしれないことを示唆する。例えば、ヘルパー活性または細胞毒性に関連して、5 c8 - CD4 $^+$ 細胞および5 c8 $^+$ CD4 $^+$ 細胞の機能的可能性を測定することは興味深いことであろう。

[0166]

T細胞ヘルパーエフェクター機能は、B細胞応答性(Krusemeier, et al., 1988; Hod gkin, et al., 1990; Noelle, et al., 1991; Kubota, et al., 1991)、アイソタイプスイッチングの調節(Tesch, et al., 1984)及び体細胞超突然変異(Weigert, et al., 1970)をもたらす複雑なプロセスである。多くの細胞 / 細胞相互作用によって、並びに種々のリンホカインを分泌することによって、T細胞がB細胞と相互作用するという事実は、個々の信号または信号の一定の組み合わせによって、B細胞分化の特定の側面が調節されるであろうことを示唆する。mAb・5c8がT細胞ヘルパー機能の接触依存性の側面を阻害するという事実によって、CD4 $^+$ T細胞が液性免疫反応を調節するプロセスを更に詳細に検討する手段が提供される。

[0167]

実験の第2シリーズ

ヒトリンパ瀘胞内でT-Bリンパ球の共働を媒介する分子的相互作用

40

30

10

20

20

30

40

50

Tヘルパー機能と称する過程では、CD4 $^+$ のTリンパ球は、体液での(抗体が媒介する)免疫反応を媒介する抗原特異的B細胞の分化を選択、誘発する(Mitchell, et al.; 1968; Mitchison, 1971; White, et al, 1978; Reinhertz, et al., 1979; Janeway, et al., 1988; Rehemtulla, et al., 1991; Grusby.et al.1991)。リンパ瀘胞内では生理学的なT-B反応が起こっているが、様々なインビトロ系において、Tヘルパーの信号の機構的解明が可能になっている。ヘルプの誘導相は抗体とMHCに限定されているが、エフェクター相は非特異的であり、リンホカインと接触依存性信号の両方に媒介されている(Martinez, et al., 1981; Anderson, et al., 1980; Clement, et al., 1984; Crow, et al., 1986; Brian, 1988; Hirohata, et al., 1988; Noelle, et al., 1989; Whalen, et al., 1988)。

[0168]

接触依存性信号の解明は、不活性な末梢B細胞を本質的に活性化する、機能的にユニークなジャーカットT細胞白血病細胞系D1.1のサブクローンが最近同定されたことにより進歩した(Yellin、1991)。D1.1クローンは、以前から、不活性なB細胞を誘発して表面のCD23分子を発現させ、B細胞を増殖させて、抗体産性細胞に分化させることがわかっている(Yellin、1991)。D1.1のB細胞活性化能力は細胞の表面に局在している。これはパラホルムアルデヒドで固定されたD1.1が、B細胞を活性化する能力を保持していたが、D1.1の上清は不活性だったからである(Yellin、1991)。これらのデータを一緒に考慮すると、D1.1は、接触依存性のヘルパー機能を媒介する活性化されたT細胞と表面構造を共有していることを示している。

[0169]

実験の第1シリーズでは、D1.1と特異的に反応してD1.1によるB細胞の機能的活性化を阻害するmAb(Lederman, et al., 1992)について、ハイブリドーマをスクリーニングすることにより、このような一つの構造(5c8・Agと称する)が同定された。mAb・5c8によって、活性化されたCD4+T細胞上に発現するが、CD8+T細胞、B細胞、単球には発現しない30キロダルトンの新規な表面構造が同定された(Lederman, et al., 1992)。PHA、PMAで刺激した後の、細胞表面での5c8抗原の発現の速度論は比較的ユニークであり、最大の発現は6時間後に起こるが、その後は下方調節されて24時間後にはまったく発現しなくなる(Lederman, et al., 1992)。機能的アッセイにおいて、mAb・5c8は、正常なCD4+T細胞のB細胞を抗体産生細胞に分化させる能力を阻害する(Lederman, et al., 1992)。以上のことを総合すると、これらのデータは、5c8抗原が、接触依存性ヘルパー機能を媒介するCD4+T細胞の表面構造の一つの構成部分であることを示している。従って、この5c8・Agを「T細胞・B細胞活性化分子(T-BAM)」と命名する。

[0170]

T-BAMはインビトロで接触依存性ヘルパー機能を誘起するT細胞分子の一つであるが、そのリガンド及びB細胞上の「カウンターレセプター」、即ち、インビボのリンパス組織内で接触依存性ヘルパー機能を媒介するのに他のT細胞分子とB細胞分子がどのような役割を果たしているかは殆どわかっていない。幾つかの興味深いB細胞の表面分子が、リンパ系組織内において接触依存性信号を受容する役割をしているだろうといわれている。CD40分子、CR2分子および接着分子がそれである。ヒトB細胞表面上のCD40分子は、リンパ節B細胞分化に関係する興味深い信号機能を持っている(Clark, et al., 1986; Clark, et al., 1987; Ledbetter, et al., 1986)。何故なら、抗CD40(mAb G28-5(Clark, et al., 1986))はプログラムされた胚中心B細胞の死(アポプトーシス)(Lim, et al., 1989)を阻害し、ヒトB細胞の増殖、分化および長期の成長を誘起することがわかっているからである(Banchereau, et al., 1991a; Banchereau, et al., 1991b)。CR2はB細胞の補助レセプターで、抗体による誘発の後にB細胞に細胞分裂誘起信号を送ることができ、またはEBウイルスの細胞表面レセプターとしての役割を果たす(Nemerow, et al., 1985; Carter, 1988)。最後に、接着レセプターLFA1、LFA3およびICAM-1は、多くの細胞の相互作用の中の接着

30

40

50

相互作用において役割を果たしていることが知られていて、これらの構造と反応するmAbは、T細胞依存性B細胞の過程を阻害する(Tohma, et al., 1991a; Tohma, et al., 1991b)。しかし、ヘルパー相互作用におけるこれら分子の正確な役割はまだはっきりしていない。

[0171]

この第2シリーズの実験では、これらの発見を3つの方向に拡大した。第一に、B細胞リンパ腫クローンRAMOS266(Seigel, et al., 1990)が、抗T-BAM(mAb・5c8)に阻害される仕方で、D1.1細胞の接触に応答するものとして同定された。第二に、T-BAMと共に接触依存性T-B活性化の媒介に関与するB細胞の表面構造(CD40)が同定された。第三に、T-BAMは、インビボでは主に、リンパ節の外套部と中心部(T細胞とCD40を発現するB細胞との相互作用が起こる解剖学的部位)において、T細胞によって発現されることがわかった。

[0172]

材料と方法

細胞系:ジャーカット・クローンD1.1とB2.7については既述されている(Yell in, et al., 1991; Lederman, et al., 1992)。RAMOS266、4CN・3F10(RAMOS266)クローン(Siegel, et al.1990)は、食品医薬品局(FDA)のセンター・フォー・バイオロジックス・エバリュエーション・アンド・リサーチ(Bethesda,MD)の Jay P. Siegel博士の好意により寄贈された。ヒトFcRgII(CD32)を発現しているL細胞は、Schering-Plough(Dardilly Cedex,France)のJacques Banchereau博士から贈られた(24)。また、マウスIaを発現しているL細胞は、コロンビア大学のNed Braunstein博士から贈られた。

[0173]

モノクローナル抗体:mAb・5c8(IgG2a)については記述されている(Lede rman, et al., 1992)。次のm A b は、アメリカン・タイプ・カルチャー・コレクション (Rocdville ,MD)から入手可能なハイブリドーマから作製された;OKT4(抗CD 4) 、 O K T 8 (抗 C D 8) 、 O K T 3 (抗 C D 3) 、 W 6 / 3 2 (抗 M H C クラス I ×)、THB-5(抗CR2(CD21))、TS1/22.1.13(抗LFAla(C D 1 1 a))、T S 1 / 1 8 . 1 . 2 . 1 1 . 4 (抗LFA 1 b (CD 1 8))、T S 2 / 9 . 1 . 4 . 3 (抗 L F A 3 (C D 5 8))。これらのm A b は、ハイブリドーマの上 清の飽和濃度もしくは腹水の希釈濃度で使用され、又はプロテイン A カラム(Biorad,Roc kville Center , N Y) 若しくはプロテイン G カラム (Pharmacia, Upsula, Sweden) で腹 水液から精製して使用された。抗LFA3(7A6)はバイオジーン社(Cambridge , M A)のVicki Sato博士から贈られた。抗CD23-PE、leu16(CD20)、le u M 5 (I g G 2 b・抗 C D 1 1 c) m A b は、ベクトン・ディクソン社 (Mountainview , C A) から購入した。 m A b ・ G 2 8 - 5 (1 9) は、ワシントン大学(シアトル, W A)のEdward A.Clark博士から贈られた。mAb・RR1/1.1.1(抗ICAM-1 (C D 5 4)) は、テキサス大学サウスウエスタン・メディカル・センター(ダラス, T X)の Peter Lipsky 博士から贈られた。抗CD40・m A b であるB-B20(IgG 1)は、バイオソース・インターナショナル社(Camarillo , C A) から購入した。 m A b・32.2(抗FcRgII(CD32))は、Medarex、West Lebanon、NH から購入 した。FITCでラベルした抗IgMは、Tago社(Burlingame,CA)から購入した 。 イソタイプに適合した関連のないコントロールmAb・UPC-10(IgG2a)と MOPC141(IgG2b)は、シグマ社(セントルイス,MO)から購入した。抗I L-4と抗GM-CSFは、Genzyme 社(ケンブリッジ,MA)から購入した。

[0174]

細胞蛍光グラフィック分析;略 1 0 5 の細胞を、飽和濃度の指示されたm A b と共に、 8 0 m g / m L の熱凝集ヒトIg G (インターナショナル・エンザイム社,Falbrook, C A)の存在下において、 4 で 4 5 分間培養した。蛍光物質と結合した F (a b) $_2$ ヤギ抗マウス免疫グロブリン二次抗体(Cappel, Cochranville , P A)と共にインキュベー

30

40

50

トする前に、結合しなかったmAbを除去するために細胞を洗浄した。 2色分析のために、指示した直接結合FITCまたはフィコエリトリン(PE)結合mAbと細胞とを、4で45分間、凝集したヒトIgG存在下で反応させた。分析に先だって細胞を洗浄し、PBSに再懸濁した。蛍光強度は、FACSCAN細胞蛍光グラフ(ベクトン・ディッキンソン社、Mountainview,CA)で測定した。B細胞とジャーカットクローンとの共培養を伴う実験において、ジャーカット細胞は、前方および側方の低い光散乱をもつ細胞の異なったポピュレーション上にゲートを設けることによって、B細胞の蛍光分析から除去された。

[0175]

リンホカイン: r I L - 4 はRobert Coffman博士から贈られ、DNAXとr I L - 2 はホフマン・ラ・ロッシュ社から得た。

[0176]

細胞群の単離:抹消血液リンパ球は、健康なボランティアから採った新鮮な血液から、ficoll-hypaque(シグマ社、セントルイス,MO)上の遠心分離によって得た。脾臓B細胞も同様に、臓器提供者の新鮮なバイオプシー標本(コロンビア大学外科の Mark Barr博士から提供された)から得た。扁桃腺B細胞は、扁桃削除術後の新鮮な手術標本(コロンビア大学ENT課の Joseph Hadad 博士から提供された)から得た。リンパ系組織B細胞は、細かく砕いた組織標本をメタルスクリーンを通し、続いて ficoll-hypaque 遠心分離をすることによって得た。

[0177]

T細胞は、ノイラミニダーゼ処理したヒツジ赤血球とで陽性が選択された。B細胞は、 ノイラミニダーゼ処理したヒツジ赤血球で2回ローゼッティング(rosetting)した後に、f icoll-hypaqueで沈殿しなかった細胞群から得た。

[0178]

B細胞は密度遠心法によってさらに精製された。E-細胞は一晩ポリスチレンフラスコのなかで培養され(37 、5% CO2)、接着によってマクロファージが除去された。これらの非T細胞、非マクロファージは、2300rpmでの12分間の遠心分離により、30%/50%/100%パーコール(percoll)非連続勾配中の、高密度フラクションおよび低密度フラクションに分別された。高密度細胞は50%と100%の界面から得られ、低密度細胞は30%と50%の界面から得られた(Crow, et al., 1985)。抹消血液からの高密度(休止)細胞は、典型的には60-90%がCD20 $^+$ であり、55-90%がIgM $^+$ 、CD3 $^+$ が5%未満、CD23 $^+$ が5%未満(バックグラウンド)であった。扁桃腺と脾臓からの高密度B細胞は、95%以上がCD20 $^+$ であった。

[0179]

L 細胞の培養実験:ヒトFcRgII(CD32)またはマウスIaを表示しているL細胞が、12ウェルプレート(Costar, Cambridge,MA)内のDMEM・10%FCS中において、集密になるまで増殖された。この単層を培地で一回洗浄し、2×10 6 のB細胞を含む1mLのIMDM・10%FCSをこの単層に加え、対でコントロール培地、或いは2mgのG28-5・mAb、B-B20・mAb若しくはコントロールmAbを加えた。18時間の培養後、温和に撹拌しながらピペットでB細胞を回収し、一度洗浄して、上記のようにしてFACSでCD23の発現を分析した。

[0180]

B 細胞の活性化と分化のアッセイ: B 細胞表面の C D 2 3 発現の誘起を測定する実験では、 $1-2\times10^5$ の高密度 B 細胞か又は R A M O S ・ 2 6 6 細胞が、 2 0 0 mL I M D M ・ 1 0 % F C S 中の同数のジャーカット細胞(丸底マイクロタイターウェル(N u n c)内)に添加され、 1 8 - 2 4 時間後に C D 2 3 の発現が分析された。

[0181]

ヒト組織標本:バイオプシー標本を通常の診断過程か検死で集め、すぐ研究室に運んだ。それぞれの組織標本の代表的な一部を、最適切断温度(OCT compound, Miles, Elkhart, ID)でイソペンタンとドライアイス混合物の中の丸いコルクのディスク上で急速冷凍し 、 - 70 で種々の期間保存した。夫々の標本の代表部分をホルマリン緩衝液、 B 5 またはブーアン液中で常法により固定し、パラフィンに埋め込み、ヘマトキシリン及びエオシン(H & E)染色された切片を調製した。

[0182]

多数の良性の組織検体の代表的な一部は、任意の患者から日常の治療の間に集められ、免疫組織化学的にmAb・5c8の結合が検査された。これら検体には以下のものが含まれる:食道2、胃2、小腸3、結腸6、膵臓2、肝臓3、腎臓3、子宮3、卵巣2、精巣2、前立腺1、肺4、心臓2、皮膚3、胸2、脳2、扁桃腺14、胸腺7、リンパ節4、脾臓10、虫垂5。

[0183]

免疫組織化学的染色:一連の4ミクロンの冷凍切片が、低温保存した組織ブロックから 切り出され、以前に詳細に記述されたようにして(Inghirami, et al., 1990)、固定、 染色された。概略を説明すれば次の通りである。切片を、適切に滴定されたmAbと共に 、またF(ab′)2 ヤギ抗マウスIgG(Fcガンマ特異的、1:200 , Organon Tek nika, Malvern, P A) 及 び ア ル カ リ 性 ホ ス フ ァ タ ー ゼ ・ 抗 ア ル カ リ ホ ス フ ァ タ ー ゼ 複 合 体 (APAAP,Dako,Santa Barbara, C A)と共に連続的に培養した。次いで、基質として New Fuschin及びB-ナフトール-AS-ビホスフェートで現像した。或いは、一次mAb又 はイソタイプ適合性の非関連 m A b の何れかと共に切片をインキュベートし、 3 回洗浄し 、ビオチニル化されたウマ・抗マウスIgG(Vector,San Diego,CA)と共にインキュ ベートした。パーオキシダーゼを結合したアビジン・ビオチン複合体を適用し、ジアミノ ベンチジン(DAB)で現像し、場合によっては塩化ニッケルで増幅した。クライオスタ ット組織切片に対し、先に既述されたようにして (Inghirami, et al., 1991) 、二色免 疫組織化学的染色もまた実施された。簡単に説明すると、先ず、ABC技術(Vecto r)を用いて、切片を一つのmAb(mAb・5c8、又はイソタイプ適合性の非関連m Ab(UPC-10、IgG2a)で染色し、DABで現像した。次いで、切片をmAb(Leu M5, CD11c)か、又はイソタイプ適合性の非関連mAbと共にインキュベートし、3回洗 浄し、APAAP複合体と共にインキュベートした後、前述したようにして現像した。

[0184]

結 果

D 1 . 1 による誘発に反応する B リンパ腫細胞系の同定:

我々は以前、5 c 8 · A g (T - B A M) が、活性化した C D 4 + T 細胞の表面上のタンパクであり、接触依存性ヘルパー機能に関与していることを示した(Lederman, et al., 1992)。この過程をより詳細に調べるために、T - B A M や他の分子の役割の分子分析を可能とする、均質なクローン化されたリンパ腫細胞系の同定を研究した。この目的のために、我々は T - B A M 発現リンパ腫細胞系 D 1 . 1 を利用して、C D 2 3 の上方調節により D 1 . 1 接触に反応する B 細胞リンパ腫を同定した。候補細胞系は R A M O S · 2 6 6 クローンであり、これは C D 2 3 をあまり発現しないが、 I L - 4 に誘起されると多く発現する (Siegel, et al., 1990)。

[0185]

RAMOS・266が、D1.1細胞に媒介された接触に反応するかどうかを知るために、RAMOS・266細胞をD1.1細胞と共にインキュベートして、RAMOS・266の細胞表面に発現したCD23を2色FACS分析によって測定した(図12)。これらの実験において、陽性コントロールとして末梢B細胞をD1.1と共にインキュベートしたが、これは、B細胞がD1.1接触に反応して表面のCD23を増加することが知られているからである(図12)。陰性コントロールとして、RAMOS・266又は末梢B細胞を、T-BAMを発現せずB細胞を活性化しないジャーカットのB2.7クローンと共にインキュベート(Lederman, et al., 1992)。予想どおり、18時間のインキュベーション後に、ジャーカットD1.1は末梢B細胞に表面CD23分子の発現を誘起したが、ジャーカットB2.7は誘起しなかった(図12)。重要なことに、末梢B細胞に対するこの効果と同じように、D1.1細胞はRAMOS・266に対して、18時間の

10

20

30

50

20

30

40

50

共培養の後にCD23の発現を誘起したが、B2.7は誘起しなかった(図12)。RAMOS・266と末梢B細胞との明白な反応の違いは、RAMOS・266は全てのポピュレーションがCD23を均質なピークに上方調節したが、末梢B細胞は典型的に、明瞭に反応した細胞ポピュレーション(80%がCD23を発現した)と、全く反応しなかった。この相違のために、RAMOS・266の反応を、CD23発現の単一のピークをもった中間の蛍光強度(MFI)として定量し、また末梢B細胞の反応を、反応細胞の比一をもったで定量することが必要となった(図12)。異なる量のD1.1細胞を一定量のRAMOS・266またはB細胞に加えた分量反応実験(dose response experiments)によって、これらの方法が正しいことがわかる。何故なら、D1.1細胞の数が減少すると、RAMOS・266のMFIも減少し(示していない)、CD23+B細胞の割合も減少するからである(Yellin、et al.、1991)。これらのデータは、RAMOS・266が末梢B細胞の反応と同じ様に、D1.1との共培養に反応することを示している。

[0186]

RAMOSに対するD1.1の効果がT-BAM依存性であるかを調べるために、D1.1に媒介性された活性化に対する抗T-BAM・mAb・5c8の効果を研究した。これらの実験では、mAb・5c8またはイソタイプのコントロールmAbを、D1.1が入っているRAMOS・266または末梢B細胞の培養倍に加えた(図12)。末梢B細胞のD1.1による活性化を阻害するmAb・5c8の公知の効果と同様に、mAb・5c8は、RAMOS・266のD1.1による活性化を阻害する(図12)。対照的に、イソタイプのコントロールmAbは、D1.1の効果を阻害しなかった。以上を総合すると、これらのデータは、Bリンパ腫細胞系(RAMOS・266)が、D1.1で活性化された後にCD23を発現する細胞機構を有しており、またD1.1とRAMOS・266との相互作用がmAb・5c8によって阻害されることを示している。これらのデータは更に、D1.1とRAMOS・266との相互作用がmAb・5c8に詳しく調べるための有力なモデル系になり得ることを示している。

[0187]

この研究における我々の最終的な興味は、リンパ系B細胞の分化におけるT-BAMの役割を定義することであったので、次に、リンパ系器官から単離したB細胞に対するD1.1の効果を研究した。従って、前述したのと同じような実験において、mAb・5c8及びコントロール抗体の存在下および非存在下で、リンパ系器官から単離したB細胞をD1.1と共に培養した。末梢B細胞およびリンパ腫クローン(RAMOS・266)に対するD1.1の効果と同様に、扁桃腺由来のB細胞(図13)も脾臓由来のB細胞(示していない)も、D1.1細胞によって活性化されてCD23分子を発現することが分かった。さらに、D1.1細胞のリンパ腫B細胞に対する効果は、mAb・5c8によってに阻害されるが、コントロールmAbによっては阻害されない(図13)。これらのデータは、D1.1細胞とRAMOS・266の分子的相互作用が、リンパ系器官内のT細胞とB細胞の相互作用に類似していることを示している。

[0188]

B細胞に対するD1.1の増強効果は、分泌因子とは関係ないことが以前に示された。D1.1細胞がどのようにしてRAMOS・266を活性化するのかを調べるために、次の一連の実験では、リンホカインの放出(特にIL-4の役割)に関連した、RAMOSに対するD1.1の効果を研究した。これらの実験において、RAMOS・266はD1.1の上清液、D1.1細胞、rIL-2またはIL-4のいずれかと共に培養され、18時間後に表面CD23の発現のレベルをFACSで測定した。図14aに示したように、D1.1細胞またはIL-4は、RAMOS・266と末梢B細胞上にCD23を誘起した。対照的に、D1.1上清液またはrIL-2は効果がなかった(図14a)。更に、rIL-4の効果は抗IL-4によって阻害されたが、D1.1の効果は阻害されなかった(図14a)。最後に、mAb・5c8は、rIL-4の効果を阻害しなかった(図

20

30

40

50

1 4 a)。以上を総合すると、これらのデータによって、 D 1 . 1 の R A M O S ・ 2 6 6 に対する効果はリンホカインの放出と関係ないことが示唆され、 D 1 . 1 は活性 I L - 4 を分泌しないという以前の見解が確認された(図 1 4 a)。

[0189]

T-BAMの誘発に関連するB細胞の表面分子の同定:

接触依存性T-B相互作用に役割を果しているB細胞表面分子を同定するために、D1 . 1-RAMOS・266系を活用した。我々は、特徴のあるB細胞表面分子のうちで、 CD40、CR2および接着受容体が接触依存性信号に役割を果たしている候補物質であ ると考えた。その理由は、これらがB細胞活性化(特に接触依存性相互作用)において役 割を果していることが知られているからである(Banchereau, et al., 1991a; Nemerow, et al., 1985; Carter, et al., 1988; Tohma, et al., 1991a; Tohma, et al., 1991b; Emilie, et al., 1988; Sen, et al., 1992)。それゆえ、我々は、D1.1に媒介され た R A M O S ・ 2 6 6 お よ び 末 梢 B 細 胞 の 活 性 化 に 対 す る 、 こ れ ら の B 細 胞 分 子 に 向 け ら れたmAbの効果について研究した。これらの実験において、D1.1細胞は、B細胞表 面分子と反応するmAbの存在下において、RAMOS・266または末梢B細胞と共に 培養され、18時間後にRAMOS・266またはB細胞のCD23の発現を測定した。 これらの実験における陽性コントロースとして、mAb・5c8が用いられた(図12) 。重要なことに、抗 C D 4 O ・m A b である G 2 8 - 5 (Clark, et al., 1986) は、 D 1 . 1 に媒介される R A M O S ・ 2 6 6 または B 細胞の活性化を阻害した(図 1 2 、 1 4 b)が、CR2、LFA-1、LFA-3およびICAM-1に対するmAbはほとんど 効果がなかった(図12、14b)。G28-5(IgG1)に加えて、抗CD40・m A b である B - B 2 0 (I g G 1)もまた、 D 1 . 1 効果を阻害した(図 1 5)。 これら の実験では、B細胞およびRAMOS・266の両方の表面と反応する抗LFA1a・m A b であるTS1/22(IgG1)を、イソタイプ適合性の陰性コントロールとして使 用 し た (図 1 4 b , 1 5) 。 同 様 の 実 験 に お い て 、 我 々 は 、 抗 C D 4 0 が リ ン パ 系 器 官 か ら 単離 した B 細胞 に対する D 1 . 1 の効果を阻害することを発見した(図 1 3)。 以上を 総合すると、これらのデータは、D1.1に媒介されるB細胞CD23の上方調節を阻害 するという点において、抗CD40・mAbが調査した抗B細胞抗体のうちで特にユニー クであることを示している。

[0190]

抗CD40・mAbは、rIL-4に誘起されたB細胞のCD23発現を増大することが知られている(Clark、et al.1989)ので、抗CD40・mAbがCD23の発現を阻害するというのは幾分驚きである。従って、この結果を再び検討することによって、G28-5がD1.1に誘起されるCD23の発現を阻害する効果をもつのとは対照的に、G28-5は、rIL-4に誘起されるB細胞およびRAMOS・266の指示クローンの両方に対して、CD23の上方調節を強化することが分かった(図14a)。以上のデータを総合すると、抗CD40・mAbはB細胞に対するD1.1の効果を阻害するが、これらのmAbのB細胞に対する効果は、活性化の全般的な阻害ではないことが示される。何故なら、抗CD40はrIL-4効果を増大するからである。

[0191]

抗 C D 4 0 が如何にして接触介助相互作用を阻害し、他の B 細胞活性化信号を増大するかは、現在のところ分かっていない。一つの可能性は、 D 1 . 1 が C D 4 0 と相互作用する表面分子を発現することである。我々は、 D 1 . 1 の表面分子が C D 4 0 と相互作用して B 細胞を刺激するならば、多量体の立体配置 (multimeric configuration)の抗 C D 4 0 抗体は D 1 . 1 の効果に似ているだろうし、また B 細胞の C D 2 3 を上方調節するだろうと推測した。従って、 F c g R I I を発現している L 細胞の存在下において、 R A M O S ・ 2 6 6 と B 細胞 C D 2 3 に対する G 2 8 ・ 5 の効果を研究した。なお、 F c g R I I 発現 L 細胞は、末梢 B 細胞の増殖を誘起する立体配置になっている(Banchereau,et al.,1991a)。従って我々は、 B 細胞を、 G 2 8 ・ 5 、 B ・ B 2 0 またはコントロール m A b の存在下において、 F c g R I I 発現 L 細胞またはコントロール L 細胞と共に培養し、 1

30

40

50

8時間後にB細胞のCD23発現を調べた。多価の抗CD40は、扁桃腺および脾臓のB細胞(図16b)と同様に、末梢B細胞およびRAMOS(図16a)のCD23発現を誘起したが、単価のものは誘起しなかった。以上を総合すると、これらのデータは、多量体の抗CD40・mAbがB細胞を活性化してCD23を発現することを示している。また、D1.1系における抗CD40・mAbの阻害効果は、単価の抗CD40・mAbが、D1.1の表面の架橋リガンドとCD40分子との相互作用を阻害した結果であろうことを示唆する。

[0192]

T - B 相 互 作 用 に 含 ま れ る リ ン パ 系 組 織 の 領 域 に お け る 、 T - B A M の 発 現 :

CD4+T細胞は、卵胞や胚中心と呼ばれるリンパ系組織内において、一時的に抗原が誘起された構造でヘルパー機能を媒介するので、リンパ瀘胞内でT細胞上にT-BAMが発現しているかを調べるために、T-BAMの組織分布が免疫組織化学によって研究された。正常なヒト組織から調製された凍結組織切片をアセトンで固定し、mAb・5c8および種々のコントロールmAbを用いて免疫組織化学的に染色した。T-BAMの発現は、リンパ組織内の比較的小さい単核細胞に限定されており(図16)、筋肉、脳、腎臓、腸、卵巣、子宮、睾丸、皮膚、肺、または肝臓を含む他の組織には見られなかった(材料と方法の項を参照のこと)。

[0193]

リンパ系組織におけるT-BAMをもった細胞の正確な位置を知るために、扁桃腺、リンパ節、GI関連リンパ系組織、脾臓および胸腺を分析した。T-BAM発現細胞は、全ての末梢リンパ組織の二次瀘胞の外套ゾーンと胚中心明領域に優先的に局在化しており、その局在パターンはこれらの部位におけるCD4+Tリンパ球の分布と非常に類似している(図17)。扁桃腺においては、mAb・5c8及び抗CD4または抗CD8の何れかを用いた2色免疫組織化学分析によって、T-BAM発現がCD3+CD4+Tリンパ球に限られおり、CD8+T細胞には見られないことが示された(図示せず)。更に、二重染色によって、二次瀘胞内のCD4+Tリンパ球の大部分(50%以上)はT-BAMを発現していることが示唆された。

[0194]

インビトロのデータは、T-BAMおよびCD40の両方が接触依存性相互作用に関係していることを示しているので、我々は、T-BAMとCD40発現細胞とのインビボCD40・mAbを用いることにより、B細胞と瀘胞樹状細胞がCD40を強く発現するとの公知の所見が確認された(Clark.,et al., 1986;Hart, et al., 1988)(データは省、T-BAM発現T細胞と変わった(B組胞に囲まれているので、我々は、T-BAM発現T細胞と変わった(B組胞に囲まれているので、我々は、T-BAM発現T細胞との関係を測定することができなかった(B組胞でするために、mAb・5c8および瀘胞樹状細胞を樹状細胞との関係を正確に決定するために、mAb・5c8および瀘胞樹状細胞を認識することが知られている。とにより、T-BAM細胞は屋々、瀘胞樹状細胞および/またはその細胞質突起の近に存在するか、またはこれらに直接接していることが示された。これは多分、T-BAM発現T細胞はCD40+B細胞との相互作用に加えて、CD40を発現している瀘胞樹状細胞と相互作用しているであろうことを示している(データは省略する)。

[0195]

T-BAM発現細胞が瀘胞内において明瞭に局在していたことに加えて、比較的少ない(1%未満)T-BAM発現細胞が、末梢リンパ組織の瀘胞間領域、脾臓のT細胞部位および正常な胸腺皮質においても同定され得た。胸腺においては、CD4発現細胞が多く存在するのに、T-BAM発現T細胞がほとんど無いことは興味深い。以上を総合すると、インビトロの機能的データ、並びにT-BAM保有細胞がT-B相互作用に関連した生理学的な解剖学的部位に局在することは、T-BAMがインビボでのT細胞補助において重要であるという考えを強く支持している。

30

40

50

[0196]

考察

特 異 的 な 抗 体 反 応 を も た ら す T 細 胞 と B 細 胞 と の 間 の 相 互 作 用 は 、 T へ ル パ ー 機 能 の エ フ ェ ク タ ー 相 に お け る 重 要 な 接 触 依 存 性 相 互 作 用 を 含 ん で い る 。 最 近 に な っ て 、 C D 4 + T 細 胞 に 限 定 さ れ た 表 面 活 性 化 タン パ ク 質 、 即 ち T - B A M は B 細 胞 へ の 接 触 依 存 性 ヘル パー信号の構成物であることが示された(Lederman, et al., 1992)。 T - B 接触依存性 信号を媒介する分子的相互作用は、T-BAM発現細胞系(D1.1)およびT-BAM に媒介されるB細胞活性化を阻害する抗T-BAM・mAb(5c8)を用いることによ って、更に研究された(Lederman, et al, 1992)。この第二シリーズの実験においては 次のことが示された。即ち、1)末梢血液からのB細胞に加えて、リンパ系のB細胞およ び B リンパ 腫 ク ロ ー ン (R A M O S ・ 2 6 6)が、 抗 T - B A M (m A b ・ 5 c 8)に 阻 害されるような態様で、D1.1細胞接触に対して反応すること;2)CD40は、T-BAMと共に、接触依存性T-B活性化の媒介に関係しているB細胞の表面構造であるこ と;3)T-BAMは、主に、インビボのリンパ節の外套と細胞質の中心部分(これらは T 細 胞 が C D 4 0 発 現 B 細 胞 と 相 互 作 用 す る 解 剖 学 的 な 部 位 で あ る) に 多 く 存 在 す る T 細 胞によって発現されることである。これらデータによって、T-BAMは、リンパ節B細 胞 の 分 化 の 過 程 で T 細 胞 か ら B 細 胞 に 送 ら れ る 関 連 信 号 で あ り 得 る と の 考 え を 強 く 支 持 し ている。

[0197]

更に、T-BAMリガンドを発現していると思われるRAMOS・266が入手可能であることは、接触依存性ヘルパー信号に役割を果たしている他のB細胞表面構造の抗体、並びにT依存性B細胞分化を媒介する分子メッセンジャーを生化学的に特徴づける抗体を、作製およびスクリーニングする際に有用であろう。

[0198]

この研究においては、D1.1-RAMOS・266系を使用することにより、接触依 存性の補助におけるB細胞表面分子の役割が分析された。我々は、抗CD40・mAbで ある G 2 8 - 5 および B - 2 0 が、 何れも末梢血液とリンパ系器官から得られた R A M O S ・ 2 6 6 および B 細胞に対する D 1 . 1 細胞の効果を阻害するのことを観察した。対照 的に、CR2、LFA1、LFA3、ICAM - 1に対するmAbは、B細胞に対するD 1.1の効果を阻害しなかった。これらのデータは、T-B細胞接触と同時に起こり且つ これと強く関連しているT細胞信号の受容における、CD40の正確な役割を示している 。しかしながら、我々の系は、T-B相互作用における、LFA1及びICAM-1の正 しい役割を示していない。mAb・抗ICAM-1(RR1/1.1.1.)は、D1. 1が媒介するRAMOS・266またはB細胞の活性化を阻害しないが、このmAbは、 活性T細胞を固定することによって部分的に接触依存性B細胞増殖を阻害することが知ら れている(Tohma, et al., 1991a)。我々が述べてきたT-BAM、並びにCD40依存 性相互作用は、その後に引き続いて起こるLFA1-ICAM相互作用に依存した相互作 用を誘起し得ると推測したい。何故なら、抗CD40が引き金となって、LFA1-IC A M - 1 の相互作用に依存したT - B 接着が刺激されることが知られているからである(Barett, et al., 1991).

[0 1 9 9]

D1.1の引き金に対する抗CD40・mAbの阻害効果は、それらがrIL-4に誘起されるCD23の発現を強める効果を有することとは対照的である。これらのデータは、抗CD40mAbによるD1.1効果の阻害が、B細胞の反応の一般的な阻害の結果ではないことを示している。加えて、抗CD40・mAbであるG28.5およびB-B20は、FcrgII+のL細胞の表面上にクロスリンクした形で存在しているときに、RAMOS・266並びに末梢およびリンパ節B細胞上のCD23発現を誘起した。以上を総合すると、これらの研究は、多価の抗CD40がD1.1細胞の効果と同じ効果を有し得ることを示しており、またCD40のリガンドはD1.1の表面構造であり得るとの考えと一致している。

30

40

50

[0200]

D1.1系におけるmAb・5c8と抗CD40・mAbの阻害効果は、インビボのリンパ節の中で、T細胞が送るB細胞の接触依存性信号に、T-BAMとCD40の両方が、役割を果たしていることを示唆している。生理学的なT-B相互作用におけるT-BAMの役割を調べるために、インビボでのT-BAMの発現を免疫組織化学的に研究した。リンパ系組織の中で、T-BAM発現は、CD4+Tリンパ球に限られていた。これらのデータは、インビトロと同様にインビボでも、T-BAM発現がCD4+T細胞に限定されており、CD8+T細胞には発現しないことを示している。以上を総合すると、これらのデータは、CD4+T細胞ポピュレーション及びCD8+T細胞ポピュレーションが、CD4及びCD8の発現だけでなく、少なくとも一つの別の分子(T-BAM)の発現に関しても異なっている別個のT細胞系であることを示唆している。また、CD4+細胞のT-BAM発現がCD4+細胞に限定されていることは、ヘルパー機能がCD4+細胞に限定されることの分子根拠であることを示唆している。

[0 2 0 1]

T-BAMは、CD4+T細胞に限定されていることに加えて、インビボのリンパ系器官において、その発現がT細胞に限られている点で、今までにわかっているヒト表面T細胞活性化分子の中でも独特であると思われる。ラットにおいては、インビトロでの活性化の後に、OX-40という分子量50キロダルトンのタンパク質だけがCD4+T細胞によって発現されるが、報告された脾臓内でのOX-40の発現様式(Paterson, et al., 1987)は、我々が観察した外套と細胞中心部分でのT-BAMの発現とは異なっているように思える。しかし、これらの分子の関係(もし存在するとすれば)を理解するには、両者の種において、これらの構造の関連した相同性を同定することが必要になるだろう。以上を総合すると、インビトロの機能的データおよび免疫組織化学的分析は、T-BAM発現CD4+T細胞が、リンパ節の胚中心で生じていることが分かっているヘルパー機能に関係していることを示唆している。

[0202]

この研究によって提供された新しいデータは、T細胞がリンパ瀘胞B細胞分化の過程で 果たしている役割を解明するための助けとなるだろう(Liu, et al., 1992; Nossal, 199 2 で再検討されている)。リンパ瀘胞において、抗原に刺激されたBリンパ球は、胚中心 のセントロブラスティック(暗)ゾーン (centroblastic (dark)zone)内で急激な細胞増 殖 と 体 細 胞 分 裂 を お こ す 。 そ の 後 、 セ ン ト ロ ブ ラ ス テ ィ ッ ク B 細 胞 は 、 セ ン ト ロ サ イ テ ィ ック(明)ゾーンに入る。ここで、B細胞は、その抗原レセプターの親和性に基づいて、 生きるべきか死ぬべき(アポプトーシス)かをT細胞によって選択される。次いで、肯定 的に選択されたB細胞はT細胞に指令されて、記憶B細胞か又は抗体産生プラズマ細胞に 分化される。抗体産生プラズマ細胞は、ある場合には更に、機能的に異なる免疫グロブリ ンのイソタイプを作るために遺伝子を再配列される。従って、B細胞の分化を指示する信 号は完全には分からないが、リンパ節でのB細胞の分化において、T細胞は少なくとも3 つの異なる決定に関与すると思われる。その3つとは、生きるか死ぬか;記憶系かプラズ マ細胞系;および抗体のイソタイプの選択である。セントロサイティックゾーン内のT細 胞がT-BAMを発現するとの観察は、一定のこれら決定に関して、B細胞の運命の決定 においてT-BAMが役割を果たし得ることを示唆している。今後の研究は、リンパ節 B 細 胞 分 化 に お け る こ れ ら T 細 胞 依 存 性 の 過 程 に お い て 、 T - B A M が 果 た す 具 体 的 な 役 割 に向けられるであろう。

[0 2 0 3]

抗 C D 4 0 m A b が、 D 1 . 1 細胞との T 細胞接触に媒介された周到な相互作用を阻害するという結果によって、同様な C D 4 0 依存性の相互作用が、既に報告されているもっと複雑な生理学的反応に対する抗 C D 4 0 の幾つかの効果の基礎であり得ることが示唆される。抗 C D 4 0 (G 2 8 - 5) は、培養された胚中心 B 細胞のプログラムされた細胞死(アポップトーシス)を強力に阻害する (Liu, et al., 1989)。更に、 G 2 8 - 5 は、溶解性の r C D 2 3 及び I L - 1 a によってインビトロで誘起される、形質芽球およびス

イッチされた胚中心 B 細胞の生成を阻害する (Liu, et al., 1991)。これらCD40に依存した現象におけるT細胞接触の役割は、現在のところわかっていないが、ここに提示したデータは、CD40がT-B接触相互作用において特殊な役割を果たしており、またCD40リガンドを同定する手段およびCD40の信号機能をより正確に定義する手段を提供することを示している。

[0204]

これらの研究によって、T-Bの相互反応におけるT-BAMのT細胞に対する重要な役割、およびCD40のB細胞に対する重要な役割が同定されたから、これら分子の可能な関係について探求することが適切である。我々はこのデータを説明できる2つのモデルを提案する。T-BAMが直接CD40と反応するという仮定は、全てのデータを説明する最も簡単なモデルである(図7、モデル#1)。しかしながら、T-BAMとCD40との相互作用を示すはっきりした生化学的結合のデータがないので、T-BAMおよびCD40が異なるリガンドと相互作用するという、他の可能性に目を向けることが大切である(図7、モデル#2)。もし、T-BAMおよびCD40が異なるリガンドと相互作用するとしたら、上記の機能的データは、CD40-X相互作用およびT-BAM-Y相互作用の両方がB細胞CD23誘起のために必要であるが、これで十分ではないことを示唆する。

[0205]

T-BAMの"カウンターレセプター"(" X ")とCD40のカウンターレセプター(" Y ")とは夫々、B細胞とT細胞の表面分子であるらしいが(図7、モデル#2.a)が、我々のデータによれば、CD40はB細胞が分泌(自己分泌)する因子のレセプターである可能性を除外できない(図7、モデル2b)。CD40は、以前はサイトカインレセプターであると考えられたが、NGFレセプター(Stamenkovic, et al., 1989; Clark, 1990)との構造的同質性に基づけば、これがヘルパー機能に関与するT細胞表面タンパクのカウンターレセプターであるとの可能性は、FcRgII+のL細胞にクロスリンクした抗CD40・mAbと、D1.1細胞の表面を活性化する性質とがよく似ているという事実と合致する。

[0206]

B細胞に加えて、瀘胞樹状細胞がCD40を発現しており、我々は、瀘胞樹状細胞ときわめて接近し且つ恐らくこれと関係していると思われる、T-BAM発現T細胞を発見した。T細胞とCD40との相互作用は、T細胞の瀘胞樹状細胞との機能的な相互作用において重要かもしれない。なお、瀘胞樹状細胞はリンパ節での抗原のプロセッシングに役割を果たしていることが知られている(Gray, et al., 1988; Askonas, et al., 1972; Gray, et al., 1991)。更に、CD4+T細胞とCD40+瀘胞樹状細胞との相互作用は、AIDSにおける特別な病原性の重要性を有しているかもしれない。AIDSにおいて、瀘胞樹状細胞はHIVの貯蔵場所となっている(Spiegel, et al., 1992)。

[0207]

もし、モデル#2が正しくて、T-BAMがCD40以外のリガンドと相互作用するならば、T-BAMはCD40を発現しない細胞に対して信号を与える役割を果たしているであろう。この点に関して、CD4+のT細胞は他のT細胞(CD4+及びCD8+)と相互作用し、細胞毒性の誘導(Bennick, et al., 1978; Ashman, et al., 1979; Kast, et al., 1986; Zinkernagle, et al., 1978; Leist, et al., 1989)、並びに抑制(Thomas, et al., 1980; Thomas, et al., 1982)を媒介する。更に、CD4+T細胞はマクロファージと相互作用して、活性化信号を媒介する(Zimecki, et al., 1988; Zimecki et al., 1989; Weaer, et al., 1989; Wasik, et al., 1988; Fau, et al., 1990; Fau, et al., 1988)。将来の研究の重要なゴールは、T-BAMが他の細胞の活性化に関係しているか否か、或いは他の、おそらく関連のある分子がそういった役割を果たすか否かを決定することである。

[0208]

実験の第3シリーズ

50

40

10

20

20

30

40

50

<u>モノクローナル抗体 5 c 8 の前臨床実験; T - B A M に対して向けられたネズミモノク</u>ローナル抗体

実験の全体の目的は、炎症および腫瘍疾患の診断と治療に於ける新規モノクローナル抗体(m A b)の有用性を評価することである。これらの実験の中心は、最近産生され特徴付けられた 5 c 8 と呼ばれるネズミ m A b で、活性化されたヒトCD4+Tヘルパーリンパ球細胞上に存在する新規表面タンパク(T-BAM)を認識する。

[0 2 0 9]

重要なことに、 m A b 5 c 8 は C D 4 + T 細胞のエフェクター機能を阻止し、それは B 細胞が特異的抗体を産生する先駆けとなる過程を含んでいる。健常人組織中では、T-B AMはリンパ組織中の胚中心と呼ばれる、一時的に抗原誘導される構造中に存在するCD 4+T細胞上で独占的に発現される。しかしながら、種々の感染症疾患由来組織での予備 実験により、T-BAMは疾患組織に浸潤しているCD4+Tリンパ球細胞によって発現 されることが示されている。現在まで、T-BAMを発現しているCD4+T細胞の浸潤 は、リュウマチ様および変形性関節症に冒された関節組織中に、そして、乾せん、接触皮 膚炎、および高IgE症候群に冒された皮膚中で観察された。T-BAMはインビトロで C D 4 + T 細 胞 エ フ ェ ク タ ー 機 能 の 重 要 な 役 割 を 果 た し て い る と 思 わ れ る た め 、 イ ン ビ ボ での感染部位でのT-BAM発現CD4+T細胞の存在は、T-BAMがこれらの疾患の 免疫性の病理発生に参画しているかもしれないということを示唆している。抗T-BAM m A b 5 c 8 を得たことにより、T-BAMを持っているCD4+T細胞、あるいはT-B A M 分子それ自体がこれらの仮定で重要な役割を果たしているか否かということを尋ね る 機 会 を 与 え る 。 も し T - B A M + C D 4 + T 細 胞 が 特 定 の 疾 患 で 決 定 的 な 役 割 を す る こ とが発見されるとすると、T-BAM+CD4+T細胞を溶解または中毒させるか、ある いは機能を阻止するためにmAb 5c8を使用して、攻撃的で、病原性のCD4+T細胞 を特異的に標的とすることが可能かもしれない。さらに、T-BAM分子の変異発現は多 くのリンパ腫瘍で観察されており、mAb 5c8がリンパ腫瘍の診断および治療に適用 される可能性を示唆している。まとめると、これらの観察は炎症疾患およびリンパ腫瘍の 診断および治療におけるmAb 5 c 8 の有用性を示唆している。

[0210]

次に示す範囲が探究あるいは評価される:

1. 炎症、自己免疫、アレルギーおよび腫瘍疾患の患者からの冒された組織中でのT-BAM発現、およびT-BAM発現は病気の範囲と関係しているか否かを決定すること。

[0211]

2. 炎症、自己免疫あるいはアレルギー疾患を持つ個体からの細胞を使用するインビトロ系でのリンパ機能に対するmAb 5c8の効果。

[0212]

3 . 最終的にそのような動物で安全性試験と薬物動態実験とを実施するために、ヒト以外の霊長類(ルサスマカクーrhesusmacaques)からのTリンパ球機能に於けるm A b 5 c 8 の効果。

[0213]

4. 炎症疾患および白血病 / リンパ腫の臨床評価での診断様式としての 5 c 8 m A b の利用の可能性。

[0214]

<u>理 論 的 根 拠</u>:

CD4+Tリンパ球細胞は炎症反応において中心的な役割を果たしている、なぜならば CD4+T細胞の活性化は体液性(抗体が関与した)免疫反応と細胞毒性(キラー)CD8+T細胞反応の両方の生成に対して必要とされるからである。この重要な役割にふさわし く、CD4+T細胞は正常な免疫反応および幾つかの突発性炎症疾患に於ける炎症反応の間、組織に最も早く浸潤している細胞である。

[0215]

組織中で炎症反応を支配することに加えて、CD4+T細胞は体液性の(抗体)関与し

た免疫反応の特異性およびエフェクター機能(アイソタイプISOTYPE)の両方を支配する重要な役割("ヘルパー機能"と呼ばれている)を果たしている。ヘルパー機能はCD4+T細胞によって媒介され、それはリンパ組織に移行し、胚中心と呼ばれる一時的な構造の種を播き、抗原特異的(コグネイトCOGNATE)B細胞が集まってくる。リュウマチ様関節炎および自己抗体産生によって特徴づけられた確定した他の自己免疫疾患(全身性の狼そう)において、CD4+T細胞は自己抗体の産生に病原性の役割を果たしている。アレルギーでは、CD4+T細胞はIgE抗体の産生に重要な役割を果たしており、従ってアレルギー状態の維持に重要な役割を果たしている。

[0216]

CD4+T細胞は単一に分布した抗原レセプターを持っており、B細胞およびマクロファージによって自己クラスIIMHC分子上で提示される外来性の消化された抗原を認識する。CD4+T細胞クローンは"活性化"と呼ばれる変換をする事によって、その様な認識に対応する特異的抗原/MHCクラスIIリガンドを認識し、それは幾つかの表面分子の新たな発現およびリンフォカインの分泌を含んでいる。

[0217]

最近開発されたmAb 5c8と呼ばれるモノクローナル抗体は、新規な30kDaの構造(5c8 AgあるいはT-BAMと呼ばれる)が同定し、静止期ではなく活性化されたCD4+T細胞上で独占的に発現されるが、しかしCD8+T細胞によっては発現されない(イェリン、ら、1991;リーダーマン、ら1991)。重要なことに、T-BAMと相互作用する性質によって、mAb 5c8は抗体を産生するB細胞を誘導するCD4+T細胞の能力を阻止することである(リーダーマン、ら、1992)。それゆえに、インビボでT-BAMはインビボでリンパ節のマントルおよびセントロシティックゾーンに優先的に存在するCD4+T細胞によって主に発現されて、その部位は生理的にT細胞がB細胞と相互作用する解剖学的部位である(リーダーマン、ら、1992b)。5c8AgはCD4+T細胞上の表面構造の成分であり、Bリンパ球の接触依存性活性化を仲介するという発見により、5c8 Agを"T細胞-B細胞活性化分子"(T-BAM)と改名することにした。T-BAMは活性化されているCD4+T細胞によってのみ発現されるという事実により、mAb 5c8は炎症反応に関与するCD4+T細胞に対して特異的かもしれないということが示唆された。

[0218]

従って、予備実験において、自己免疫および炎症疾患患者からの炎症組織中における5 c 8 A g の発現が調べられた。リュウマチ様関節炎ではT-BAM発現CD4+T細胞はリュウマチ滑液性関節パンヌスに局在し、周辺の炎症組織中とこの状態を特徴付ける胚中心との両方に局在化されていた。炎症性関節炎の症例では、T-BAM発現細胞は浸潤している炎症細胞中で明確に一成分となっている事が発見された。乾せん、アトピー性皮膚炎および高・IgE症候群において、T-BAM発現T細胞は真皮中に浸潤しているリンパ球中で顕著に存在した。炎症性疾患を持つ個体からの標本とは対称的に、T-BAM発現細胞は正常組織では初期のリンパ小節の外側には存在しなかった。

[0219]

T-BAM発現細胞は疾患組織に浸潤しており、そして正常組織では一時的に再生している解剖学的構造に存在するという発見により、mAb 5c8療法は治療に有用であるかもしれない、なぜならば1.)mAb 5c8は静止期の循環しているT細胞に影響を与えずに病原性のあるTリンパ球を標的とするかもしれない、そして2.)5c8を持つT細胞の枯渇はT-BAM発現T細胞の持続的全身性の枯渇には至らないであろう、なぜなら細胞の活性化されたプールは循環している静止期のプールによって補充されるかもしれないからである。mAb 5c8療法が病原性のあるCD4+T細胞を取り除くかあるいは免疫固定し、一時的に免疫抑制状態の結果をもたらす(胚中心T細胞の枯渇から)かもしれない可能性により、その様な治療は広範囲に使用されている、あるいは開発中の既存の免疫抑制剤を越えるほど重要な利益を持たらすかもしれない。

[0220]

50

20

30

20

30

40

50

自 己 免 疫 疾 患 、 突 発 性 炎 症 疾 患 、 お よ び ア レ ル ギ ー 患 者 治 療 に 現 在 使 用 さ れ て い る 免 疫 抑制剤は、CD4+T細胞の機能を阻害する事によって一次的な治療効果を持つ。しかし 、サイクロスポリンA(サンヂムン)、アザトプリン(イムラン)およびサイクロフォス ファミド (サイトキサン) のような現存する療法は、 C D 4 + T 細胞機能を全体に渡って 阻害し、その結果全身性の免疫抑制となる。従って、その様な薬剤の限界のため、我々自 身を含む多くの研究室の目標は、特異的にCD4+T細胞に作用する薬剤を開発すること である。例えば、臨床試験はCD4+T細胞の全身的な枯渇を媒介するCD4分子に対し て向けられたネズミモノクローナル抗体を使用してヨーロッパおよびU.S.で実施され ている。症例の大部分は、CD4+T細胞の欠乏は一時的なものであるが、しかし、観察 されている厄介な副作用は治療後に数か月、CD4+T細胞の枯渇が長く続く場合がある ことである。その様なCD4+細胞枯渇の臨床作用は観察されていないけれども、CD4+ T細胞の不在はAIDSに於ける主な病態生理学的出来事である。まとめると、これらの 考察により、mAb 5c8、抗-T-BAMはすべてのリンパ球の活性化を阻害する治 療剤 (例えば免疫抑制剤) あるいはすべてのCD4+T細胞の活性を阻害するmAbs(例えば抗 - C D 4 m A b s) あるいは活性化された T 細胞を標的とする薬剤(例えば I L - 2 のような活性化分子)をこえて、浸潤する C D 4 + T 細胞に媒介された疾患において 、重要な治療有利性を持つかもしれないということが示唆された。

[0221]

そ の 様 な 全 身 性 の 免 疫 抑 制 と は 対 称 的 に 、 多 く の 努 力 が 、 特 殊 な 民 族 の 背 景 を 持 つ 個 体 で の 特 異 的 な 病 気 に 対 し て 開 発 さ れ た 特 殊 な 免 疫 学 的 治 療 法 に 向 け ら れ て い る 。 特 定 の M H C ク ラ ス IIハ プ ロ タ イ プ は リ ュ ウ マ チ 様 関 節 炎 お よ び イ ン ス リ ン 依 存 型 糖 尿 病 に 対 す る 遺伝的感受性が授けられることが知られている。これらの発見により多くの研究者が、ク ラス II M H C 分子および / あるいはペプチド抗原の関与を研究することによって、これら の疾患に対する診断および治療の戦略を追求している。この様に比較的均質の条件下にお いてさえも、結局は個々の患者に対し独特な治療を工夫する必要があるかもしれない。さ らに、一般的なCD4+T細胞-MHCクラスII/ 抗原相互作用に起因すると推測される 疾患とは対称的に、乾せん、全身性狼そう、炎症性変形関節炎の様な幾つかの重要な特発 性 炎 症 疾 患 は 、 ま だ M H C ク ラ ス IIハ プ ロ タ イ プ と の 関 連 が あ ま り 明 確 で は な い が 、 初 期 のCD4+T細胞浸潤が重要な病原性の特徴であるという点で、RAや糖尿病と共通して いる。 抗 - T - B A M 療法のような C D 4 + T 細胞を標的とする治療戦略の追求に都合の 良いことは、主として、炎症反応を調節するために適切なMHC分子あるいは抗原を同定 することは必要ではないという事実のためである。さらに進んだ戦略は、mAb 5c8 療法のように、疾患組織において活性化されたCD4+T細胞を主要に標的とする条件は T細胞を除去あるいは機能調節する目的で選択するために各々の個々の免疫系の認識機 能を利用しているかもしれない。これらの疑問を調べるために、次に示す実験を提案する

方法: 提案された研究目的は、広く種々にわたる免疫性疾患を持つ患者から外科あるいは針生検を行ない臨床的標本を得るという、研究者の能力に非常に依存している。 P. I. はその様な標本を得るための理想的な立場にあり、事実、我々の予備的研究はこ研究者に研究している。 P. I. は医学部のリュウマチ学部門のメンバーであり、そして研究者に対して対したが進行中である。従って、 P. I. は、自己免疫疾患を持つ固体が多いで自己免疫疾患を持つ固体が多いでは、 p. I. は、自己免疫疾患を付入がのメンバーと共同的な関係が進行中である。従って、 P. I. は、自己免疫を患の何人がのメンバーと共同的な関係が進行中である。び関節組織から得たリンパ球のインには、び変型性関節炎を持つ個体からの末梢血液および関節組織から得たリンパ球のインには、地で変型性関節炎を持つ個体からのに適切な臨床標本を得るための良い立場に置かれている。さらに、アレスサンドラペルニス博士は、我々の研究チームの一場に置かれている。さらに、アレスサンドラペルニス博士は、我々の研究チームの一段に置かれている。さらに、我々はレオナルドーチェス博士の"人に於ける免疫学研究"研究主義機構の研究者であり、その様な個体からのリンパ球を得ることが許可されている。さ

20

30

40

50

らに関節症疾患に於ける我々の研究は、皮膚学部のジャネット リストスキー博士と関係しており、最近、乾せんを研究する方法"乾せんおよび他の皮膚疾患に於ける皮膚のTリンパ球分析"の認可を得た。

[0 2 2 2]

1 . 疾患組織中のT-BAM発現の特徴付け

炎症、自己免疫およびアレルギー状態でのT-BAMの役割をさらに分析するために、疾患組織の免疫組織学的分析が、病気の状態および進行が種々の段階にあるリュウマチおよび変型性関節炎および乾せんの追加症例患者におけるスナップ凍結組織標本上のT-BAMの局在を研究することが拡大されるだろう。さらに、これらの分析は、全身性狼そう、アレルギー性喘息、糖尿病性膵臓、炎症性腸疾患および臓器移植の患者に拡大されるだろう。これらの分析は、T-BAM、CD4および様々な他のリンパ球表面分子のような特殊な表面構造の発現パターンが、病気および病気の状態と互いに関係があるかどうかを試みるだろう。

[0 2 2 3]

2.炎症、自己免疫およびアレルギー疾患を持つ個体からの細胞を使用したリンパ球のインビトロ系に於けるmAb 5c8の作用の評価

炎症疾患患者のT-BAM+CD4+T細胞浸潤組織が、これらの疾患において重要な病態生理学的出来事を仲介する役割を果たしているか否かは現在のところ明らかではない。特定の疾患はインビトロで研究できる病理学的免疫学的活性を持っている。それゆえに、リュウマチ性関節炎、全身性狼そう、アレルギー性喘息のようなアレルギー状態を持つ個体からの末梢血液および炎症組織のリンパ球が単離されるだろう。インビトロ実験においては、リュウマチ性関節炎のリュウマチ性因子(IgM抗-IgG)、全身性狼そうの抗・DNA抗体産生、あるいはアレルギーでのIgE産生をmAb 5c8が阻害するか否かを提案するだろう。これらの実験において、末梢血液あるいは損傷を受けた組織からのTおよびB細胞が単離されて、成長因子の存在下および5c8あるいはコントロールmAbsの存在下で共培養されて、そして自己抗体あるいはIgEの産生が特殊なELISAによって測定されるだろう。

[0224]

3. その様な動物での、最終的に安全性および薬物動態試験を実施することを目的とする、ヒト以外の霊長類(rhesusmacaques)からのTリンパ球の機能に於けるmAb5 c8 の作用の評価

rhesus macaquesリンパ球とmAb 5 c 8 の相互作用は研究されて(生殖生物学部のミッシェル フェリン博士の方法にしたがって)そしてmAb 5 c 8 はRhesus macaquesのT-BAM相同部分と相互作用することが発見された。将来的な実験は、rhesusはmAb 5 c 8 の投薬のインビボでの最終的な研究に対する適切な動物モデル可か否かを決定するために、mAb 5 c 8 はmacaquesからのCD4+T細胞の機能を阻害するかどうかを提示することだろう(現在の計画には入っていない)rhesusリンパ球の機能的研究とそれらの機能に於けるmAb 5 c 8 の作用は、ヒトリンパ球サブプピュレイションですでに実施した機能的研究と密接に並立的に位置するだろう。

[0 2 2 5]

4 . 白血病 / リンパ腫の臨床的評価に於ける診断様式としてのm A b 5 c 8 の潜在的な使用を評価する

病理学部のジオロジオ インギラム博士及びダニエルノウレス博士との共同研究において、白血病/リンパ腫の100の以上の症例でのT-BAM発現が研究された。T細胞リンパ腫の約30%がリンパ節の凍結切片中でT-BAMを発現する。末梢血液中の白血病T細胞はその様な症例においてT-BAMを発現するか否かは現在のところ知られていない。従って、T-BAM発現が存在するか否か、および末梢T-BAM発現はリンパ節T-BAM発現とどの様な関係があるかを決定するために、白血病の症例の末梢血液を実験する予定である。これらの実験は白血病を持つ個体の評価において、mAb 5c8が有

30

40

50

効な診断抗体であることを示すだろう。さらに、これらの研究はその様な腫瘍の治療においてmAb 5 c 8 による治療試験を正当化するかもしれない。

[0226]

将来の進展:

将来の研究は提案された予備的な前臨床探索の結果に異存するだろう。免疫組織学的研 究の結果により、病気のあるセットに我々の注意を向けることになるだろう。インビトロ 実験はその様な病気のあるサブセットにおいて臨床的な研究を正当化するだろう。結局、 予備実験は臨床試験の正当な理由となるので、ヒト以外の霊長類での動物実験を実施する だろう、なぜならば、mAb 5c8はRhesus macaqueの活性化されたT 細胞上でT-BAM相同部分と反応することが知られているからである(上記参照)。動 物 実 験 は T - B A M を 発 現 し て い る 細 胞 は 一 時 的 に 存 在 し 、 そ し て T - B A M を 発 現 し て いる細胞は静止期のT細胞の循環プールから再配置されるだろうという仮説を試験すると 共に、mAb 5c8の毒性および薬物動態様式を決定するために考案されるだろう。こ の疑問はmAb 5c8処理の前後の正常動物のリンパ節針生検を免疫組織学によって研 究することにより明確に試験されるだろう。最終的には、インビボで阻害されている免疫 反応での5c8の役割は、5c8処理を行った場合と行わない場合で、および抗体の評価 および実験動物の皮膚試験反応において、免疫された動物によって試験されるだろう。そ の様な実験を実施するために、別のIRB認可を得る必要があるだろう、なぜならば、我 々の現在の方法中には提示されていないからである。しかしながら、その様な認可を得る ためにはその様な研究に適した形態で5c8を得ることが重要であろう、そしてその様な 試 薬 を 得 る た め の 費 用 は 現 在 申 し 出 て い る 予 算 の 一 部 で あ る 。

[0 2 2 7]

これらの研究は、m A b 5 c 8 の現在の形が(ネズミIgG2a-ヒト補体結合) C D 4 + T 細胞機能の期待された特殊な調節を得るためには最適ではないことを示しているかもしれない。このことに関しては、補体結合機能および / あるいは組織標的を決定する抗体のF c 領域を変化させるためにm A b 5 c 8 を遺伝的修飾することが必要となるかもしれない。これにより、抗体のF c 領域をヒトのF c 領域に入れ替えた形を得るか、あるいはヒト抗体に密接に類似した結合部分を持つ抗体に変化させることができる、この過程は基礎研究社がかなり経験を持っている"ヒューマニゼイション"と呼ばれる技術であり、ヒト抗体をCD4分子のアミノ酸配列を含むものに劇的に変化させることも可能となっている(未発表)。抗体の機能的性質を正常抗体の異なるエフェクター機能を持つものに変化させることに加えて、m A b 5 c 8 のF c 領域に対して毒を遺伝的に付着することが望ましいかもしれない、それは我々が現在交渉している幾つかの会社によって利用されている共通の方法である。

[0228]

動物実験の成功的な終了に続いて、ヒトでのmAb 5 c 8 の安全性および薬物動態の性質を決定するためにヒトの臨床第I相試験が行われるだろう。

[0229]

実験の第4シリーズ

<u>B 細胞に対する接触依存性ヘルパー機能を仲介するCD4+T細胞上の表面糖タンパク</u> <u>T - B A M をコードするCDNAの単離:TNFアルファ遺伝子スーパーファミリーの新規メンバー</u>

T-BAMは、B 細胞分化および分泌に対する接触依存性シグナルを仲介する、CD4+T 細胞上の活性化誘起表面タンパクである。T-BAMは、表面T-BAMを構成的に表現する機能的にユニークなジャーカット(Jurkat)サブクローンD1.1上にT-BAMを結合するMAB5 CBCAM6 CBCAM7 CBCAM8 CBCAM9 CBCAM9

配位において、オリゴヌクレオチドプローブは、T-BAMを表現するD1.1細胞から単離された2kB mRNAを認識したが、T-BAMを表現しない対照の非ヘルパージャーカット細胞B2.7から単離されたmRNAを認識しなかった。NH $_2$ 末端配列は、関連機能のタイプロネズミT細胞表面分子CD40-Lのそれと関連していることが見い出された。D1.1mRNAのRNA-PCRは、サイズおよび配列がネズミCD-40Lの対応する領域、すなわち分子の細胞質および膜の近位部分をコードする領域と相同であるDNAの断片を増幅した。約330bpであるこの断片をサブクローン化し、 gt-11におけるD1.1cDNAライブラリーをプローブするために用いた。1.8-2.2kB挿入物を含有する9種のクローンを得た。

[0 2 3 0]

クローンの配列分析は、ネズミCD40-Lと相同性を有するタイプ II 表面膜糖タンパク、すなわち I gE分泌を誘発させる活性化ネズミT細胞上の分子を解明した。これらタンパクの両方は、広範種の免疫学的および他の機能を有するサイトカインおよび細胞表面エフェクターを含むTNF スーパーファミリーのメンバーである。T-BAMおよびCD40-Lに加えて、少なくとも1つの他の関連分子の存在がT-BAMプローブを用いたヒトDNAのサザン分析により示唆される。これらは機能的に別のものであるが、T-BAMおよびCD40-Lは同族体である可能性がなお存在し、その場合、T-BAMに関係する2つの新規分子が存在することとなる。

[0231]

導 入

接触依存性シグナルの解明の進展は、休止末梢B細胞を構成的に活性化するジャーカットT細胞白血病系D1.1の機能的にユニークなサブクローンの最近の同定(イェリン(Yellin)ら、1991)により達成された。D1.1クローンは、休止B細胞を誘起して表面CD23分子を表現させ、B細胞を増殖させ、B細胞のAb形成細胞への分化を誘起するものであることが以前に示された(イェリンら、1991)。パラホルムアルデヒド固定化D1.1はB細胞を活性化する能力を保持したが、D1.1上澄は不活性であったので、D1.1のB細胞活性化能は細胞表面に局在化された(イェリンら、1991)。併せてこれらデータは、D1.1が、接触依存性ヘルパー機能を仲介する活性化T細胞と表面構造を共有することを示唆した。

[0 2 3 2]

前のシリーズの実験において、T-BAM(5c8 Ag)と名付けたそのような1つ の構造がD1.1と特異的に反応し、D1.1によるB細胞の機能的活性化を阻害するm Abに対するハイブリドーマをスクリーニングすることによって同定された。mAbは、 活性化CD4+T細胞(CD8+T細胞、B細胞または単核細胞ではない)上に表現された 新規30kDa構造を同定した。PHAおよびPMA刺激後のT-BAMの細胞表面表現 の動態は、最大の表現が6h後に生じるが24hによりベースライン(無)表現をもたら す ダ ウ ン レ ギ ュ レ ー シ ョ ン が 続 い て 生 じ る と い う 点 で 比 較 的 ユ ニ ー ク で あ る (レ ダ ー マ ン (Lederman)ら、1992)。機能アッセイにおいて、抗T-BAM mAb 5 c 8 は正 常CD4+T細胞が抗体生成性細胞へのB細胞の分化を誘発する能力を阻害する(レダー マンら、 1 9 9 2)。 加えて、T-BAMを表現するリンパ腫T細胞ジャーカットD1. 1 は、リンパ器官からのB細胞、およびB細胞リンパ腫クローンRAMOS266(シー ゲル(Siegel)ら、1990)を、抗T-BAM(mAb 5c8)によって阻害され、 われ われ が 末 梢 B 細 胞 に つ い て 以 前 に 記 述 し た 効 果 と 同 様 で あ る 様 態 で 活 性 化 す る 。 イ ン ビボで、T-BAMは、T細胞のB細胞との相互作用の解剖学的部位であるリンパ節の外 套および中心細胞領域において主に、T細胞によって表現される(レダーマンら、199 2)。併せてこれらデータは、T-BAMが接触依存性ヘルパー機能を仲介するCD4+ T細胞上の表面構造の一成分であることを立証している。

[0233]

B細胞に対するT-BAM特異的効果は、CD40に対しmAbによってブロックされることが見い出され、それほど多くはない他のB細胞分子がリンパ組織における接触依存

10

20

30

40

20

30

40

50

性シグナルを受け取る上で役割をなしていると考えられている。ヒトB細胞表面上のCD40分子はリンパ節B細胞分化に関連した興味のあるシグナル機能を有する(クラーク(Clark)ら、1986;クラークら、1988;レッドベター(Ledbetter)ら、1987;レッドベターら、1986)。抗CD40(mAbG28-5(クラークら、1986)))はプログラムされた胚中心B細胞壊死(アポプトシス)を防止し(リュー(Liu)ら、1989)、またヒトB細胞の増殖、分化および長期成長を誘起することが示されている(バンチャロー(Banchereau)ら、1991a;バンチャローら、1991b)からである。CD23表現に対する抗CD40の効果がrIL-4の最大下投与で相加的であることが見い出されたので、T-BAM特異的ヘルプに対する抗CD40mAbの効果は、B細胞の応答性の一般的な阻害からは生じなかった。加えて、mAbないしCD40は、形質移入ネズミ線維芽細胞の層上のFc受容体上に存在したとき、D1.1の効果を模倣するようであった。併せてこれら知見は、T-BAMおよびCD40が、おそらく受容体・反受容体(counter-anti-counter)関係で、相互に作用しあっているかもしれないという考えと一致した。

[0 2 3 4]

続いて、CD40分子に対するネズミリガンドは、キメラヒトCD40-Ig鎖分子を用いたネズミcDNAライブラリーの表現クローン化により同定されている。CD40-LCDNAは、33kDaタイプ・II表面膜タンパクをコードする(アーミテージ(Armitage)ら、1992)。初めは新規遺伝子として報告されたが、われわれの研究室による後の分析(発表せず)および著者らによる後の分析(ファラー(Farrah)ら、1992)によりCD40-Lはtnf と関係していることが明らかにされた。CD40-Lがtnf と相同であるという考えは、それらの受容体tnf RIおよびIIがCD40・L 関連していれば、興味のあるものである。CD40-LのCD40との結合相互作用は、T-BAMをCD40-Lとは関連する分子でありえることを示唆している。さらに、CD40-LとT-BAMとの関連性は、B細胞トリガリングにおけるそれらの関連する機能と、それらの類似する見かけの分子量の双方により示唆される。しかしながら、CD40-LのT-BAMとの正確な関係は、未知のままである。

[0 2 3 5]

それ故、このシリーズの実験では、T-BAMの構造を調べ、PCR断片と部分cDNAを単離し、これらがCD40-Lとの有意の相同をもってタイプII表面膜タンパクをコードすることを見い出した(アーミテージら、1992)。機能的証拠はT-BAMとCD40-Lとは異なるものであることを示唆しているが、T-BAMがCD40-Lの加えて、ト同族体であるという可能性がなお存在する。T-BAMおよびCD40-Lに加えて、このファミリーの少なくとも他の関連メンバーの存在は、T-BAMを用いたヒトゲノミックDNAのサザンブロット分析により示唆される。T-BAMとCD40-Lが相同であることが見い出された場合は、サザンデータは、そのような形態の他の2つのメンバーが存在し得ることを示唆する。構造の情報は、T-ヘルパー機能のいくつかの分子的姿に光を当てるものであり、T細胞上の少なくとも2つの分子がCD40細胞を経由するシグナリングを含む相互作用において異なるB細胞応答を指向させるということを示唆している。

[0236]

材料および方法

細胞系。ジャーカットクローン D 1 . 1 および B 2 . 7 は、記述されている(イェリンら、 1 9 9 1 ; レダーマンら、 1 9 9 2)。

[0 2 3 7]

T-BAMペプチドの単離

精製T-BAMタンパクを得るために、ジャーカットD1.1 細胞を、「細胞工場」(NUNC)と10個のフラスコ(600m Lフラスコ)の双方において、10% ウシ胎児血清(ハイクローン(Hyclone))中のイスコブ(Iscove)の変性ダルベッコ培地(ギブ

コ(Gibco))において成長させた。これら培養は、併せて 1.4×1.0^9 個の細胞を得た。細胞ペレットを氷冷分解緩衝液(1.% N P 4.0、1.3 m M トリス、1.5 m M N a C 1、1.0 μ g / m L フェニルメチルスルホニルフルオリド(P M S F)、5 m M E D T A 、1.0 μ g / m L ヨードアセトアミド(I A A)) 1.2 5 m L 中で分解した。溶解産物を渦動処理に供し、回転シェーカーで 1 時間混合し、1.0 0 0 0 r p m で 1.0 2 0 分間遠心して不溶物をペレット化した。溶解産物の上澄を順次 1.0 0 0 0 r p m で 1.0 2 m フィルター(ナルジーン(Nalgene))を通してろ過した。 5 過した溶解産物(1.0 8 0 m L)を 1.0 1 M 重炭酸塩緩衝液(1.0 5 M N a C 1 、 p H 1.0 8 0 m L)を 1.0 7 0 0 0 r 2 m フィニティークロマトグラフィーに供した。

[0238]

アフィニティークロマトグラフィーによるT-BAMの精製

m A b 5 c 8 および O K T 4 を タンパク G カラム(ファルマシア(Pharmacia))で精製した。各m A b 当たり 0 . 1 4 2 グラムの C N B r 活性化セフアロース 4 B ビーズ(ファルマシア、アップサラ、スウェーデン)とともに結合用緩衝液(0 . 2 5 M 重炭酸塩緩衝液、 0 . 5 M N a C l 、 p H 8 . 7 5)中で m A b (3 . 8 8 m g / 2 m L の 5 c 8 、および 3 . 0 m g / 1 . 5 m L の O K T 4)をインキュベートすることにより、精製された m A b はビーズに共有結合された。 m A b 溶液を室温で 3 時間ビーズと反応させ、 0 . 3 M トリス中 p H 8 . 0 で 3 時間クエンチングした。 m A b で被覆されたビーズを用いて短いカラム(シュライチャーおよびシュエル)中で 0 . 5 m L ゲルを作り、結合用重炭酸塩緩衝液および溶出緩衝液(アセテート緩衝液、 0 . 5 M N a C l 、 p H 4 . 0)で交互に洗浄した。

[0239]

T-BAMを精製するために、D1.1溶解産物を、5c8カラムに通じる前に、OKT4カラムに通じて予備精製した。溶解産物を両方のカラムに通じた後、mAbカラムを重炭酸塩緩衝液200mLで洗浄してから、0.1Mアセテート、pH4.0で溶出させ、15mLのポリプロピレン製のコニカルチューブ(サースタット、プリンストン、NJ)中で0.5mLずつの分画を得た。各分画中のタンパクを-20°のアセトン5mLで一晩沈殿させた。ついで、沈殿物を3000Gでの遠心により集め、空気乾燥した。

[0240]

T - B A M ペプチドの N H ₂ 末端配列決定

各カラム分画からのアセトンによる沈殿物を60mLのゲル充填用緩衝液中に再懸濁させ(バイオラッドの指示)、バイオラッド縦型電気泳動装置中の20cm12.5%SDS-PAGEゲル上に充填し、約6時間100Vに供した後、(バイオラッドトランスプロット装置においてCAPS緩衝液中70ボルトで90分間プロブロット(Problott)PVDFペーパー(アドバンスト・バイオシステムズ、シアトルWA)へ移植した。移植は、予備染色したタンパク標準(低分子量および高分子量標準(バイオラッド、ロックビルセンター、NY))を用いて最適化した。

[0241]

移植後、タンパクバンドをコマジーブルー(comassieblue)R - 450で染色し、膜を空気乾燥した。T - B A M の相対移動に対応する 3 1 K D バンド(p 3 1 K)を剃刀の刃で切除し、コロンビア大学ハワード・ヒューズ・メディカル・インスチチュート、プロテイン・コア・ファシリティのメアリー・アン・ガビノビッチ博士により、アプライド・バイオシステムズ 4 7 0 A 気相シーケンサー / 1 2 0 A P T H アナライザー上での 2 0 サイクルの配列決定に供した。決定された N H $_2$ 末端配列は、(M) I E (T) Y N Q (Q) S P (P X A A S) (S E Q I D No. 11)であった。

[0242]

c D N A ライブラリーの構成およびスクリーニング

D~1~.~1ポリ $A^+R~N~A$ をF~A~S~T~-~T~R~A~C~K~(インビトロゲン(Invitrogen))により単離し、ファルマシアのプロトコールによりストラテゲン(Strategene)(サンジエゴ、<math>C~A~)からの アームを用い、約 $~4~×~1~0~^6$ 個の独立クローンを含有するオリゴ~d

10

20

30

40

T感作 -gt11ライブラリーを生成した。

[0 2 4 3]

増幅されたライブラリーから、約 1×10^6 個のプラークをスクリーニングし、8 個の 独立クローンを同定し、各プラークをYT1090(インビトロゲン、サンジエゴ、CA)上での4回のクローン化により精製した。

[0244]

オリゴ合成

コロンビア大学ハワード・ヒューズ・メディカル・インスチチュート、プロテイン・コ ア・ファシリティによりアプライド・バイオシステムズDNAシンセサイザーモデル38 0 B上で以下のオリゴデオキシヌクレオチドが合成された。

【化1】

TBAM.1 (17量体) 5'-AT(A/C/T) GA(A/G) AC(A/G/C/T) TA(C/T)AA(C/T) CA-3' (SEQ ID No. 1)

TBAM.2 (20量体) 5'-ATG AT(A/C/T) GA(A/G) AC(A/G/C/T) TA(C/T) AA(C/T) CA-3' (SEQ ID No. 2)

TBAM.2 アンチセンス (20量体) 5'-TG(G/A) TT(G/A) TAI GT(C/T) TC(T/G/A) ATC AT-3' (SEQ ID No. 3)

CD40L(11-31) 5'-GCA TGA TAG AAA CAT ACA GCC AAC-3' (SEO ID No. 4)

CD40L(54-75) 5'-AAC TGG ACT TCC AGC GAG CAT G-3' (SEQ ID No. 5)

CD40L(369-348) 5'-GGA TCC TCA TCA CCT CTT TGC-3' (SEQ ID No. 6)

CD40L(389-368) 5'-ACA ACG TGT GCT GCA ATT TGA GG-3' (SEQ ID No. 7)

入 gt11-rev (24量体) 5'-TGA CAC CAG ACC AAC TGG TAA TGG-3' (SEQ ID No. 8)

Mul2/T-BAM.2 5'-CTT TCA GTC AGC .T-BAM-3' (SEQ ID No. 12)

[0 2 4 5]

RNAポリメラーゼ連鎖反応

5 × 1 0 ⁸ 個の D 1 . 1 細胞からポリ - A ⁺ R N A を単離し、 2 0 0 単位のモロニーネズ ミ白血病ウイルス(MMLV)逆転写酵素(ベセスダ・リサーチ・ラプズ(BRL(商品 名))を用い、50mMのトリス・HCl、pH8.3、75mMのKCl、3mMのM g C l ₂、 1 0 m M の D T T および 2 0 単位の R N A s i n (ファルマシア (商品名)) を含有する緩衝液 2 0 m L 中 5 p M のプライマー C D 4 0 L (3 6 9 - 3 4 8) を含有す る反応液において 4 2 で 3 0 分間にわたる約 1 . 0 μgの全 R N A の転写により c D N A を調製した。反応混合物を 5 分間 9 5 に熱して酵素を失活させた。

[0246]

第1の鎖を以下の条件下でPCRにより増幅した:初めのテンプレート変性工程(94 で8分)、ついで、55 での3分間(アニーリング)、2.5単位のDNATaq-ポリメラーゼ(パーキン・エルマーセタス、ニューウォーク、CT)、dATP、dCT P 、 T T P T S T D TR 緩衝液(10mMのトリス・H C l 、 p H 8 . 3 、 5 0 mMのKCl、1.5 mMのM g C l ₂、 0 . 0 0 1 % のゼラチン) 1 0 0 m L 最終容量中の 5 0 p M のプライマー C D

10

20

30

20

30

40

50

4 0 L (1 1 - 3 1) および C D 4 0 L (3 6 9 - 3 4 8)) を用いた 7 2 での 2 分間 (変性) の 3 0 倍繰り返しサイクル。増幅後、試料を、 1 . 0 % 寒天ゲル上での電気泳動により分析し、エチジウムプロミドで染色した。

[0 2 4 7]

サブクローニング

E c o R 5 消化ブルースクリプト(プロメガ(Promega))への P C R 生成物の鈍端結 さつによりブルースクリプト / p 3 . 1 を生成した。予め子ウシ腸ホスファターゼで処理した E c o R 1 消化ブルースクリプト 1 1 S K + (プロメガ)への g t - 1 1 ファージ D N A マキシプレプス(maxipreps)の一晩の E c o R 1 消化の結さつによりブルースクリプト / p 5 - 1 を生成した。ブルースクリプト中への結さつは、コンピテント E . C o 1 i 中への T 4 D N A リガーゼを用いて行い、アンピシリン(25 μ 9 / m L)プレート上に成長させた。

[0248]

g t - 1 1 ライブラリーのスクリーニング

PCR生成プローブをランダムヘキサマー法により放射線標識し、 gt - 1 1 プラークをスクリーニングするために用いた。

[0249]

DNA配列決定

DNA配列決定は、アプライド・バイオシステムズの自動 DNAシーケンサー上でコロンビア大学のコンプリヘンシブ・キャンサー・センター・コア・ファシリティにより行われた。

[0250]

293細胞の形質移入

形質移入の 4 8 時間前に、 2×1 0 6 個の 2 9 3 細胞を 1 0 0 m m のペトリ皿上で平板 培養する。形質移入の 1 時間前に、細胞に新鮮な培地を供給する。 1 皿につき 2 0 m g のプラスミド D N A を用いてリン酸カルシウム沈殿物を調製する。 5 % C O $_2$ 中 3 7 で 1 5 時間後、細胞に新鮮な培地を供給する。形質移入の 3 6 時間後、細胞をトリプシン - E D T A での処理により収穫し、 F A C S により調べる。

[0251]

単一クローン性抗体。 m A b 5 c 8 (I g G 2 a) については、記述されている(レダーマンら、1992)。 m A b 5 c 8 は、記述されている。 m A b O K T 4 (抗 C D 4) は、アメリカン・タイプ・カルチャー・コレクション(ロックビル、 M D) から入手できる。全ての m A b は、タンパク A (バイオラッド、ロックビル・センター、 N Y) またはタンパク G カラム上で腹水から精製した。

[0 2 5 2]

結果

T-BAMは、B細胞分化およびIgG分泌のための接触依存性シグナルを仲介する、 CD4+T細胞上の活性化誘起表面タンパクである。T-BAMは、構成的にT-BAM を表現する機能的にユニークなジャーカットサブクローンD1.1上にT-BAMを結合 するmAb 5c8により同定された。

[0 2 5 3]

本報告では、T-BAMの構造は、タンパク化学による、またT-BAMをコードする c DNAの単離による研究であった。

[0254]

T-BAMタンパクは、D1.1細胞溶解産物から<math>T-BAMを親和精製するためにMAB D1.1細胞溶解産物から<math>T-BAM D1.1細胞溶解産物から<math>T-BAM D1.1 D1.1

20

30

40

ト B 2. 7 細胞系をプローブするために用いた。アンチセンスプローブは、T- B A M を表現する D 1. 1 細胞中で特異的にほぼ 2 k B m R N A 種と交雑したが、T- B A M - コントロール、非ヘルパージャーカット細胞 B 2. 7 とはしなかった。

[0 2 5 5]

【化2】

T-BAM (M) IE(T) YNQ(Q) SP(PXAAS) (SEQ ID No. 9)

* ** * * * * * *

* ** * *** ***

CD40-L M IE T YSQ P SP RSVAT (SEQ ID No. 10)

[0256]

T-BAMのクローン化の初期の研究は、 gt-11中のD1.1cDNAライブラリーをスクリーニングするために退化オリゴヌクレオチド(<math>T-BAM.2)を用いることを含んでいたが、 $T-BAMとCD40-Lの配列の関係は、それらの配列関係がより長い2本鎖DNAプローブを精製するために利用できることを示唆した。この考えを支持して、<math>CD40-LのNH_2$ 末端がタイプII細胞膜内タンパクの細胞質尾部をコードすること、および類推により、T-BAMの高度相同性 NH_2 末端が、関連するタンパクのアイソフォーム(isoform)間で高度に維持された細胞質尾部であり得るということがある

[0257]

それ故、次のシリーズの実験は、ネズミ配列のCD40-LCDNA(細胞質および膜近位領域から)由来の対のオリゴヌクレオチドプロープが、T-BAMCDNAの相同配列を増幅するかどうかに向けられた。したがって、D1.1からのmRNAのRNA-PCRは、まずCD40L(369-348)で感作されたCDNAを合成することによって行い、ついでプライマーCD40L(11-31)およびCD40L(369-348)で増幅した。この反応は、D1.1DNAからの約330bpの断片を増幅した。PCR生成物は、ブルースクリプトへの鈍端結さつによりサブクローン化し、一方向に配列した4つの挿入物のうち1つのクローンを同定した。これは、330kB挿入物であり、ネズミCD40-Lと約85%相同であった。

[0258]

プラスミド p 3 - 1 / ブルースクリプトII S K + は、特許出願手続上の微生物の寄託の国際的承認に関するブタペスト条約の規定の下に、米国メリーランド 2 0 8 5 2 、ロックビル、1 2 3 0 1 パークローン・ドライブ所在のアメリカン・タイプ・カルチャー・コレクション(ATCC)に寄託した。プラスミド p 3 - 1 / ブルースクリプトII S K + は、ATCC受託番号() を与えられた。

[0259]

C D 4 0 - L 配列と増幅された P C R 生成物 p 3 - 1 を比較して以下に示す。

【化3】

```
CD40-L 57 TGGACTTCC.AGCGAGCAT.GAAGATTTTTA.TGTATTTACTTAC..TGT 101
        436 TGGACTTCCAACCGANCTTGGAAAATTTTTATTGTATTTACNTTCCTTGT 387
  102 TTTCCTTAT...CACCCAAATGATTGGATC.TGTGCTTTTTGCTGTGTAT 147
     386 TTTTCTTATCCACCCCAAGATGATTGGGTCAAGCACTTTTTNCTGTGTAT 337
                                                     10
  148 CTTCATA..GAAGATTGGATAAGGTCGAAGAGGAAGTAAACCTTCA.TGA 194
     336 CTTCATAAGAAGGGTTGGACAAGATAGAAGATGAAAGGAATCTTCATTGA 287
  195 AGATTTTGTATTCATAAAAAGCTAAAGAGATGCAACAAAGGAGAAGGAT 244
     286 AGATTTTGTATTCATGAAAACGATACAGAGATGCAACACAGGAGAAAGAT 237
245 .CTTTATCCTTGCTGAACTGTGAGGAGATGAGAAGGCAATTTGAAGACCT 293
                                                     20
      236 CCCTTATCCTTACTGAACTGTGAGGAGATTAAAAGCCAGTTTGAAGGCTT 187
  294 TGTCAAGGATATAACGTTAAACAAAGAAGA...GAAAAAAGAAAACAGCT 340
     341 TTGAAATGCAAAGAGGTGATGAGGATCC.TCAAATTGCAGCA 381 (SEQ ID No. 13)
    30
 136 TTGAAATNCAAAGAGGTGATGAGGATCCATCGAATTCCTGCA 95 (SEQ ID No. 14)
```

[0260]

さらに、D 1 . 1 からのR N A 、 T - B A M - ジャーカットクローン B 2 . 7 および R A M O S B 細胞系からのコントロール R N A を比較するノーザン分析により、 p 3 . 1 プローブは、 D 1 . 1 細胞系中で排他的に 2 k B m R N A 種に交雑した。アンチセンス T - B A M . 2 プローブのノーザン分析、および T - B A M が D 1 . 1 中で排他的に表現されるが、 B 2 . 7 ジャーカット細胞にはされないというタンパクデータと考え併せると、これらデータは、 3 3 0 b p 挿入物が T - B A M c D N A から由来し得ることを示唆した。

[0 2 6 1]

したがって、この約330bpの挿入物を、D1.1cDNAライブラリーから gt-11をスクリーニングするためのプローブとして用いた。ランダムヘキサマー標識プローブとして330bp挿入物を用いたそのようなスクリーニングは、サイズが1.8から2.4kBにわたる挿入物を含有する9個の独立 gt-11クローンを同定した。

[0262]

ファージ D N A の P C R は、挿入物をフランク(f I ank)する、ファージ D N A の領域に交雑するプローブを用いて行い、クローンが、サイズが 1 . 8 ~ 2 . 1 k B の範囲の挿入物を含有していることを明らかにした。ノーザン分析による N H $_2$ 末端配列から由来するアンチセンスオリゴを用いた、T-BAMのmRNAのサイズが約 2 k B であるという

40

観察があれば、これらクローンの最も大きなものは、T-BAMをコードするmRNAの全長 c DNAまたはほぼ全長 c DNAのいずれかを表わすということが有望である。

[0263]

9個のクローンの各々において、EcoR1挿入物の離脱(EcoR1による消化による)は、すべての場合に2つの断片が得られたので、すべての8つの挿入物が内部EcoR1部位を含有していたことを明らかにした。 gt-11クローン1-1b(これは、PCRによる最も大きな2.1kBの挿入物を持つものであった)の場合には、生成した2つのEcoR1断片は、1.3kBおよび0.8kBであった。これら2つの断片を消化したEcoR1中にクローン化した。子ウシ腸ホスファターゼ処理ブルースクリプトIISK+およびp1-1b(0.8kB)/ブルースクリプトIISK+およびp1-1b(0.8kB)/ブルースクリプトIISK+を生成した。

[0 2 6 4]

プラスミド P 1 - 1 B (1 . 3 K B) / ブルースクリプト IIS K +および p 1 - 1 b (0 . 8 k B) / ブルースクリプト IIS K +は、特許出願手続上の微生物の寄託の国際的承認に関するブタペスト条約の規定の下に、米国メリーランド 2 0 8 5 2 、ロックビル、 1 2 3 0 1 パークローン・ドライブ所在のアメリカン・タイプ・カルチャー・コレクション(ATCC)に寄託した。プラスミド P 1 - 1 B (1 . 3 K B) / ブルースクリプト IIS K +は、ATCC受託番号() を与えられ、およびプラスミド p 1 - 1 b (0 . 8 k B) / ブルースクリプト IIS K +は、ATCC受託番号() を与えられた。

[0265]

0 . 8 k B 挿入物の部分 D N A 配列決定は、それが、クローン化された生成物 p 3 - 1と約 1 5 0 b p だけ有意のオーバーラップを持つことを明らかにした。比較を以下に示す

【化4】

p1-1b(0.8kB) 51 aaaa 54 (SEQ ID No. 15)

1111

p3-1 595 AAAA 598 (SEQ ID No. 16)

[0266]

加えて、p1 - 1 b (0 . 8) k B の 5 '末端は、成熟タンパクの、最初のコドンへ向けて、約 2 0 0 b p 3 'である。このことは、全長 c D N A に関して以下のクローンの配列を与える。

10

20

【化5】

30 kDa タンハック (T-BAM) のプロープ 可能なコード 面2万1

20

[0267]

このマップは、p1-1b(1.3kB)が3'-UT(翻訳されない領域)中の配列に由来する、その理由は、メッセージがそのように長い5'UT領域をもつくとはあまり普通ではないからである、という仮定に基づいている。この仮定をさらに支持するものとして、CD40-Lに対する関連するcDNAが類似の大きさの3'UT(約1kB)を有するという観察がある。

[0268]

したがって、全長 c D N A は、成熟タンパク(30kDa)のサイズが与えられれば、そして P C R 生成物が N H 2 末端配列から誘導されたので、おそらく共にT-BAM c D N A の全コード化領域を含むところのクローン化 P C R 生成物(P 3-1)およびクローン化 c D N A (p 1-1b(0.8kB))の組み合わせにより得ることができる。加えて、我々が提供したクローン化 D N A は、当該分子の可溶性組み替え体に使用される全てのアミノ酸をコードするようである。

[0269]

T-BAMの表現のために、P1-1b(1.3kB)は、それが dDNAO3'-U T 領域をコードするので、おそらく必要ではない。しかしながら、cDNAO3'-UT 領域は、他の 3'-UT と同様に、T-BAM表現の調節に関与するようであり、それ故、p1-1b(1.3)は、将来の研究において、調節機能における 3'UT の役割を確立するために重要であろう。

[0 2 7 0]

30

50

20

30

40

50

ードするものである。この B s t Y I 部位が両方の断片の制限マッピング(および配列決定)後にユニークではないようであれば、他の 6 つの部位が近くに存在する。

【化6】

[0271]

この断片は、ついで、BstYIによるp1-1b(0.8kB)の消化、および指向性(鈍端)クローン化のためのBstYIおよびEcoR5によるPCR断片の消化によってp1-1b(0.8kB)へ結さつされる。得られた挿入物(15bpネズミリーダー-200bpPCR断片-および600bpBstYI/p1-1b(0.8kB)断片を含む)は、中間体ベクターから表現ベクター中に指向的にクローン化されてT-BAMタンパク合成を誘発する。

[0272]

全長クローンがそのような表現ベクター中に結さつされると、線維芽細胞系(293細胞のような)中に一時的に形質移入され得、ついでFACSによりT-BAM表現についてアッセイされる。さらに、T-BAMを表現する線維芽細胞は、休止ヒトBリンパ球で培養することができ、またはRAMOS266クローンおよびついでB細胞を表面CD23表現の誘起にかんして研究することができる。

[0273]

[0274]

p1-1b(1.3)kBを含む全長挿入物の構造は、また、クローン1-1bの g t-11DNAのPCRを行い、ついでこの断片のブルースクリプトへの鈍端クローニングを行うことによっても決定することができる。このクローン化されたPCR断片の全長配列のDNA配列を決定する。この配列とp1-1b(1.3kB)およびp1-1b(0.8kB)の1.3および0.8kB挿入物のそれとの比較は、それらの正確なp1-1b(1.3kB)の5′・3′配位の決定を容易にする。これらの断片から全長cDNAクローンを生成させるために、1.3kB挿入物をp1-1b(1.3kB)/ブルースクリプトIIS K+クローンのEcoR1消化により遊離させ、ゲル精製する。ついで、p1-1b(0.8kB)/ブルースクリプトIIS K+プラスミドの部分EcoR1消化を行い、線形体をゲル精製する。次に、1.3kBEcoR1挿入物を部分的に消化たのは線形化)p1-1b(0.8kB)/ブルースクリプトSK+プラスミド中に結さつし、コンピテントバクテリアを形質転換する。この形質転換からのクローンの詳細な制限マップは、正しい配位に結さつされた1.3および0.8kB挿入物を共に有する全長c

20

30

40

50

DNA挿入物の同定を可能にする。ついで、この全長挿入物(pT-BAM/ブルースクリプトIIS K+)の配列決定を行い、それが正しい配位に2つの挿入物を有していることを確認する。次に、ブルースクリプト上のポリ・リンカーによりこれら断片をpCDNA-1のような真核性表現ベクター中に指向的にクローン化することが可能になる。ついで、このpCDNA-1/pT-BAM293細胞のような線維芽細胞中に形質移入し、これを表面T-BAMタンパクの表現について研究することができる。

[0 2 7 5]

このクローンを表現するに当たり、予知されない問題があるかもしれない。 5 ' または 3 ' 非翻訳配列のいくつかが除去されて表現を許容する場合がある。これは、得られた配列情報を用いて容易に達成できる。加えて、 p T - B A M / p C D N A - 1 のような c D N A クローンがライブラリーのオリジナルな発生から派生する配列中でエラーを有するという場合がまれにある(典型的に、逆転写酵素反応)。この場合は、他の 8 つの g t - 1 クローンを上に述べたと同様に研究し、これらクローンを再構築して T - B A M のための表現プラスミドを生成させる。

[0276]

クローンの配列分析は、 I g E 分泌を誘発する、活性化ネズミ T 細胞上の分子であるネズミ C D 4 0 - L と相同を有するタイプ II 表面膜糖タンパクをすでに明らかにしている。これらタンパクの両方は、広範な免疫学的および他の機能を有するサイトカインおよび細胞表面エフェクター分子を含む T N F スーパーファミリーのメンバーである。

[0277]

他の関連する遺伝子が存在するかどうかを決定するために、クローンp3-1/ブルースクリプトIIS K+03 3 0 b p 挿入物を用いてヒトDNA(ヘラ・セルズ(He Ia Ce IIs から)のサザンブロットをプローブした。興味のあることに、3つのバンドが観察された。T-BAMおよびCD40-Lがこれらバンドの2つを説明するようであることを考え併せると、これらデータは、「T-ヘルパー・エフェクター」分子のこのファミリーの少なくとも1つの他のメンバーが存在することを示唆している。あるいは、T-BAMおよびCD40-Lの機能的性質は別のものであるが、T-BAMがCD40-Lのヒト同族体であるという可能性がなお存在する。T-BAMとCD40-Lが同族であることが見い出されたら、サザンデータは、そのような形態のヘルパー分子の他の2つのメンバーが存在し得ることを示唆する。

[0 2 7 8]

考察

本研究において、 B 細胞分化を指示する、 C D 4 + T リンパ球上の細胞表面タンパク T - B A M を共にコードする P C R 生成物および c D N A クローン

T-BAMは、tnf 遺伝子スーパーファミリーのメンバーであることがわかった。非常に有意であることに、T-BAMは、マウス中で(アーミテージら、1992)、特にヒトT-BAMとネズミCD40-Lとの間の配列同一性が約85%であった細胞質膜内外および茎領域において最近同定されたCD40-Lと関連している。これらの新しいデータは、T-BAMおよびCD40-Lは、B細胞誘起T細胞表面分子の構造的に異なるアイソフォームであることを示唆している。もっとも、そのような概念の直接的な確認には、両アイソフォームのネズミおよびヒト同族体の同定と、特に、p1-1(0.8kB)クローンの残燈におけるコード領域の配列決定を要するであろう。

[0279]

従前のデータは、T-BAMとCD40-Lとは関連しているが、機能的には別のものであることを示唆している。T-BAMはIgG合成を指示するが、CD40-LはIgEの合成を指示する(アーミテージら、1992)。IgGに体するT-BAMへルパー機能の制限は、最近、D1.1がrIL4の存在下にRAMOS B細胞のIgM+クローンを誘発してIgEおよび他の異性タイプではなく排他的にIgG1へクラススイッチさせる(未公表)という観察により強化された。これらの実験において、Ramos細胞(1ウェル当たり30細胞)を100のミトマイシン-C-処理D1.1細胞のフィーダそ

30

40

50

う上で2ないし3週間培養し、培養した上澄をアイソタイプおよびサプクラス特異的EL ISAにより、Ig分泌について研究した。D1.1細胞およびrIL-4の存在下での み、 R a m o s 細胞は I g G 1 を分泌する細胞系(実験 1 における 4 / 1 5 クローンおよ び実験 2 における 1 9 / 5 9 クローン)に分化した。これに対し、 B 2 . 7 細胞は分化お よびアイソタイプスイッチングを誘起しなかった。さらに組み換え体1L-4はアイソタ イプスイッチングに必要であった。これらデータは、T-BAMおよびCD40が別のア イ ソ タ イ プ の 1 9 の 表 現 を 指 示 す る B 細 胞 誘 起 T 細 胞 表 面 分 子 の ア イ ソ フ ォ ー ム で あ る こ とを示唆している。

[0280]

この点に関し、mAb抗CD40が増殖、分化および全てのアイソタイプ19を含むポ リクローン性Ig生産を誘起することが示された(バンチェローら、1991a;バンチ ェローら、1991b)ことは、興味のあることである。さらに、両分子がB細胞上のC D4分子を含む重要な相互作用を有するらしいことは、興味のあることである。CD40 - L の場合には、C D 4 0 - L および C D 4 0 は、受容体 - c o - 受容体関係を含むよう である(アーミテージら、1992)。T-BAMの場合には、そのような関係は、2つ の異なる構造に対するmAbによるそれらの機能のレシプロカル遮断により示唆されるが 受容体リガンド関係の直接の証拠は存在しない。それらの機能的差異と考え併せると、 これらデータは、CD40-LとT-BAMは、両者がB細胞上のCD40分子と相互作 用するらしいという事実にもかかわらず、異なる機能的重要性を持つことを示唆する。

[0281]

抗体アイソタイプに対する異なる効果に加えて、T-BAMおよびCD40-Lは、異 なるパターンの表現と B 細 胞 増 殖 に つ い て の 要 求 を 持 つ 。 P H A お よ び P M A 刺 激 後 の 5 c 8 Agの細胞表面表現の動態は、最適表現が6時間後に生じるが、24時間までにべ ースライン(無)表現をもたらすダウンレグレーションが起こるという点(デダーマンら 、 1 9 9 2)で比較的ユニークである。これに対し、 C D 4 0 - L は、同様の刺激により 、 > 72時間持続されるようである。さらに、T-BAM+D1.1細胞は、rIL4ま たはPHAの文脈においてのみB細胞表現を誘起するが、CD40-L+トランスフェク トーマは、加えたサイトカインまたはレクチンの不存在下でB細胞増殖を誘起する(アー ミテージら、1992)。これらデータは、CD40-LとT-BAMによりB細胞に提 供されたシグナルは異なるものであり、それゆえ、これら分子が関連はするが別の機能を 有する異なるアイソフォームであるという構造的示唆と一致する。

[0282]

B 細 胞 表 面 上 の C D 4 0 分 子 は 、 リ ン パ 節 B 細 胞 分 化 に 関 連 し た 興 味 の あ る シ グ ナ リ ン グ 機 能 を 有 す る (ク ラ ー ク ら 、 1 9 8 6 ; ク ラ ー ク ら 、 1 9 8 8 ; レ ド ベ タ ー ら 、 1 9 8 7; レドベターら1986)。何故なら、抗CD40(mAbG28-5(クラークら、 1986))は、プログラムされた胚中心B細胞壊死(アポプトシス)を防止するからで ある(リューら、1989)。この点で、CD40がアポプトシシに体するTおよびB細 胞表面受容体であるFAS(イトーら、1991)と同族であることは興味のあることで ある。リンパ器官中のT-B相互作用がアポプトシスを含むという程度まで、これらデー タは、 C D 4 0 分子との相互作用に加えてT-B A M は F A S (イトーら、 1 9 9 1)と 相互作用し得ることを示唆する。事実、我々は、最近、mAb抗FAS(Apo-1)(エームら、1992;イトーら、1991)がCD23のRAMOS266およびB細胞 誘起に対するD1.1効果を部分的に疎外することを観察した(未公表観察)。T-BA MがCD40とFAS双方と相互作用し得るという考えは、CD40toFASが異なる 受容対構造であり得るか、またはヘテロ二量体受容体を形成し得るという考えを示唆する 。ある種のTNF R様分子は、多量体として、CD27の場合にはおそらくホモニ量体 として存在することが知られている(カメリニら、1991)。tnf 様分子の多量体 受容体との相互作用は、また、このファミリーの唯一の結晶化メンバーであるtnf(ハ コシマら、1988;スミスら、1987)およびngf(マクドナルドら、1991) の分配された三量体構造によっても示唆される。FASおよびTNF がヘテロニ量体を

[0 2 8 3]

TおよびB細胞間で作用するtnf 様およびTFN 様相互作用の多くの例が以下の表6に示されている。tnf 様分子の性質および機能に関し、正確な機能CD38(ジャクソンら、1990)は未知であり、ngfはがB細胞分化に効果を有することは報告されている(キマタら、1991;オッテンら、1989)が、B細胞生理学におけるngf・NGFR(セーガルら、1989;チャオら、1986;ジョンソンら、1986)相互作用の役割は、現在、わかっていない。TNF R様分子の中で、CD27およびO×40の機能は現在未知であるが、CD27(マレットら、1991)が2つの形態として表現され、O×40(マレットら、1990)表現がCD8+T細胞ではなくCD4+に制限されるということは、興味深い。これら両方の分子は、T細胞活性化により誘起される。「ホジキン(Hodgkm)の抗原」CD30(ダーコプら、1992)の生理学的役割は未知である。

【表6】

表 6

T及びB細胞上の tnf α - tnf α Rファミリーのメンバーを含む細胞表面相互作用

工知 肥 ヘルプ・ 後 岩 1本	B 美田 157	
T-BAH (ヘルプ IgG) CD40-L (ヘルプ IgE)	CD40/*x* CD40/*y*	10
· アポップトシスメディューター/後客分本		
tnfa (和肥皂面) tnfa (可溶性)	TNFARI/TNFARI TNFARII/TNFARII TNFARI/TNFARII STNFARI STNFARI	
tnfB (リンフォトキシン)	TNFaR others?	
tnfaR (2 アイソフォーム)	tnia	20
?FAS/FAS ?FAS/tnfaR	? ?	
? ?	FAS/FAS FAS/tnfaR	
未知の機能の表面分子		
CD27/CD27 CD27/CD27a sCD27	? ? ?	30
7	CD27/CD27	
Ox-40 (ラット,マウス) (CD4+ T 知 胞 好 実 Y生)	??	
CD38 (OKT10) (??	
ngf	NGFR	
7	CD30 (ボジキンの Assoc. Ag)	40

[0 2 8 4]

tnf 科のいくつかの部分の重要な特徴は、tnf のプロサイトカイン表面品種の蛋白分解の分裂がtnf の溶解サイトカイン品種を生じることである。将来の研究は、T-BAMがプロテアーゼで分解されならば、かつ溶液 T-BAMの役割はもし同定されるならば、T-Bセル相互作用で働くならかもしないことが決定するはずである。TNFRs(ウミールら、1987;ヒーラーら、1990;グラィら、1990)およびCD27(ローエンら、1992;ディヨングら、1991)分子は溶液形態を有すること

が重要であり、 C D 4 0 分子の溶液形態が存在し、かつ T - B 相互作用で役割を果たすであろうことを示唆する。

[0285]

その上に、 C D 4 0 の B セルとの T セル表面分子の相互作用の複雑さは、 C D 4 0 - L (3 9 k D a 対 3 3 k D a)に比べてかなり大きな分子量を有する他のねずみ科の C D 4 0 - L の最近リポートによって示唆されている(アーミテージら、 1 9 9 2 ; ノエルら、 1 9 9 2)。 しかしながら、その正確な構成または T - B A M または C D 4 0 - L の関係は正確には知られていない。

[0286]

けれども、いくつかの他のBセル表面分子はリンパ組織中で従属信号を受けることで役割を果たすかもしれないことが述べられている。しかしながら、阻害するD1.1-Bセル相互作用のmAb 5c8の効果は、BセルとのD1.1相互作用で効果のない抗CR2、抗LFAI、抗LFA3または抗ICAMで試験される抗体間で比較的独特のであることが明らかである。したがって、T-B相互作用の前記T-BAM従属段階は促進効果因子の分別する工程であることが明らかである。

[0287]

T-BAM発現の瞬間的性質は、そのT-B"同源対"を安定にする役割をなすかもしれないことを示唆する。"同源"天然のままのプロテイン特異Bセルとの活性ペプチド特異CD4+Tセルの物理的関連は、"抗原ブリッジ"として生理学的に規定の分子基本であることが明らかである。

[0288]

T-BAMとCD40-L間の関係を明らかにすることに加えて、T-BAMを暗号化する c D N A の有益さは、別の一種、特にT-BAM因子の生理学的様子が過発現(遷移因子中)によるかまたは標的にされる因子分裂によって宛名書きされることができるねずみ、の中の同種の遺伝子を確認することを許容する。さらに、T-BAM特異 c D N A プローブの有益さは、組み換えレベルでT-BAM発現の規則の分析を促進し、同様に遺伝子操作によってT-BAM因子性状の構造決定を研究するための手段を供する。

[0289]

免疫性生理機能のそれら役割に加えて、いくつかのTNF R科員はウイルス性病原体によって利用されていることが明らかである。粘液種ウイルスはウイルス病毒性を伴うTNF Rに対して同種の分泌タンパク質を発現する(アプトンら、1991)。さらに、シープフィブロマウイルスからの読取り枠によって暗号化されたタンパク質はTNF Rに対して同種である(スミスら、1990)。したがって、これら分子を理解することの付加的な特徴は免疫性病原体、例えば自己免疫疾患を誘発するT-BAMのような分子の機能範囲を利用する新規なウイルスの識別化または特徴付けであるかもしれない。

【参考文献】

[0290]

20

Andersson, J., M. H. Schreier, and F. Melchers. 1980. T-Cell-dependent B-cell stimulation is H-2 restricted and antigen dependent only at the resting B-cell level. Proc. Natl. Acad. Sci. U. S. A. 77:1612.

Armitage, R. J., W. C. Fanslow, L. Strockbine, T. A. Sato, K. N. Clifford, B. M. Macduff, D. M. Anderson, S. D. Gimpel, T. Davis-Smith, C. R. Maliszewski, A.Clark, C. A. Smith, K. H. Grabstein, D. Cosman, and 1992. Molecular and biological Κ. Spriggs, characterization of a murine ligand for CD40. 357:80-82.

Ashman, R. B. and A. Mullbacher. 1979. A T helper cell for anti-viral cytotoxic T-cell responses. J. Exp. Med. 150:1277.

Askonas, B. A. and A. R. Williamson. 1972. Factors affecting the propagation of a B cell clone forming antibody to the 2,4-dinitrophenyl group. Eur. J. Immunol. 2:487.

Banchereau, J., P. De Paoli, A. Valle, E. Garcia, and F. Rousset. 1991a. Long-term human B cell lines dependent on interleukin-4 and antibody to CD40. Science 251:70.

Banchereau, J. and F. Rousset. 1991b. Growing human B lymphocytes in the CD40 system. Nature 353:678.

Bank, I., R. A. DePinho, M. B. Brenner, J. Cassimeris, F.

10

20

30

20

30

40

W. Alt, and L. Chess. 1986. A functional T3 molecule associated with a novel heterodimer on the surface of immature human thymocytes. *Nature* 322:179.

Barrett, T. B., G. Shu, and E. A. Clark. 1991. CD40 signaling activates CD11a/CD18 (LFA-1)-mediated adhesion in B cells. J. Immunol. 146:1722.

Bartlett, W. C., J. McCann, D. M. Shepherd, M. Roy, and R. J. Noelle. 1990. Cognate interactions between helper T cells and B cells. IV. Requirements for the expression of effector phase activity by helper T cells. J. Immunol. 145:3956.

Bartlett, W. C., A. Michael, J. McCann, D. Yuan, E. Claassen, and R. . Noelle. 1989. Cognate interactions between helper T cells and B cells. II. Dissection of cognate help by using a class II-restricted, antigenspecific, IL-2-dependent helper T cell clone. J. Immunol. 143:1745.

Bennink, J. R. and P. C. Doherty. 1978. Different rules govern help for cytotoxic T cells and B cells. *Nature* 276:829.

Bevilacqua, M. P., J. S. Pober, D. L. Mendrick, R. S. Cotran, and M. A. Gimbrone. 1987. Identification of an inducible endothelial-leukocyte adhesion molecule. *Proc. Natl. Acad. Sci. U.S.A.* 84:9238.

Bjorndahl, J. M., S. Nakamura, T. Hara, L. K. Jung, and S. M. Fu. 1988. The 28-kDa/32-kDa activation antigen EAl. Further characterization and signal requirements for its

expression. J. Immunol. 141:4094.

Borst, J., C. Sluyser, E. De Vries, H. Klein, C. J. Melief, and R. A. van Lier. 1989. Alternative molecular form of human T cell-specific antigen CD27 expressed upon T cell activation. Eur. J. Immunol. 19:357.

10

Brian, A. A. 1988. Stimulation of B-cell proliferation by membrane-associated molecules from activated T cells. Proc. Natl. Acad. Sci. U. S. A. 85:564.

Brian, A. A. 1988. Stimulation of B-cell proliferation by membrane-associated molecules from activated T cells. Proc. Natl. Acad. Sci. U. S. A. 85:564.

20

Cambier, J. C. and M. H. Julius. 1988. Early changes in quiescent B cell physiology subsequent to cognate and bystander interaction with helper T cells. Scand. J. Immunol. 2759.

__

Carter, R. H., M. O. Spycher, Y. C. Ng, R. Hoffman, and D. T. Fearon. 1988. Synergistic interaction between complement receptor type 2 and membrane IgM on B lymphocytes. J. Immunol. 141:457.

30

Chao, M. V., M. A. Bothwell, A. H. Ross, H. Koprowski, A. A. Lanahan, C. R. Buck, and A. Sehgal. 1986. Gene transfer and molecular cloning of the human NGF receptor. Science 232:518.

40

Clark, E. A. and J. A. Ledbetter. 1986. Activation of human B cells mediated through two distinct cell surface differentiation antigens, Bp35 and Bp50. Proc. Natl.

Acad. Sci. U. S. A. 83:4494.

Clark, E. A., T. C. Yip, J. A. Ledbetter, H. Yukawa, H. Kikutani, T. Kishimoto, and M. H. Ng. 1988. CDw40 and BLCa-specific monoclonal antibodies detect two distinct molecules which transmit progression signals to human B lymphocytes. Eur. J. Immunol. 18:451.

10

Clark, E. A., G. L. Shu, B. Luscher, K. E. Draves, J. Banchereau, J. A. Ledbetter, and M. A. Valentine. 1989. Activation of human B cells. Comparison of the signal transduced by IL-4 to four different competence signals. J. Immunol. 143:3873.

20

Clark, E. A. 1990. CD40: a cytokine receptor in search of a ligand. Tissue Antigens. 36:33.

Clement, L. T., M. K. Dagg, and G. L. Gartland. 1984. Small, resting B cells can be induced to proliferate by direct signals from activated helper T cells. J. Immunol. 132:740.

30

Camerini, D., G. Walz, W. A. Loenen, J. Borst, and B. Seed. 1991. The T cell activation antigen CD27 is a member of the nerve growth factor/tumor necrosis factor receptor gene family. J. Immunol. 147:3165.

Crow, M. K. and H. G. Kunkel. 1985. Activated B lymphocytes: stimulators of an augmented autologous mixed leukocyte reaction. *Cell Immunol*. 90:555.

40

Crow, M. K., B. Kushner, J. A. Jovers, S. M. Friedman, S. E. Mechanic, and W. Stohl. 1989. Human peripheral blood

Thelper cell-induced B cell activation results in B cell surface expression of the CD23 (BLAST-2) antigen. Cell Immunol. 121:99.

Crow, M. K., J. A. Jover, and S. M. Friedman. 1986. Direct T helper-B cell interactions induce an early B cell activation antigen. J. Exp. Med. 164:1760.

10

Chestnut, R. W. and H. M. Grey. 1981. Studies on the capacity of B cells to serve as antigen-presenting cells. J. Immunol. 126:1075.

20

Damle, N. K., P. S. Linsley, and J. A. Ledbetter. 1991. Direct helper T cell-induced B cell differentiation involves interation between T cell antigen CD28 and B cell activation antigen B7. Eur. J. Immunol. 21:1277.

Doech, H. M., R. K. Schuurman, and E. W. Gelfant. 1980. Polyclonal activation of human lymphocytes in vitro-II. Reappraisal of T and B cell-specific mitogens. J. Immunol. 125:827.

30

DeFranco, A. L., J. D. Ashwell, R. H. Schwartz, and W. E. Paul. 1984. Polyclonal stimulation of resting B lymphocytes by antigen-specific T lymphocytes. J. Exp. Med. 159:861.

De Jong, R., W. A. Loenen, M. Brouwer, L. van Emmerik, E. F. de Vries, J. Borst, and R. A. van Lier. 1991. Regulation of expression of CD27, a T cell-specific member of a novel family of membrane receptors. J. Immunol. 146:2488.

Dembic, Z., H. Loetscher, U. Gubler, Y. C. Pan, H. W. Lahm, R. Gentz, M. Brockhaus, and W. Lesslauer. 1990. Two human TNF receptors have similar extracellular, but distinct intracellular, domain sequences. *Cytokine*. 2:231.

10

Depper, J. M., W. J. Leonard, M. Kronke, P. D. Noguchi, R. E., Cunningham, T. A. Waldmann, and W. C. Greene. 1984. Regulation of interleukin 2 receptor expression: effects of phorbol diester, phospholipase C, and reexposure to lectin or antigen. J. Immunol. 133:3054.

20

Doyle, C. and J. L. Strominger. 1987. Interaction between CD4 and class II MHC molecules mediates cell alhesion. Nature 330:256.

Dirkop, H., U. Latza, M. Hummel, F. Eitelbach, B. Seed, and H. Stein. 1992. Molecular cloning and expression of a new member of the nerve growth factor receptor family that is characteristic for Hodgkin's disease. *Cell* 69:421.

30

Emilie, D., C. Wallon, P. Galanaud, A. Fischer, D. Olive, and J. F. Delfraissy. 1988. Role of the LFA3-CD2 interaction in human specific B cell differentiation. J. Immunol. 141:1912.

40

Engelmann, H., H. Holtmann, C. Brakebusch, Y. S. Avni, I. Sarov, Y. Nophar, E. Hadas, O. Leitner, and D. Wallach. 1990. Antibodies to a soluble form of a tumor necrosis factor (TNF) receptor have TNF-like activity. J. Biol.

Chem. 265:14497.

Fan, S. T., A. L. Glasebrook, and T. S. Edgington. 1990. Clonal analysis of CD4+ T helper cell subsets that induce the monocyte procoagulant response. Cell Immunol. 128:52.

10

Fan, S. T. and T. S. Edgington. 1988. Clonal analysis of mechanisms of murine T helper cell collaboration with effector cells of macrophage lineage. *J. Immunol.* 141:1819.

Farrah, T. and C. A. Smith. 1992. Emerging cytokine family. Nature 358:26.

20

Friedman, S. M., J. M. Breard, and L. Chess. 1976. Triggering of human peripheral blood B cells: polyclonal induction and modulation of an in vitro PFC response. J. Immunol. 117:2021.

30

Friedman, S. M., M. K. Crow, O. H. Irigoyen, C. Russo, D. N. Posnett, and L. Rogozinski. 1986. Human helper-T-cell function does not require T4 antigen expression. *Cell Immunol*. 103:105.

40

Goodwin, R. G., D. Anderson, R. Jerzy, T. Davis, C. I. Brannan, N. G. Copeland, N. A. Jenkins, and C. A. Smith. 1991. Molecular cloning and expression of the type 1 and type 2 murine receptors for tumor necrosis factor. Mol. Cell Biol. 11:3020.

Goldberg, D., A. Green, A. B. Gottlieb, M. K. Crow, A. Lewison, and S. M. Friedman. 1985. Cloned allospecific human helper T cell lines induce an MHC-restricted

20

30

40

proliferative response by resting B cells. J Immunol. 135:1012.

Gray, D. and H. Skarvall. 1988. B-cell memory is shortlived in the absence of antigen. Nature 336:70.

Gray, D., M. Kosco, and B. Stockinger. 1991. Novel pathways of antigen presentation for the maintenance of memory. Int. Immunol. 3:141.

Gray, P. W., K. Barrett, D. Chantry, M. Turner, and M. Feldmann. 1990. Cloning of human tumor necrosis factor (TNF) receptor cDNA and expression of recombinant soluble. TNF-binding protein. Proc. Natl. Acad. Sci. U. S. A. 87:7380.

Grusby, M. J., R. S. Johnson, V. E. Papaioannou, and L. H. Glimcher. 1991. Depletion of CD4⁺ T cells in major histocompatibility complex class II-deficient mice. Science 253:1417.

Hakoshima, T. and K. Tomita. 1988. Crystallization and preliminary X-ray investigation reveals that tumor necrosis factor is a compact trimer furnished with 3-fold symmetry. J. Mol. Biol. 201:455.

Hara, T., L. K. Jung, J. M. Bjorndahl, and S. M. Fu. 1986. Human T cell activation. III. Rapid inducation of a phosphorylated 28 cD/32 kD disulfide-linked early activation antigen (EA 1) by 12-o-tetradecanoyl phorbol-13-acetate, mitogens, and antigens. J. Exp. Med. 164:1988.

20

30

40

Hart, D. N. and J. L. McKenzie. 1988. Isolation and characterization of human tonsil dendritic cells. J. Exp. Med. 168:157.

Heller, R. A., K. Song, M. A. Onasch, W. H. Fischer, D. Chang, and G. M. Ringold. 1990. Complementary DNA cloning of a receptor for tumor necrosis factor and demonstration of a shed form of the receptor. *Proc. Natl. Acad. Sci. U. S. A.* 87:6151.

Himmler, A., I. Maurer Fogy, M. Kronke, P. Scheurich, K. Pfizenmaier, M. Lantz, I. Olsson, R. Hauptmann, C. Stratowa, and G. R. Adolf. 1990. Molecular cloning and expression of human and rat tumor necrosis factor receptor chain (p60) and its soluble derivative, tumor necrosis factor-binding protein. DNA Cell Biol. 9:705.

Hirohata, S., D. F. Jelinek, and P. E. Lipsky. 1988. T cell-dependent activation of B cell proliferation and differentiation by immobilized monoclonal antibodies to CD3. J. Immunol. 140:3736.

Hodgkin, P. D., L. C. Yamashita, R. L. Coffman, and M. R. Kehry. 1990. Separation of events mediating B cell proliferation and Ig production by using T cell membranes and lymphokines. J. Immunol. 145:2025.

Inghirami, G., B. Y. Zhu, L. Chess, and D. M. Knowles. 1990. Flow cytometric and immunohistochemical characterization of the gamma/delta T-lymphocyte population in normal human lymphoid tissue and peripheral blood. Am. J. Pathol. 136:357.

Inghirami, G., D. R. Foitl, A. Sabichi, B. Y. Zhu, and D. M. Knowles. 1991. Autoantibody-associated cross-reactive idiotype-bearing human B lymphocytes: distribution and characterization, including Ig VH gene and CD5 antigen expression. *Blood* 78:1503.

10

Itoh, N., S. Yonehara, A. Ishii, M. Yonehara, S. Mizushima, M. Sameshima, A. Hase, Y. Seto, and S. Nagata. 1991. The polypeptide encoded by the cDNA for human cell surface antigen Fas can mediate apoptosis. *Cell* 66:233.

20

Jackson, D. G. and J. I. Bell. 1990. Isolation of a cDNA encoding the human CD38 (T10) molecule, a cell surface glycoprotein with an unusual discontinuous pattern of expression during lymphocyte differentiation. J. Immunol. 144:2811.

_

Janeway, C. A., S. Carding, B. Jones, J. Murray, P. Portoles, R. Rasmussen, J. Rojo, K. Saizawa, J. West, and K. Bottomly 1988. CD4⁺ T cells: specificity and function. *Immunol. Rev.* 101:39.

30

Johnson, D., A. Lanahan, C. R. Buck, A. Sehgal, C. Morgan, E. Mercer, M. Bothwell, and M. Chao. 1986. Expression and structure of the human NGF receptor. Cell 47:545.

Jones, B. and C. A. Janeway. 1981. Cooperative interaction of B lymphocytes with antigen-specific helper T lymphocytes is MHC restricted. *Nature* 292:547.

40

Jover, J. A., E. K. Chartash, B. Kushner, S. M. Friedman,

20

30

40

and M. K. Crow. 1989. Thelper cell-induced CD23 (BLAST-2) expression: an activation marker for the high density fraction of human B cells. Clin. Immunol. Immunopathol. 53:99.

Julius, M. H., J. M. Chiller, and C. L. Sidman. 1982. Major histocompatibility complex-restricted cellular interactions determining B cell activation. Eur. J. Immunol. 12:627.

Julius, M. H. and H. G. Rammensee. 1988. Thelper cell-dependent induction of resting B cell differentiation need not require cognate cell interaction. Eur. J. Immunol. 18:375.

Julius, M. H., H. G. Rammensee, M. J. Ratcliffe, M. C. Lamers, J. Langhorne, and G. Kohler. 1988. The molecular interactions with helper T cells which limit antigenspecific B cell differentiation. Eur. J. Immunol. 18:381.

Kast, W. M., A. M. Bronkhorst, L. P. de Waal, and C. J. Melief. 1986. Cooperation between cytotoxic and helper T lymphocytes in protection against lethal Sendai virus infection. Protection by T cells is MHC-restricted and MHC-regulated; a model for MHC-disease associations. J. Exp. Med. 164:723.

Katz, D. H., T. Hamaoka, M. E. Dorf, and B. Benacerraf. 1973. Cell interactions between histoincompatible T and B lyphocytes. The H-2 gene complex determines successful physiologic lymphocyte interactions. *Proc. Natl. Acad. Sci. U. S. A.* 70:2624.

20

30

40

Kimata, H., A. Yoshida, C. Ishioka, T. Kusunoki, S. Hosoi, and H. Mikawa. 1991. Nerve growth factor specifically induces human IgG4 production. Eur. J. Immunol. 21:137.

Kirchevsky, A., E. G. Armstrong, J. Schlatterer, S. Birken, J. O'Connor, K. Bikel, S. Silverberg, J. W. Lustbader, and R. E. Canfield. 1988. Preparation and characterization of antibodies to the urinary fragment of the human chorionic gonadotropin beta-subunit. Endocrinology 123:584.

Ko, H. S., S. M. Fu, R. J. Winchester, D. T. Yu, and H. G. Kunkel. 1979. Ia determinatns on stimulated human T lymphocytes. Occurrence on mitogen- and antigenactivated T cells. J. Exp. Med. 150:246.

Krensky, A. M., C. Clayberger, C. S. Reiss, J. L. Strominger, and S. J. Burakoff. 1982. Specificity of OKT4+ cytotoxic T lymphocyte clones. J. Immunol. 129:2001.

Krusemeier, M. and E. C. Snow. 1988. Induction of lymphokine responsiveness of hapten-specific B lymphocytes promoted through an antigen-mediated T helper lymphocyte interaction. J. Immunol. 140:367.

Kubota, E., D. T. McKenzie, R. W. Dutton, and S. L. Swain. 1991. Role of T cells in the B-cell response: glutaraldehyde-fixed T-helper hybridoma cells synergize with the lymphokines IL-4 to induce B-cell activation and proliferation. *Immunology*. 72:40.

20

30

40

Kupfer, A. and S. J. Singer. 1989. Cell biology of cytotoxic and helper T cell functions: immunofluorescence microscopic studies of single cells and cell couples.

Annu. Rev. Immunol. 7:309.

Kupfer, A., S. L. Swain, and S. J. Singer. 1987. The specific direct interaction of helper T cells and antigen-presenting B cells. II. Reorientation of the microtubule organizing center and reorganization of the membrane-associated cytoskeleton inside the bound helper T cells. J. Exp. Med. 165:1565.

Ledbetter, J. A., G. Shu, M. Gallagher, and E. A. Clark. 1987. Augmentation of normal and malignant B cell proliferation by monoclonal antibody to the B cell-specific antigen BP50 (CDW40). J. Immunol. 138:788.

Ledbetter, J. A. and E. A. Clark. 1986. Surface phenotype and function of tonsillar germinal center and mantle zone B cell subsets. Hum. Immunol. 15:30.

Lederman, S., M. J. Yellin, A. Krichevsky, J. Belko, J. J. Lee, and L. Chess. 1992. Identification of a novel surface protein on activated CD4+ T cells that induces contact dependent B cell differentiation (help). J. Exp. Med. 175:1091.

Leist, T. P., M. Kohler, and R. M. Zinkernagel. 1989. Impaired generation of anti-viral cytotoxicity against lymphocytic choriomeningitis and vaccinia virus in mice treated with CD4-specific monoclonal antibody. Scand. J. Immunol. 30:679.

Lewis, M., L. A. Tartaglia, A. Lee, G. L. Bennett, G. C. Rice, G. H. Wong, E. Y. Chen, and D. V. Goeddel. 1991. Cloning and expression of cDNAs for two distinct murine tumor necrosis factor receptors demonstrate one receptor is species specific. *Proc. Natl. Acad. Sci. U. S. A.* 88:2830.

10

Linsley, P. S., E. A. Clark, and J. A. Ledbetter. 1990. T-cell antigen CD28 mediates adhesion with B cells by interacting with activation antigen B7/BB-1. Proc. Natl. Acad. Sci. U.S.A. 87:5031.

Liu, Y. J., D. E. Joshua, G. T. Williams, C. A. Smith, J. Gordon, and I. C. MacLennan. 1989. Mechanism of antigendriven selection in germinal centres. *Nature* 342:929.

20

Liu, Y-J., G. D. Johnson, J. Gordon, and I. C. M. MacLennan. 1992. Germinal centers in T-cell-dependent antibody responses. *Immunol. Today* 13:17.

30

Liu, Y. J., J. A. Cairns, M. J. Holder, S. D. Abbot, K. U. Jansen, J. Y. Bonnefoy, J. Gordon, and I. C. MacLennan. 1991. Recombinant 25-kDa CD23 and interleukin 1 alpha promote the survival of germinal center B cells: evidence for bifurcation in the development of centrocytes rescued from apoptosis. Eur. J. Immunol. 21:1107.

40

Loenen, W. A., E. De Vries, L. A. Gravestein, R. Q. Hintzen, R. A. van Lier, and J. Borst. 1992. The CD27 membrane receptor, a lymphocyte-specific member of the nerve growth factor receptor family, gives rise to a soluble form by protein processing that does not involve

receptor endocytosis. Eur. J. Immunol. 22:447.

Loetscher, H., Y. C. Pan, H. W. Lahm, R. Gentz, M. Brockhaus, H. Tabuchi, and W. Lesslauer. 1990. Molecular cloning and expression of the human 55 kd tumor necrosis factor receptor. *Cell 61*:351.

10

Lohoff, M., M. Dirks, P. Rohwer, and M. Rollinghoff. 1989. Studies on the mechanism of polyclonal B cell stimulation by Th2 cells. Eur. J. Immunol. 1977.

Mallett, S., S. Fossum, and A. N. Barclay. 1990. Characterization of the MRC OX40 antigen of activated CD4 positive T lymphocytes--a molecule related to nerve growth factor receptor. *EMBO J. 9*:1063.

20

Martin, P. J., J. A. Ledbetter, Y. Morishita, C. H. June, P. G. Beatty, and J. A. Hansen. 1986. A 44 kilodalton cell surface homodimer regulates interleukin 2 production by activated human T lymphocytes. J. Immunol. 136:3282.

30

40

Martinez, A. C. and A. Coutinho. 1981. B-cell activation is a two step process. Nature 290:60.

McDonald, N. Q., R. Lapatto, J. Murray Rust, J. Gunning, A. Wlodawer, and T. L. Blundell. 1991. New protein fold revealed by a 2.3-A resolution crystal structure of nerve growth factor. Nature 354:411.

Mitchell, G. F. and J. F. Miller. 1968. Cell to cell interaction in the immune response. II. The source of hemolysin-forming cells in irradiated mice given bone marrow and thymus or thoracic duct lymphocytes. J. Exp.

Med. 128:821.

Mitchison, N. A. 1971. The carrier effect in the secondary response to hapten-protein conjugates. V. Use of antilymphocyte serum to deplete animals of helper cells. Eur. J. Immunol. 1:68.

10

Nemerow, G. R., M. E. McNaughton, and N. R. Cooper. 1985. Binding of monoclonal antibody to the Epstein Barr virus (EBV)/CR2 receptor induces activation and differentiation of human B lymphocytes. J. Immunol. 135:3068.

20

Noelle, R. J., J. Daum, W. C. Bartlett, J. McCann, and D. M. Shepherd. 1991. Cognate interactions between helper T cells and B cells. V. Reconstitution of T helper cell function using purified plasma membranes from activated Th1 and Th2 helper cells and lymphokines. J. Immunol. 146:1118.

20

Noelle, R. J., M. Roy, D. M. Shepherd, I. Stamenkovic, J. A. Ledbetter, and A. Aruffo. 1992. A 39-kDa protein on activated helper T cells binds CD40 and transduces the signal for cognate activation of B cells. *Proc. Natl. Acad. Sci. U. S. A.* 89:6550.

30

Noelle, R. J. and E. C. Snow. 1990. Cognate interactions between helper T cells and B cells. *Immunol. Today* 11:361.

Noelle, R. J. and E. C. Snow. 1991. T helper cell-dependent B cell activation. FASEB J. 5:2770.

40

Noelle, R. J., J. McCann, L. Marshall, and W. C.

20

30

40

Bartlett. 1989. Cognate interactions between helper T-cells and B cells. III. Contact-dependent, lymphokine-independent induction of B cell cycle entry by activated helper T cells. J. Immunol. 143:1807.

Noelle, R. J., E. C. Snow, J. W. Uhr, and E. S. Vitetta. 1983. Activation of antigen-specific B cells: role of T cells, cytokines, and antigen in induction of growth and differentiation. *Proc. Natl. Acad. Sci. U.S.A.* 80:6628.

Nophar, Y., O. Kemper, C. Brakebusch, H. Englemann, R. Zwang, D. Aderka, H. Holtmann, and D. Wallach. 1990. Soluble forms of tumor necrosis factor receptors (TNF-Rs). The cDNA for the type I TNF-R, cloned using amino acid sequence data of its soluble form, encodes both the cell surface and a soluble form of the receptor. EMBO J. 9:3269.

Nossal, G. J. 1992. The molecular and cellular basis of affinity maturation in the antibody response. Cell 68:1.

O'Brien, R.L., P. Marrack, U. Storb, and J. W. Kappler. 1988. B cells expressing Ig transgenes respond to a T-dependent antigen only in the presence of Ia-compatible T cells. J. Immunol. 141:3335.

Oehm, A., Behrmann, I., Falk, W., Paulita, M., Maier, G., Klas, C., Li-Weber, M., Richards, S., Dhein, J., Trauth, B.C., et al. 1992 Purification and molecular cloning of the APO-1 cell surface antigen, a meber of the Tumor Necrosis Factor / Never Growth Factor Receptor Superfamily. Sequence Identity with the Fas Antigen. J. Biol. Chem. 267(15):10709.

Otten, U., P. Ehrhard, and R. Peck. 1989. Nerve growth factor induces growth and differentiation of human B lymphocytes. Proc. Natl. Acad. Sci. U. S. A. 86:10059.

Owens, T. 1988. A noncognate interaction with antireceptor antibody-activated helper T cells induces small resting murine B cells to proliferate and to secrete antibody. Eur. J. Immunol. 18:395.

Paterson, D. J., W. A. Jefferies, J. R. Green, M. R. Brandon, P. Corthesy, M. Puklavec, and A. F. Williams. 1987. Antigens of activated rat T lymphocytes including a molecule of 50,000 Mr detected only on CD4 positive T blasts. *Mol. Immunol.* 24:1281.

Poo, W. J., L. Conrad, and C. A. Janeway. 1988. Receptor-directed focusing of lymphokine release by helper T cells. *Nature* 332:378.

Pollok, K. E., V. O'Brien, L. Marshall, J. W. Olson, R. J. Noelle, and E. C. Snow. 1991. The development of competence in resting B cells. The induction of cyclic AMP and ornithine decarboxylase activity after direct contact between B and T helper cells. J. Immunol. 146:1633.

Principato, M. A., G. S. Thompson, and S. M. Friedman. 1983. A cloned major histocompatibility complex-restricted trinitrophenyl-reactive human helper T cell line that activates B cell subsets via two distinct pathways. J. Exp. Med. 158:1444.

Rabin, E. M., J. Ohara, and W. E. Paul. 1985. B-cell

10

20

30

stimulatory factor 1 activates resting B cells. Proc. Natl. Acad. Sci. U. S. A. 82:2935.

Rahemtulla, A., W. P. Fung-Leung, M. W. Schilham, T. M. Kundig, S. R. Sambhara, A. Narendran, A. Arabian, A. Wakeham, C. J. Paige, R. M. Zinkernagel, R. G. Miller, and T. W. Mak. 1991. Normal development and function of CD8⁺ cells but markedly decreased helper cell activity in mice lacking CD4. Nature 353:180.

Reinherz, E.L., P. C. Kung, G. Goldstein, and S. F. Schlossman. 1979. Separation of functional subsets of human T cells by a monoclonal antibody. *Proc. Natl. Acad. Sci. U. S. A.* 76:4061.

Reinherz, E. L., P. C. Kung, J. M. Breard, G. Goldstein, and S. F. Schlossman. 1980. T cell requirements for generation of helper factor(s) in man: analysis of the subsets involved. J. Immunol. 124:1883.

Reinherz, E. L., P. C. Kung, J. M. Pesando, J. Ritz, G. Goldstein, and S. F. Schlossman. 1979. Ia determinants on human T-cell subsets defined by monoclonal antibody. Activation stimuli required for expression. J. Exp. Med. 150:1472.

Riedel, C., T. Owens, and G. J. Nossal. 1988. A significant proportion of normal resting B cells are induced to secrete immunoglobulin through contact with anti-receptor antibody-activated helper T cells in clonal cultures. Eur. J. Immunol. 18:403.

Risso, A., D. Smilovich, M. C. Capra, I. Baldissarro, G.,

10

20

30

20

30

40

Yan, A. Bargellesi, and M. E. Cosulich. 1991. CD69 in resting and activated T lymphocytes. Its association with a GTP binding protein and biochemical requirements for its expression. J. Immunol. 146:4105.

Rogozinski, L., A. Bass, E. Glickman, M. A. Talle, G. Goldstein, J. Wang, L. Chess, and Y. Thomas. 1984. The T4 surface antigen is involved in the induction of helper function. J. Immunol. 126:735.

Rothe, J. G., M. Brockhaus, R. Gentz, and W. Lesslauer. 1991. Molecular cloning and expression of the mouse Tnf receptor type b. *Immunogenetics* 34:338.

Rothlein, R., M. L. Dustin, S. D. Marlin, and T. A. Springer. 1986. A human intercellular adhesion molecule (ICAM-1) distinct from LFA-1. J. Immunol. 137:1270.

Sanchez Madrid, F., A. M. Krensky, C. F. Ware, E. Robbins, J. L. Strominger, S. J. Burakoff, and T. A. Springer. 1982. Three distinct antigens associated with human T-lymphocyte-mediated cytolysis: LFA-1, LFA-2, and LFA-3. Proc. Natl. Acad. Sci. U.S.A. 79:7489.

Sanders, V. M., J. M. Snyder, J. W. Uhr, and E. S. Vitetta. 1986. Characterization of the physical interaction between antigen-specific B and T cells. J. Immunol. 137:2395.

Sanders, V. M. and E. S Vitetta. 1991. B cell-associated LFA-1 and T cell-associated ICAM-1 transiently cluster in the area of contact between interacting cells. Cell Immunol. 132:45.

Sehgal, A., M. Bothwell, and M. Chao. 1989. Gene transfer of truncated NGF receptor clones leads to cell surface expression in mouse fibroblasts. *Nucleic. Acids. Res.* 17:5623.

Sekita, K., C. Straub, D. Hoessli, and R. H. Zubler. 1988. B cell-stimulating activity of lymphoid cell membrane fractions. Eur. J. Immunol. 18:1405.

Sen, J., P. Bossu, S. J. Burakoff, and A. K. Abbas. 1992. T cell surface molecules regulating noncognate B lymphocyte activation. Role of CD2 and LFA-1. J. Immunol. 148:1037.

Shields, J. G., R. J. Armitage, B. N. Jamieson, P. C. Beverley, and R. E. Callard. 1989. Increased expression of surface IgM but not IgD or IgG on human B cells in response to IL-4. *Immunology* 66:224.

Siegel, J. P. and H. S. Mostowski. 1990. A bioassay for the measurement of human interleukin-4. J. Immunol. Methods 132:287.

Smith, S. H. M. H. Brown, D. Rowe, R E. Callard, and P. C. Beverley. 1986. Functional subsets of human helper-inducer cells defined by a new monoclonal antibody, UCHL1. Immunology 58:63.

Smith, R. A. and C. Baglioni. 1987. The active form of tumor necrosis factor is a trimer. J. Biol. Chem. 262:6951.

Smith, C. A., T. Davis, D. Anderson, L. Solam, M. P.

10

20

30

20

30

40

Beckmann, R. Jerzy, S. K. Dower, D. Cosman, and R. G. Goodwin. 1990. A receptor for tumor necrosis factor defines an unusual family of cellular and viral proteins. Science 248:1019.

Snow, E. C., R. J. Noelle, J. W. Uhr, and E. S. Vitetta. 1983. Activation of antigen-enriched B cells. II. Role of linked recognition in B cell proliferation to thymus-dependent antigens. J. Immunol. 130:614.

Spiegel, H., H. Herbst, G. Niedobitek, H. D. Foss, and H. Stein. 1992. Follicular dendritic cells are a major reservoir for human immunodeficiency virus type 1 in lymphoid tissues facilitating infection of CD4+ T-helper cells. Am. J. Pathol. 140:15.

Sprent, J. 1978a. Restricted helper function of F1 hybrid T cells positively selected to heterologous erythrocytes in irradiated parental strain mice. II. Evidence for restrictions affecting helper cell induction and T-B collaboration, both mapping to the K-end of the H-2 complex. J. Exp. Med. 147:1159.

Sprent, J. 1978b. Role of H-2 gene products in the function of T helper cells from normal and chimeric mice in vivo. *Immunol. Rev.* 42:108.

Stamenkovic, I., D. Sgroi, A. Aruffo, M. S. Sy, and T. Anderson. 1991. The B lymphocyte adhesion molecule CD22 interacts with leukocyte common antigen CD45RO on T cells and alpha2-6 sialyltransferase, CD75, on B cells. Cell 66:1133.

20

30

40

Stamenkovic, I., E. A. Clark, and B. Seed. 1989. A Blymphocyte activation molecule related to the nerve growth factor receptor and induced by cytokines in carcinomas. *EMBO J.* 8:1403.

Tesch, H., F. I. Smith, W. J. Muller Hermes, and K. Rajewsky. 1984. Heterogeneous and monoclonal helper T cells induce similar anti-(4-hydroxy-3-nitrophenyl)acetyl (NP) antibody populations in the primary adoptive response. I. Isotype distribution. Eur. J. Immunol. 14:188.

Thomas, Y., J. Sosman, L. Rogozinski, O. Irigoyen, P. C. Kung, G. Goldstein, and L. Chess. 1981. Functional analysis of human T cell subsets defined by monoclonal antibodies. III. Regulation of helper factor production by T cell subsets. J. Immunol. 126:1948.

Thomas, T., L. Rogozinski, O. H. Irigoyen, S. M. Friedman, P. C. Kung, G. Goldstein, and L. Chess. 1981. Functional analysis of human T cell subsets defined by monoclonal antibodies. IV. Induction of suppressor cells within the OKT4+ population. J. Exp. Med. 154:459.

Thomas, Y., J. Sosman, O. Irigoyen, S. M. Friedman, P. C. Kung, G. Goldstein, and L. Chess. 1980. Functional analysis of human T cell subsets defined by monoclonal antibodies. I. Collaborative T-T interactions in the immunoregulation of B cell differentiation. J. Immunol. 125:2402.

Thomas, Y., L. Rogozinski, O. H. Irigoyen, H. H. Shen, M. A. Talle, G. Goldstein, and L. Chess. 1982. Functional

analysis of human T cell subsets defined by monoclonal antibodies. V. Suppressor cells within the activated OKT4+ population belong to a distinct subset. J. Immunol. 128:1386.

10

Thompson, C. B., M. E. Schaefer, F. D. Finkelman, I. Scher, J. Farrar, and J. J. Mond. 1985. T cell-derived B cell growth factor(s) can induce stimulation of both resting and activated B cells. J. Immunol. 134:369.

Tohma, S., S. Hirohata, and P. E. Lipsky. 1991. The role of CD11a/CD18-CD54 interactions in human T cell-dependent B cell activation. J. Immunol. 146:492.

20

Tohma, S. and P. E. Lipsky. 1991. Analysis of the mechanism of T cell-dependent polyclonal activation of human B cells. Induction of human B cell responses by fixed activated T cells. J. Immunol. 146:2544.

Torimoto, Y., K. Sugita, D. S. Weinberg, N. H. Dang, C. Donahue, N. L. Letvin, S. F. Schlossman, and C. Morimoto. 1991. Development of a monoclonal antibody, anti-6C2, which is involved in the interaction of CD4 T helper cells and activated B cells. J. Immunol. 146:2176.

30

Umiel, T., L. M. Nadler, I. J. Cohen, H. Levine, B. Stark, Z. Mammon, M. Dzaldetti, G. Rechavi, F. Simoni, and N. Katzir. 1987. Undifferentiated leukemia of infancy with t(11:17) chromosomal rearrangement. Coexpressing myeloid and B cell restricted antigens. Cancer 59:1143.

40

Upton, C., J. L. Macen, M. Schreiber, and G. McFadden. 1991. Myxoma virus expresses a secreted protein with homology to the tumor necrosis factor receptor gene family that contributes to viral virulence. *Virology* 184:370.

Van de Velde, H., I. Von Hoegen, W. Luo, J. R. Parnes, and K. Theilemans. 1991. The B-cell surface protein CD72/Lyb-2 is the ligand for CD5. Nature 351:662.

Vitetta, E. S., R. Fernandez Botran, C. D. Myers, and V. M. Sanders. 1989. Cellular interactions in the humoral immune response. Adv. Immunol. 45:1.

Wasik, M. A., R. P. Donnelly, and D. I. Beller. 1988. Lymphokine-independent induction of macrophage membrane IL-1 by autoreactive T cells recognizing either class I or class II MHC determinants. J. Immunol. 141:3456.

Watanabe F., R., C. I. Brannan, N. G. Copeland, N. A. Jenkins, and S. Nagata. 1992. Lymphoproliferation disorder in mice explained by defects in Fas antigen that mediates apoptosis. *Nature 356*:314.

Weaver, C. T., L. M. Duncan, and E. R. Unanue. 1989. T cell induction of macrophage IL-1 during antigen presentation. Characterization of a lymphokine mediator and comparison of TH1 and TH2 subsets. J. Immunol. 142:3469.

Weigert, M. G., I. M. Cesari, S. J. Yonkovich, and M. Cohn. 1970. Variability in the lambda light chain sequences of mouse antibody. *Nature* 228:1045.

Whalen, B. J., H. P. Tony, and D. C. Parker. 1988.

10

20

30

20

30

40

Characterization of the effector mechanism of help for antigen-presenting and bystander resting B cell growth mediated by Ia-restricted Th2 helper T cell lines. J. Immunol. 141:2230.

White, R. A., Mason, D. W. Mason, A. F. Williams, G. Galfre, and C. Milstein. 1978. T-lymphocyte heterogeneity in the rat: separation of functional subpopulations using a monoclonal antibody. J. Exp. Med. 148:664.

Yellin, M. J., J. J. Lee, L. Chess, and S. Lederman. 1991. A human CD4 leukemic subclone with contact dependent helper function. J. Immunol. 147:3389.

Yamada, H., P. J. Martin, M. A. Bean, M. P. Braun, P. G. Beatty, K. Sadamoto, and J. A. Hansen. 1985. Monoclonal antibody 9.3 and anti-CD11 antibodies define reciprocal subsets of lymphocytes. Eur. J. Immunol. 15:1164.

Yonehara, S., A. Ishii, and M. Yonehara. 1989. A cell-killing monoclonal antibody (anti-Fas) to a cell surface antigen co-downregulated with the receptor of tumor necrosis factor. J. Exp. Med. 169:1747.

Zimecki, M., Z. Wieczorek, J. A. Kapp, and C. W. Pierce. 1988. Secretion of interleukin 1 (IL-1) by peritoneal macrophages upon contact with syngeneic T cells is Iarestricted and antigen-independent process. Arch. Immunol. Ther. Exp. (Warsz). 36:661.

Zimecki, M., Z. Wieczorek, J. A. Kapp, and C. W. Pierce. 1989. Structures on T cells and macrophages involved in interleukin 1 (Il-1) secretion by macrophages upon contact with syngeneic thymocytes. Arch. Immunol. Ther. Exp. (Warsz). 37:587.

Zinkernagel, R. M. 1976. Thelpers may be sensitized by antigen-specifically altered structures, which are coded by the I region of the H-2 gene complex. Adv. Exp. Med. Biol. 66:527.

10

Zinkernagel, R. M., G. N. Callahan, A. Althage, S. Cooper, J. W. Streilein, and J. Klein. 1978. The lymphoreticular system in triggering virus plus self-specific cytotoxic T cells: evidence for T help. J. Exp. Med. 147:897.

【図面の簡単な説明】

20

30

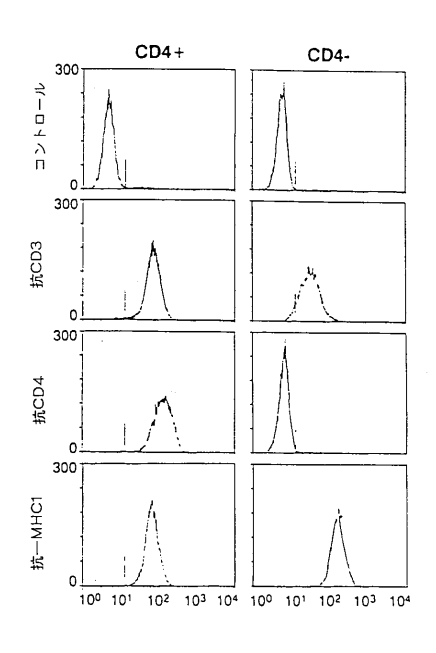
[0291]

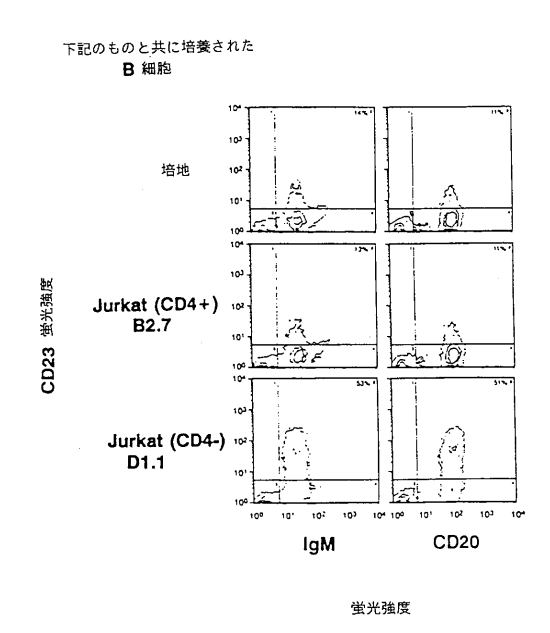
- 【図1】CD4 Jurkat D1.1.の細胞表面の表現型を示す図。
- 【図2】B細胞単独で、あるいはCD4⁻Jurkat(D1.1)、又はCD4⁺Jurkat(B2.7)と共に24時間培養した後の、粘性を失った高密度B細胞の2色FACS分析の結果を示す図。
- 【図3】D1.1に誘導されたCD23発現の投与応答を示す図。
- 【図4】PHA存在下でJurkat D 1.1がB細胞の増殖を誘導することを示す図。
- 【 図 5-1】Jurkat D 1.1の、Ig分泌細胞へのB細胞分化の誘導を示す図。
- 【図5-2】JurkatD1.1の、Ig分泌細胞へのB細胞分化の誘導を示す図。
- 【 図 6 】 D 1 . 1 ではなく r I L -4の B 細胞のsigM発現の増加を示す図。
- 【図7】mAb 5c8のJurkatD1.1細胞への結合を示す図。
- 【図8】m A b 5 c 8 が、 B リンパ球による C D 23の発現を誘導するJurkat D 1 . 1 を阻害することを示す24時間培養後の粘性を失った高密度 B 細胞の 2 色 F A C S 分析を示す図
- 【 図 9 】 m A b 5 c 8 とコントロール m A b により免疫沈降した表面蛋白のSDS/PAGE分析を示す図。
- 【図10】T細胞の活性化と活性化されたT細胞の抗原 5c8 の発現における代謝的阻害因子の影響を示す図。
- 【図11】単離されたCD4 $^{+}$ 、CD8 $^{+}$ T細胞サブセット上での 5c8 の発現のカイネティクスを示す図。
- 【 図 1 2 】 D 1 . 1 が、 B 細胞又は R A M O S 266 上での表面 C D 23発現を誘導すること を示す図。
- 【図13】扁桃のB細胞に対するD1.1の影響を示す図。
- 【 図 1 4 A 】 D 1 . 1 B 細 胞 活 性 化 に お け る T B A M と C D 40の 役割 を 示 す 図 。
- 【図14B】D1.1-B細胞活性化におけるT-BAMとCD40の役割を示す図。
- 【図15】末梢性B細胞のD1.1活性化に対する抗CD40mAbの影響を示す図。
- 【 図 1 6 A 】 B 細胞 C D 23発現に対する抗 C D 40の C D 32[→] L 細胞へ及ぼす影響を示す図
- 【 図 1 6 B 】 B 細胞 C D 23発現に対する抗 C D 40の C D 32⁺ L 細胞へ及ぼす影響を示す図

- 【図17-1】ヒト正常リンパ球組織でのT-BAM発現を示す図。
- 【図17-2】ヒト正常リンパ球組織でのT-BAM発現を示す図。
- 【 図 1 7 3 】ヒト正常リンパ球組織でのT-BAM発現を示す図。
- 【図18】T-B分子の相互作用モデルを示す図。
- 【 図 1 9 A 1 】慢性関節リューマチの滑膜パンヌスにおける C D 4 [↑] T リンパ球上での T - B A M の発現を示す図。
- 【 図 1 9 A 2 】慢性関節リューマチの滑膜パンヌスにおける C D 4 [†] T リンパ球上での T B A M の発現を示す図。
- 【 図 1 9 B 1 】慢性関節リューマチの滑膜パンヌスにおける C D 4 [↑] T リンパ球上での T B A M の発現を示す図。
- 【 図 1 9 B 2 】慢性関節リューマチの滑膜パンヌスにおける C D 4 ⁺ T リンパ球上での T B A M の発現を示す図。
- 【 図 1 9 C 1 】慢性関節リューマチの滑膜パンヌスにおける C D 4 $^{+}$ T リンパ球上での T B A M の発現を示す図。
- 【 図 1 9 C 2 】慢性関節リューマチの滑膜パンヌスにおける C D 4 ⁺ T リンパ球上での T B A M の発現を示す図。
- 【 図 1 9 D 1 】慢性関節リューマチの滑膜パンヌスにおける C D 4 ⁺ T リンパ球上での T B A M の発現を示す図。
- 【 図 1 9 D 2 】慢性関節リューマチの滑膜パンヌスにおける C D 4 ⁺ T リンパ球上での T - B A M の発現を示す図。
- 【 図 2 0 A 1 】 浸 潤 性 乾 癬 損 傷 の T リン パ 球 で の T B A M の 発 現 を 示 す 図 。
- 【図20A-2】浸潤性乾癬損傷のTリンパ球でのT-BAMの発現を示す図。
- 【図20B-1】浸潤性乾癬損傷のTリンパ球でのT-BAMの発現を示す図。
- 【図20B-2】浸潤性乾癬損傷のTリンパ球でのT-BAMの発現を示す図。
- 【 図 2 1 A 1 】非ホジキンリンパ腫細胞でのT-BAMの発現を示す図。
- 【図21A-2】非ホジキンリンパ腫細胞でのT-BAMの発現を示す図。
- 【図21B-1】非ホジキンリンパ腫細胞でのT-BAMの発現を示す図。
- 【図21B-2】非ホジキンリンパ腫細胞でのT-BAMの発現を示す図。

【図1】

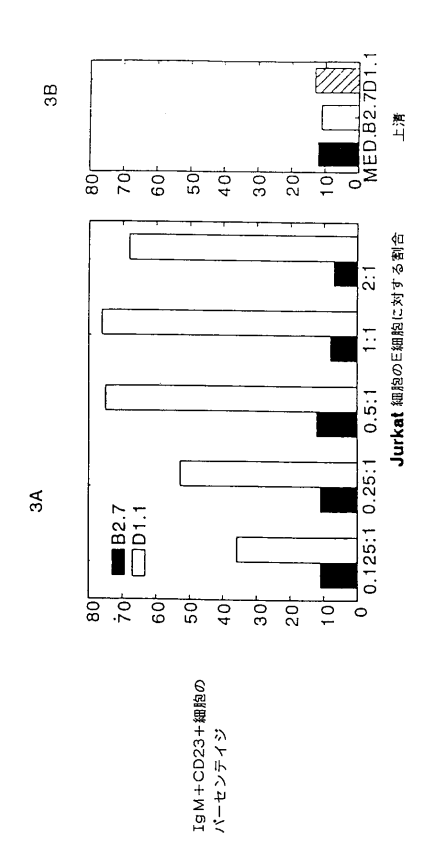
【図2】

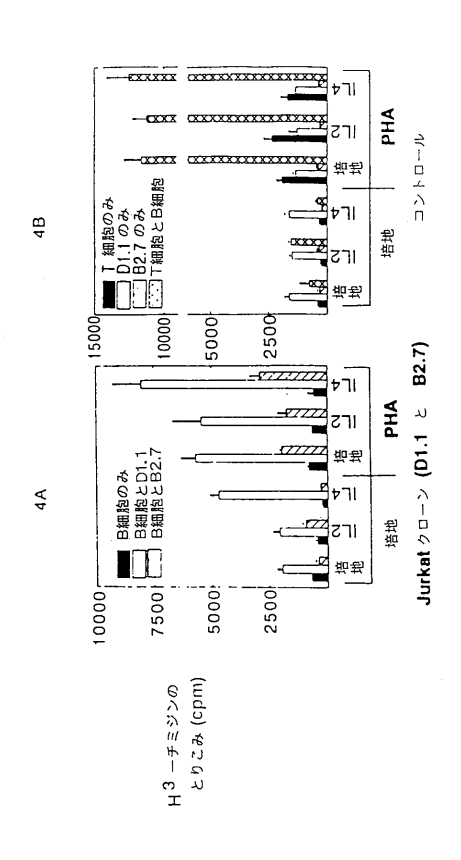




· 【図3】

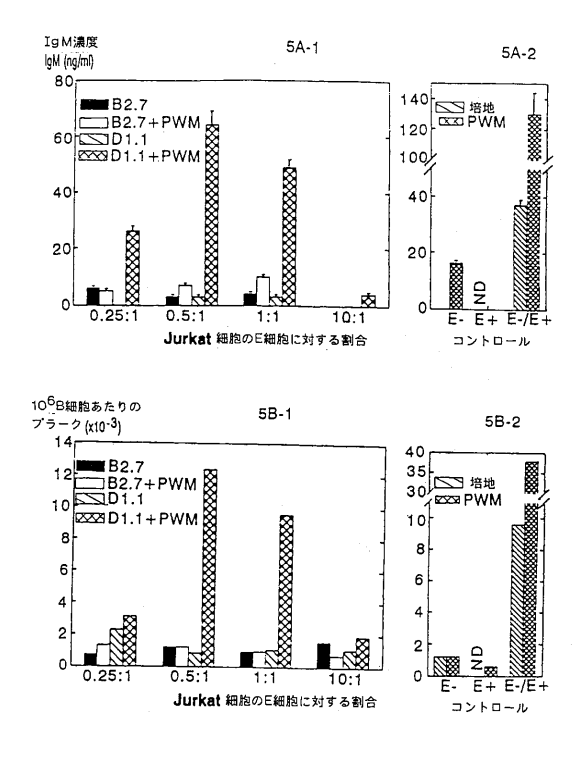
【図4】

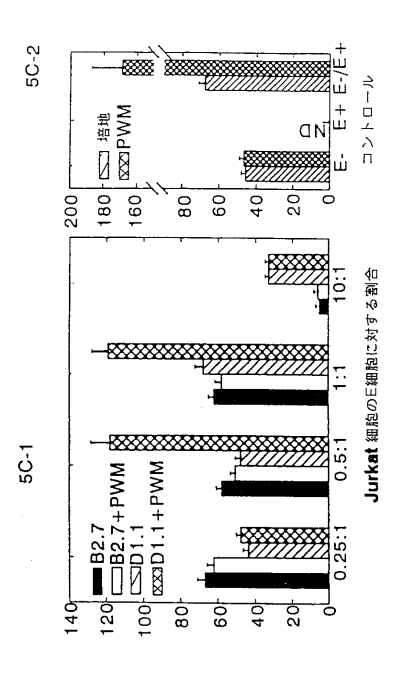




【図5-1】

【図5-2】

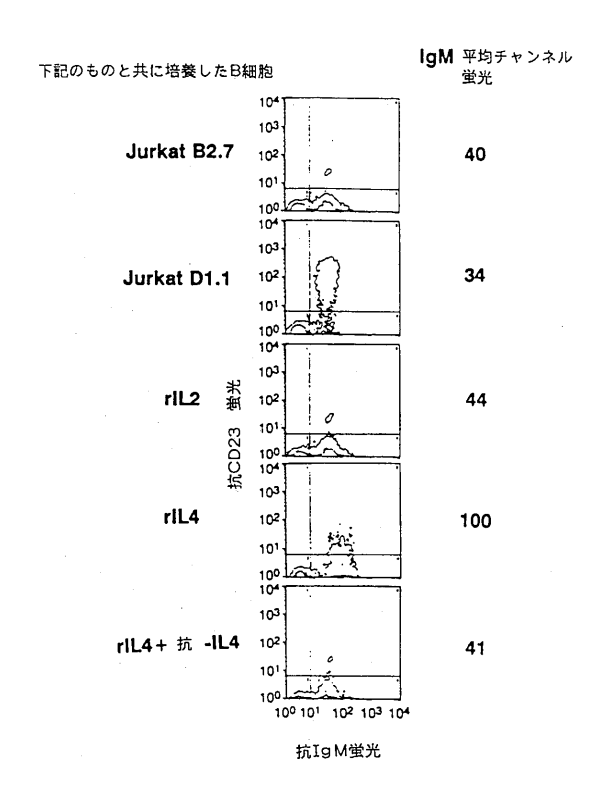


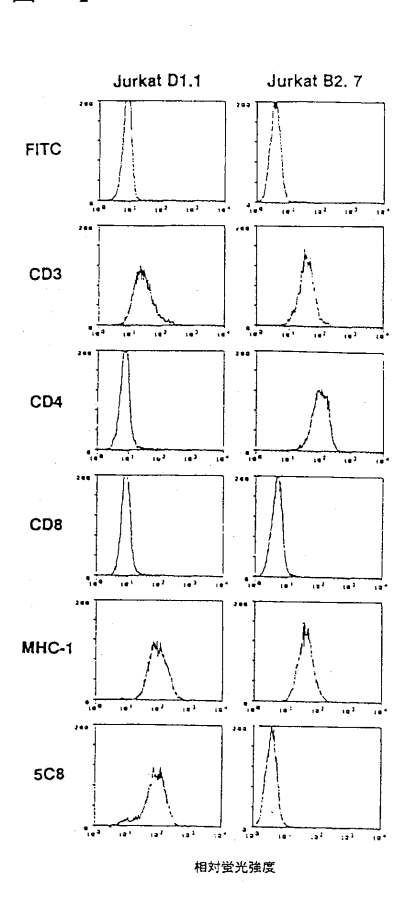


IgM濃度 (ng/ml)

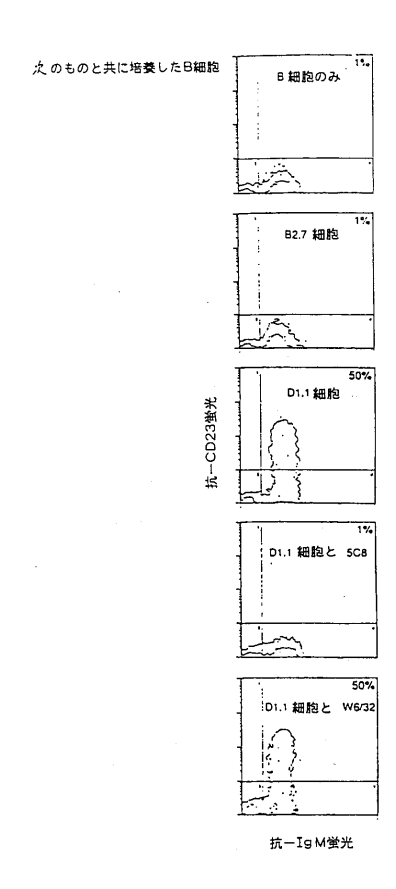
【図6】

【図7】

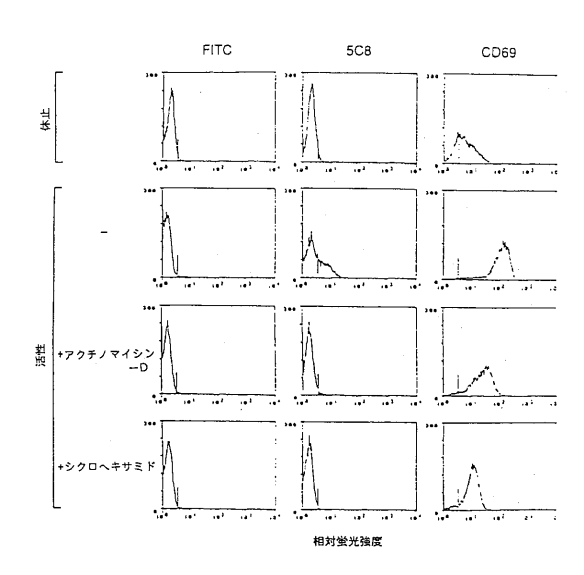




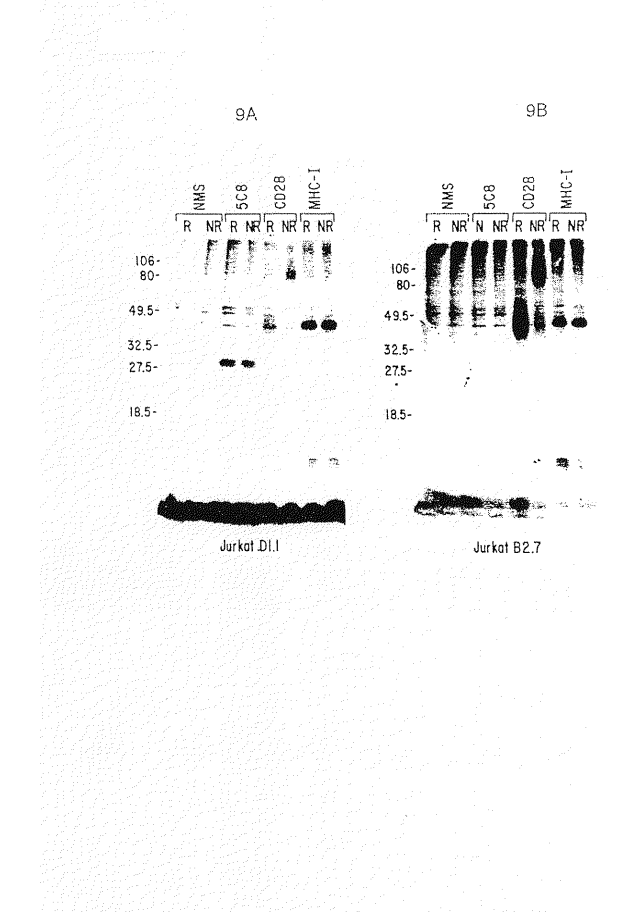
【図8】



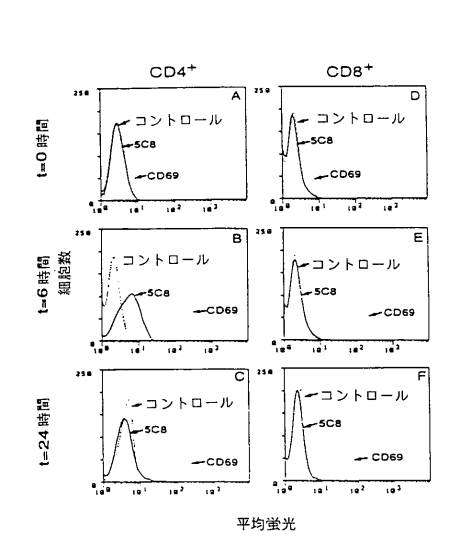
【図10】



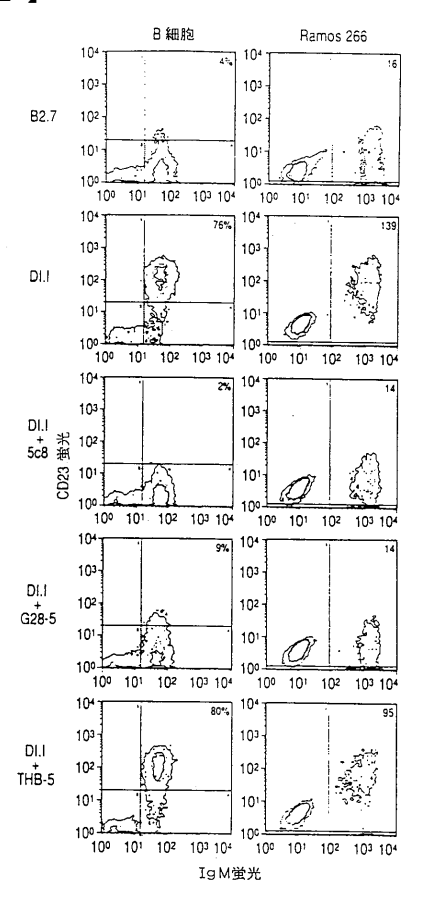
【図9】



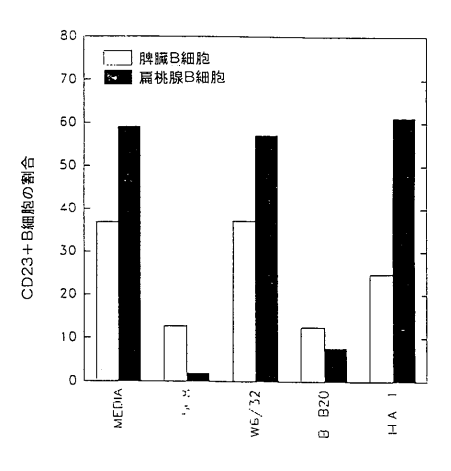
【図11】



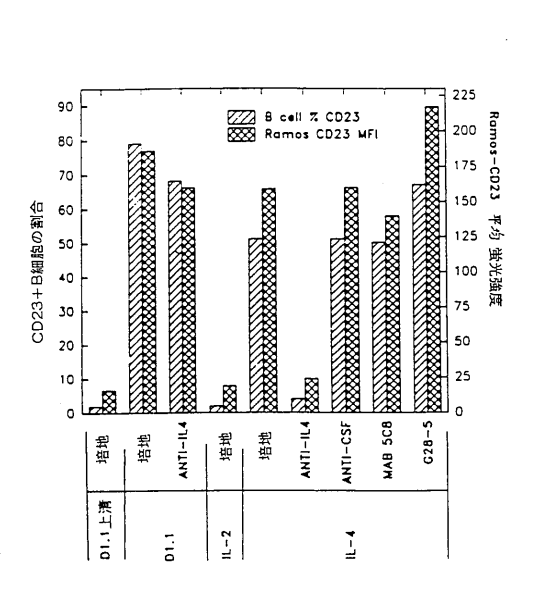
【図12】



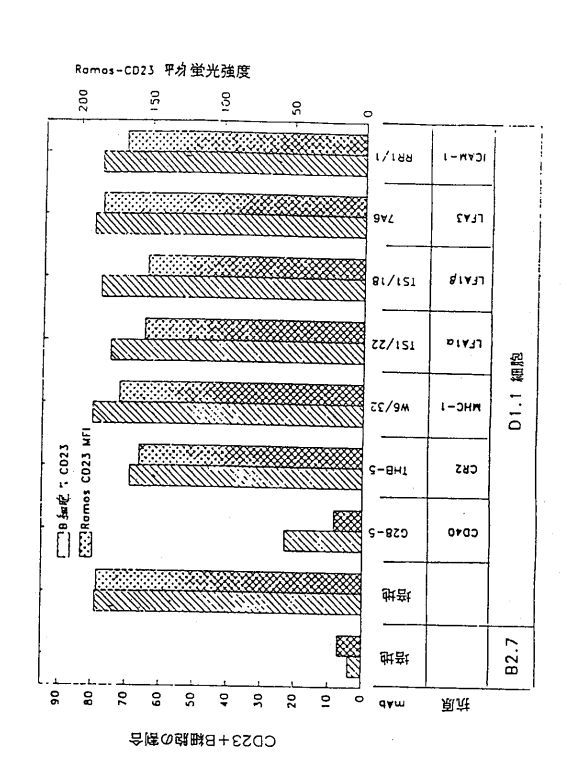
【図13】



【図14A】

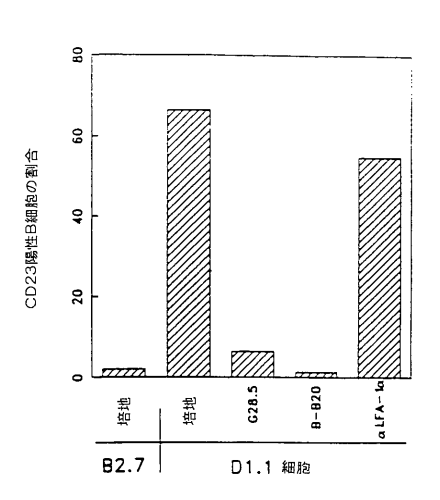


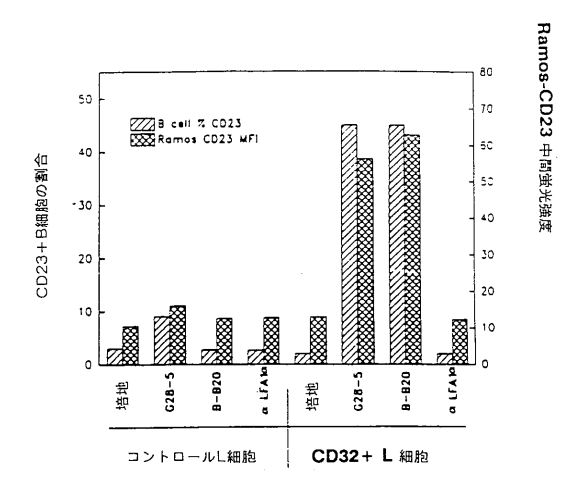
【図14B】



【図15】

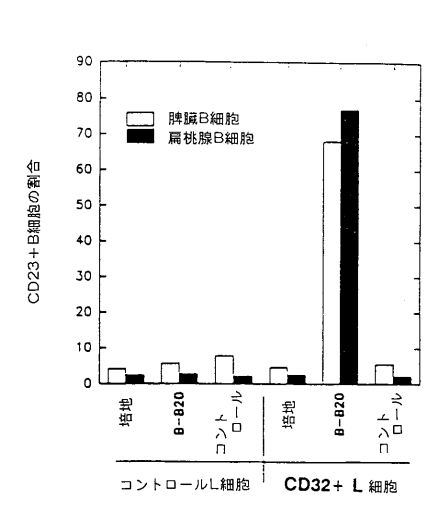
【図16A】

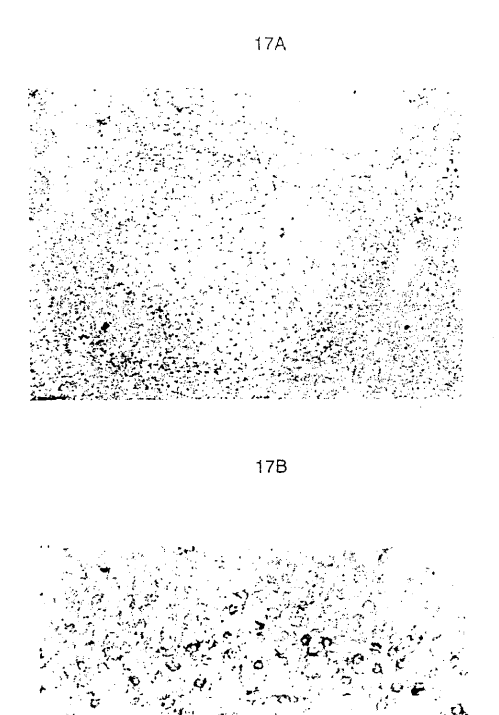




【図16B】

【図17-1】





【図17-2】

【図17-3】

17C





17D

17E

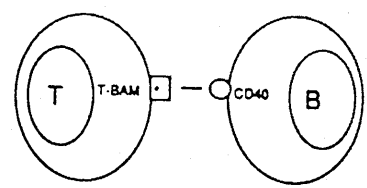


【図18】

分子的一B相互作用のモデル

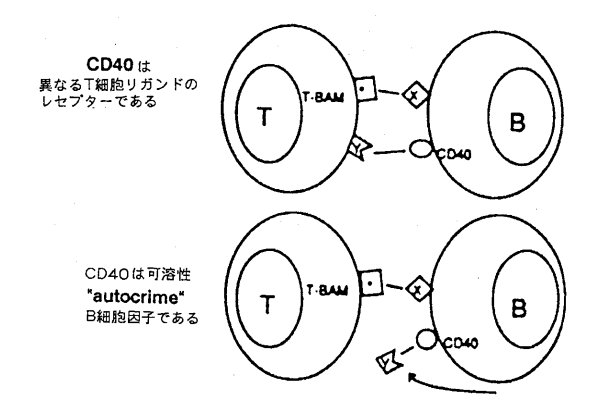
モデル **#1**

T-BAM-CD40: レセプターとリガンドの関係



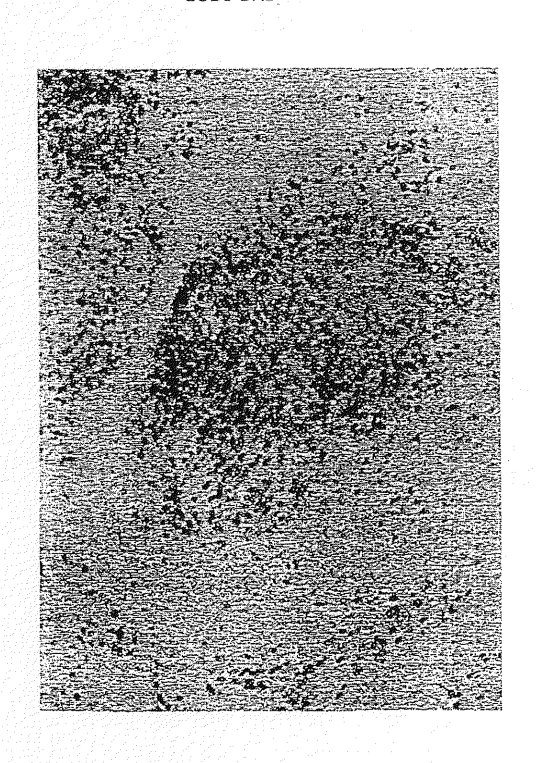
モデル #2

T-BAMおよびCD40の異なるリガンドとの 相互作用は、両方ともB細胞活性化に必要である



【図19A-1】

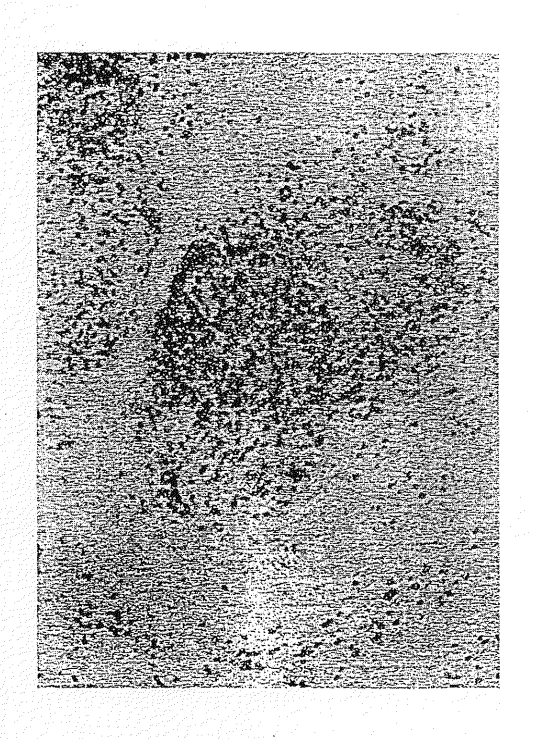
リューマチ様 関節炎 αCD3 DAB 低パワー

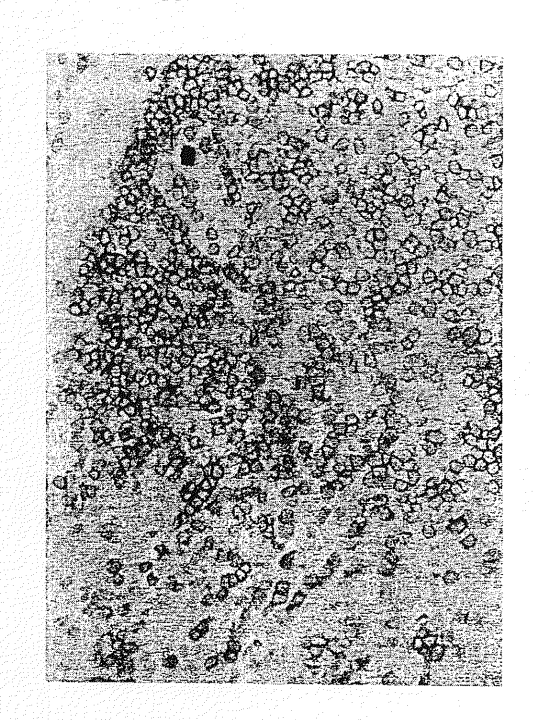


【図19A-2】



リューマチ様 関節炎 αCD3 DAB 高パワー

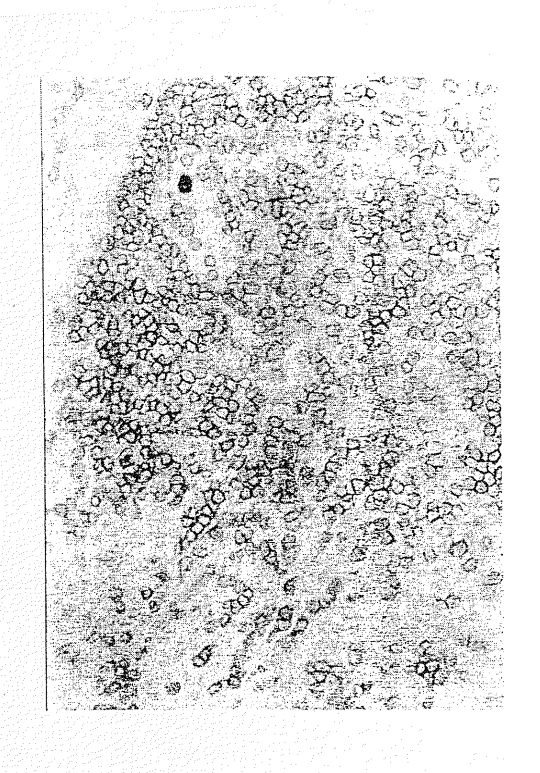


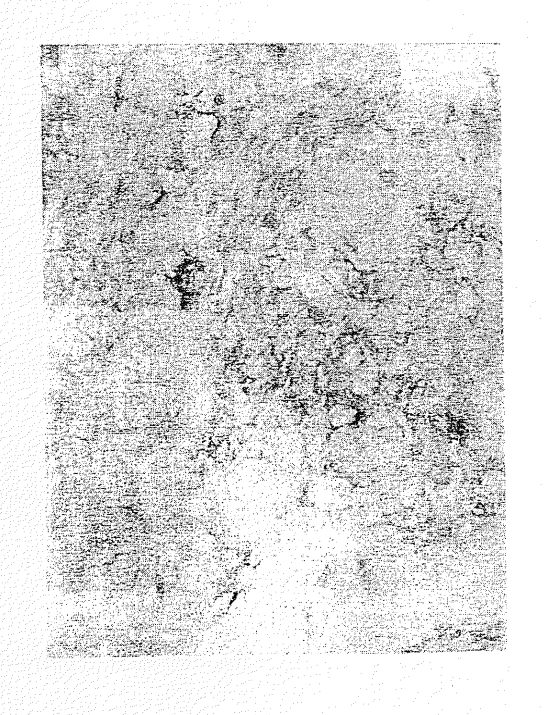


【図19B-2】

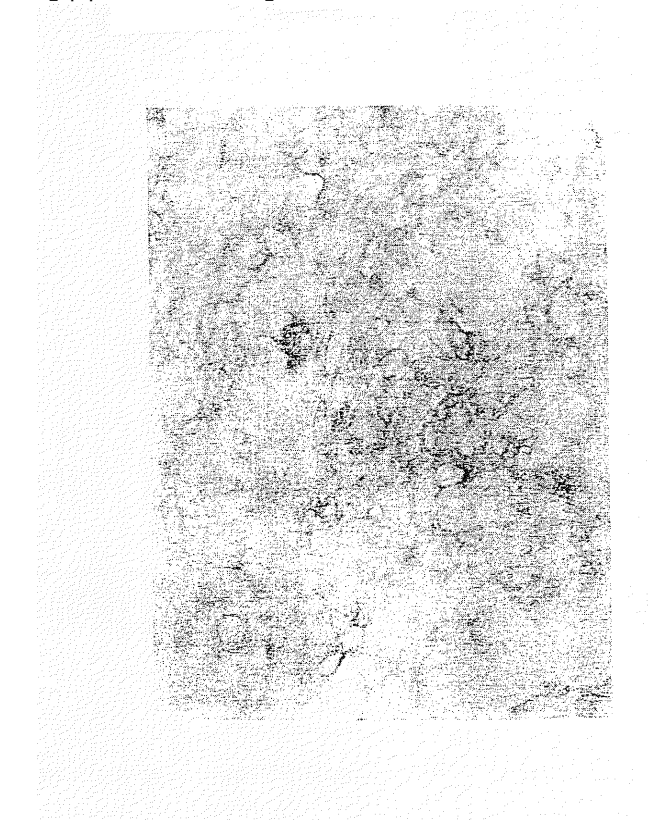
【図19C-1】

リューマチ様 関節炎 抗 -CD4 (青) 抗-TBAM(茶)

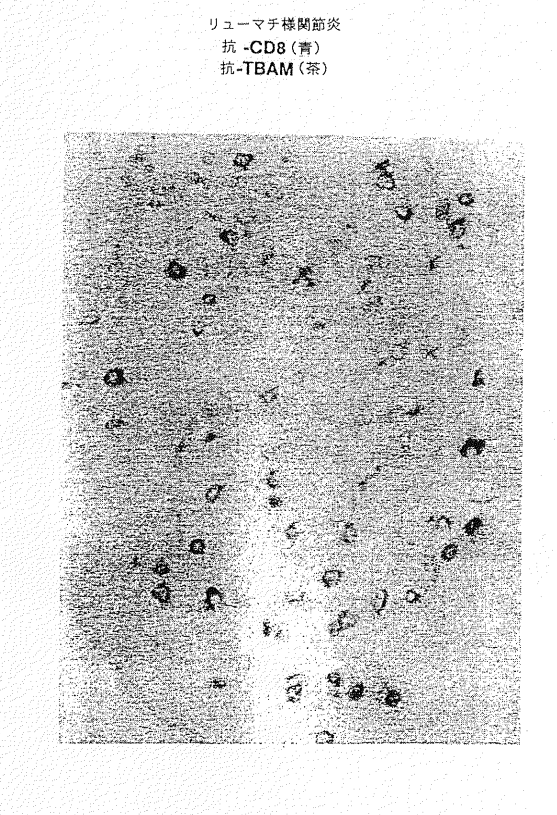




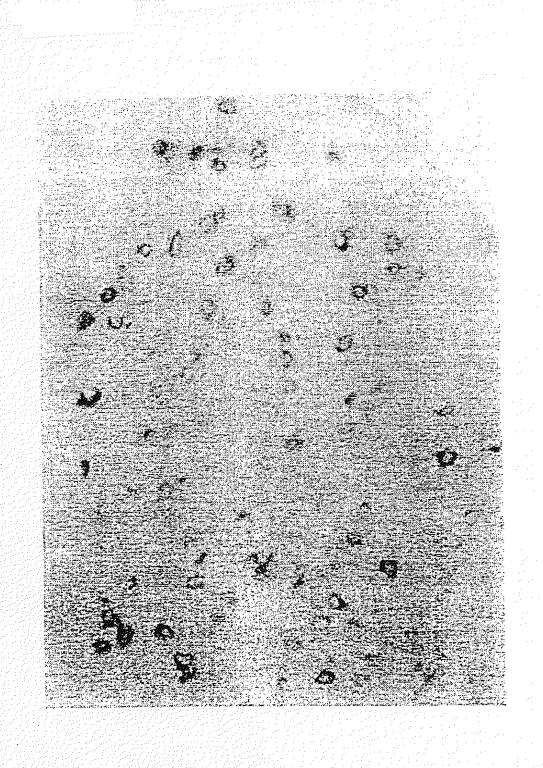
【図19C-2】



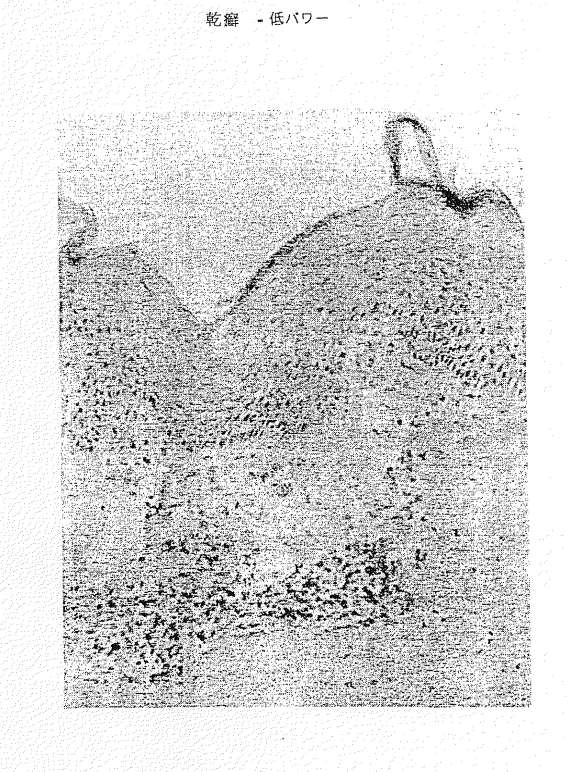
【図19D-1】



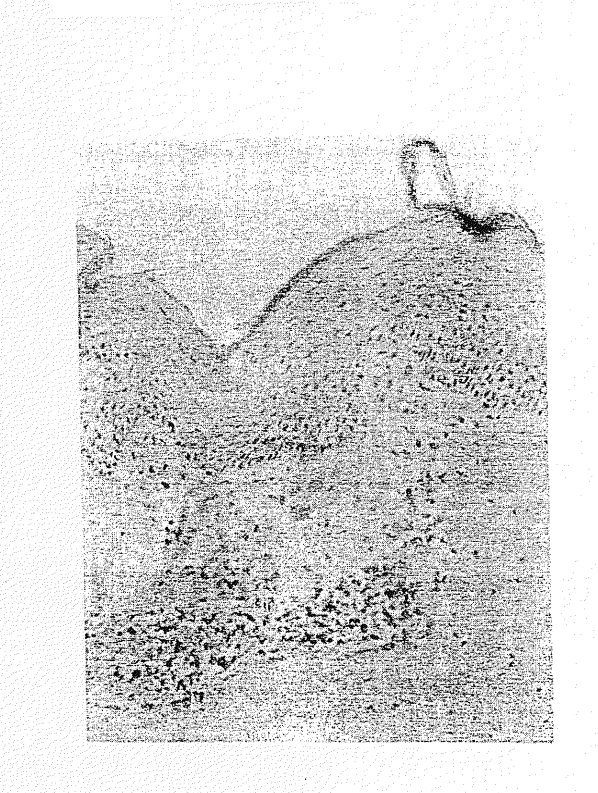
【図19D-2】



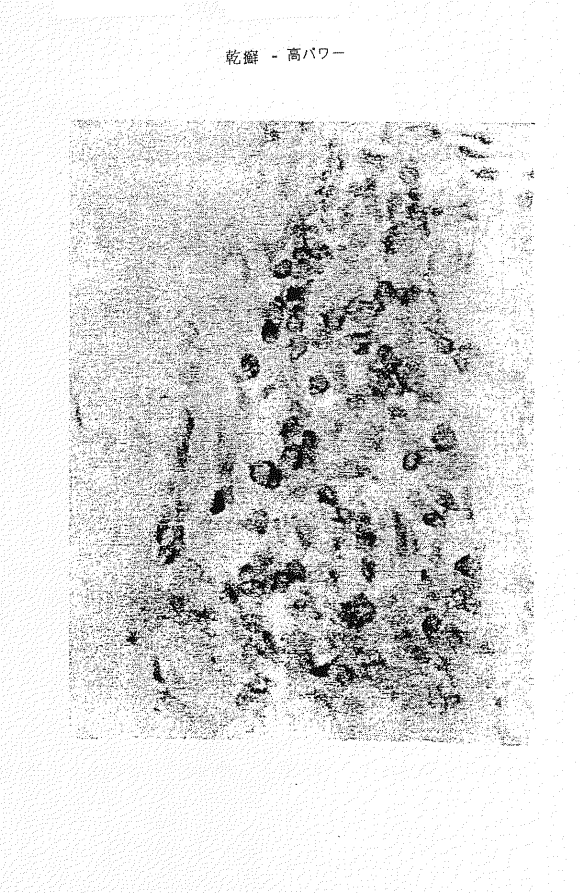
【図20A-1】



【図20A-2】



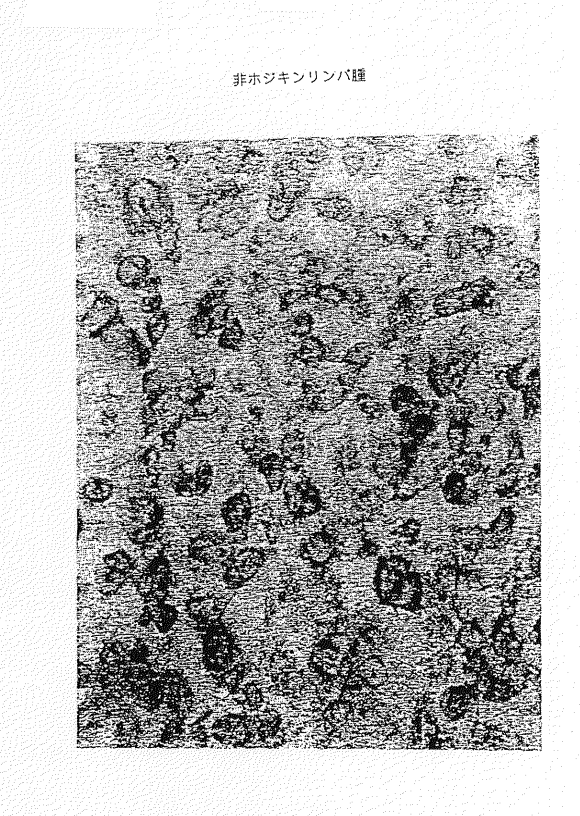
【図20B-1】



【図20B-2】

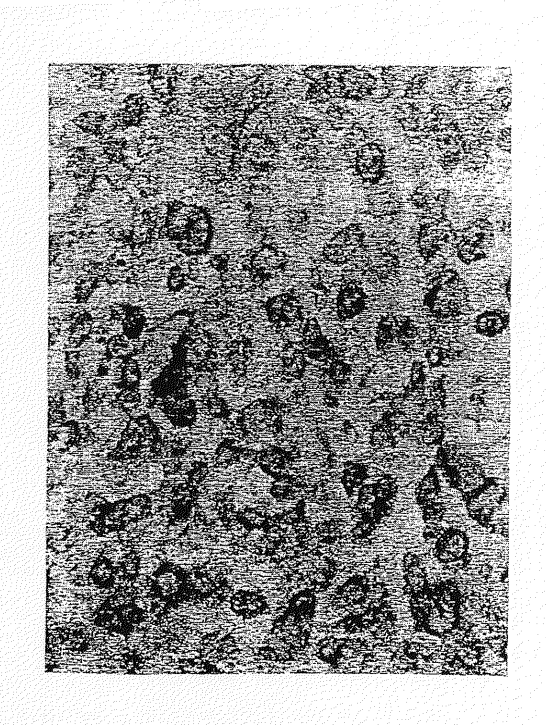


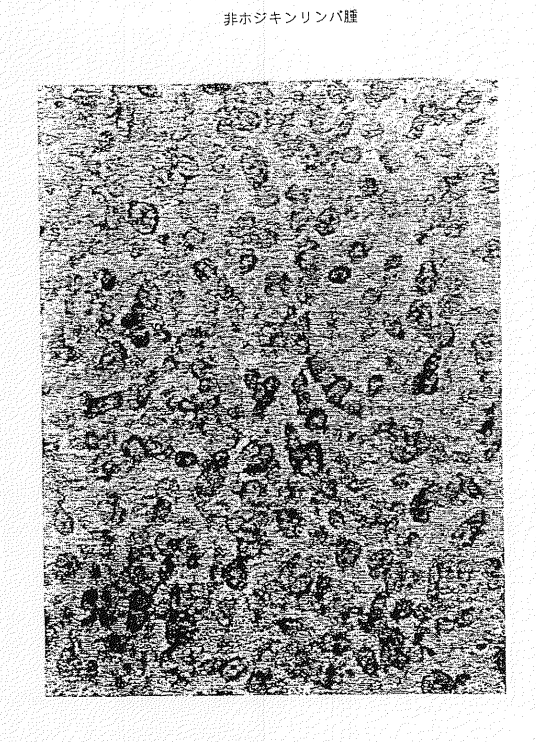
【図21A-1】



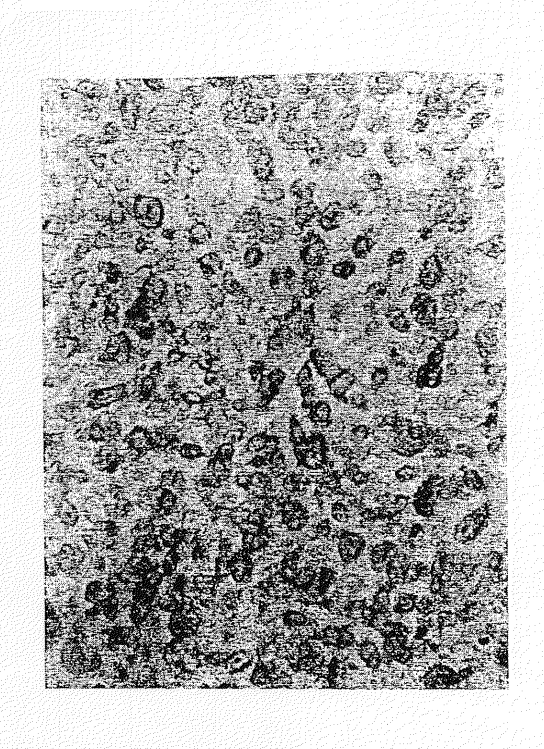
【図21A-2】







【図21B-2】



【配列表】 2007332150000001.app

フロントページの続き

(74)代理人 100091351

弁理士 河野 哲

(74)代理人 100088683

弁理士 中村 誠

(74)代理人 100109830

弁理士 福原 淑弘

(74)代理人 100095441

弁理士 白根 俊郎

(74)代理人 100084618

弁理士 村松 貞男

(74)代理人 100092196

弁理士 橋本 良郎

(74)代理人 100100952

弁理士 風間 鉄也

(72)発明者 セス・レダーマン

アメリカ合衆国、ニューヨーク州 10027、ニューヨーク、アパートメント 44、ウエスト・ワンハンドレッドトウエンティファースト・ストリート 523

(72)発明者 レオナード・チェス

アメリカ合衆国、ニューヨーク州 10538、スカースデール、グリーン・アクレス・アベニュ

(72)発明者 マイケル・ジェイ・イエリン

アメリカ合衆国、ニューヨーク州 10463、リバーデール、インデペンデンス・アベニュー2736

F ターム(参考) 4B024 AA01 BA31 CA04 CA05 DA03 DA06 EA03 HA04

4C085 AA14 AA21 AA26 AA27 CC02



专利名称(译)	单克隆抗体5c8特异性结合的蛋白质	į				
公开(公告)号	<u>JP2007332150A</u>	公开(公告)日	2007-12-27			
申请号	JP2007191591	申请日	2007-07-24			
[标]申请(专利权)人(译)	纽约市哥伦比亚大学理事会					
申请(专利权)人(译)	受托人Koranbia-大学在纽约市					
[标]发明人	セスレダーマン レオナードチェス マイケルジェイイエリン					
发明人	セス·レダーマン レオナード·チェス マイケル·ジェイ·イエリン					
IPC分类号	/48 A61K48/00 A61K49/00 A61K5 /02 A61P21/04 A61P29/00 A61P3	1/10 A61P3/10 A61P5/14 A61F 1/14 A61P35/00 A61P35/02 A6 05 C07K14/725 C07K16/28 C12 5/12 C12N15/13 C12P21/02 C1	2N1/15 C12N1/19 C12N1/21 C12N5			
CPC分类号	A61P5/14 A61P7/00 A61P7/04 A6	1P7/06 A61P17/06 A61P19/02 A61P37/00 A61P37/02 A61P3	.61K51/1087 A61K2123/00 A61P3/10 A61P21/04 A61P29/00 A61P31/12 87/06 A61P37/08 A61P43/00 C07K14 C12N5/0694 Y02A50/401 Y10S514			
FI分类号	A61K39/395.ZNA.N A61P37/06 C12N15/00.A A61K39/395.NZN.A					
F-TERM分类号	4B024/AA01 4B024/BA31 4B024/CA04 4B024/CA05 4B024/DA03 4B024/DA06 4B024/EA03 4B024 /HA04 4C085/AA14 4C085/AA21 4C085/AA26 4C085/AA27 4C085/CC02					
代理人(译)	河野 哲中村诚					
优先权	07/792728 1991-11-15 US					
外部链接	Espacenet					

摘要(译)

要解决的问题:提供一种由具有ATCC登录号HB10916的杂交瘤产生的单克隆抗体。 能够与由ATCC登录号HB10916的杂交瘤细胞产生的单克隆抗体5c8特异性识别的蛋白质结合的单克隆抗体。 一种分离的蛋白质,可被ATCC登录号HB10916杂交瘤产生的单克隆抗体5c8特异性识别。 分离的核酸分子,其编码由具有ATCC登录号HB10916的杂交瘤产生的单克隆抗体5c8特异性识别的蛋白质。 本发明还是人CD4-T细胞白血病细胞,其ATCC登录号为CRL10915,称为D1.1,其能够基本赋予B细胞接触依赖性辅助功能。 [选择图]无

